

Universidade de São Paulo
Instituto de Física de São Carlos
Departamento de Física e Informática

João Paulo Lemos Escola

Reconhecimento de assinaturas baseado em seus
ruídos caligráficos

São Carlos - SP
2013

João Paulo Lemos Escola

Reconhecimento de assinaturas baseado em seus ruídos caligráficos

Dissertação apresentada ao Programa de Pós-graduação em Física da Universidade de São Paulo para obtenção do título de Mestre em Ciências.

Área de concentração: Física Aplicada - Opção Computacional.

Orientador: Prof. Dr. Rodrigo Capobianco Guido

Versão Original

São Carlos - SP
2013

AUTORIZO A DIVULGAÇÃO TOTAL OU PARCIAL DESTE TRABALHO, POR QUALQUER MEIO CONVENCIONAL OU ELETRÔNICO, PARA FINS DE ESTUDO E PESQUISA, DESDE QUE CITADA A FONTE

Ficha catalográfica elaborada pelo Serviço de Biblioteca e Informação do IFSC,
com os dados fornecidos pelo(a) autor(a)

Escola, João Paulo Lemos

Reconhecimento de assinaturas baseado em seus
ruídos caligráficos. / João Paulo Lemos Escola;
orientador Rodrigo Capobianco Guido São Carlos,
2013.

108p.

Dissertação (Mestrado - Programa de Pós-Graduação em
Física Aplicada Computacional) Instituto de Física
de São Carlos, Universidade de São Paulo, 2013.

1. Processamento de sinais. 2. Biometria. 3.
Máquinas de vetores de suporte. 4. Inteligência
artificial. 5. Wavelets. I. Capobianco Guido,
Rodrigo, orient. II. Título.

FOLHA DE APROVAÇÃO

João Paulo Lemos Escola

Dissertação apresentada ao Instituto de Física de São Carlos da Universidade de São Paulo para obtenção do título de Mestre em Ciências. Área de Concentração: Física Aplicada - Opção: Física Computacional.

Aprovado(a) em: 04/02/2014

Comissão Julgadora

Prof(a). Dr(a). Rodrigo Capobianco Guido
Instituição: (UNESP/São José Rio Preto)

Prof(a). Dr(a). Ivan Nunes da Silva
Instituição: (EESC/USP)

Prof(a). Dr(a). Ellen Francine Barbosa
Instituição: (ICMC/USP)

Dedico a presente dissertação a todos que
acreditaram em mim e me apoiaram durante
essa longa caminhada.

Agradecimentos

A Deus, por me ter permitido existir e ter sido sempre presença contante em minha vida dando-me motivação, força e sabedoria em todos os momentos. E a Jesus pela amizade e presença certa em todas as horas.

Aos meus pais, José (*in memorian*) e Maria da Conceição, e à minha esposa Vanessa, por terem incentivado meus estudos e se esforçado para que eles continuassem.

Ao meu orientador Rodrigo, pelo apoio e presteza ao me atender sempre que precisei.

Aos meus amigos e companheiros de mestrado, Sylvio, Lucimar, Luciene, Fabrício, Paulo Fantinato, Leonardo, Márcio, Regiane, Ricardo, William e todos os demais.

“O sucesso é ir de fracasso em fracasso sem perder entusiasmo.”

Winston Churchill

Resumo

ESCOLA, J.P.L. *Reconhecimento de assinaturas baseado em seus ruídos caligráficos.* 2013. 108p. Dissertação (Mestrado em Ciências) - Instituto de Física de São Carlos, Universidade de São Paulo, São Carlos, 2013.

A biometria é o processo de reconhecimento dos seres vivos baseado em suas características fisiológicas ou comportamentais. Existem atualmente diversos métodos biométricos e a assinatura em papel é uma das técnicas de mensuração comportamental mais antigas. Por meio do processamento de sinais de áudio, é possível realizar o reconhecimento de padrões dos ruídos emitidos pela caneta ao assinar. Com o objetivo de aumentar o grau de sucesso ao validar a assinatura realizada por uma pessoa, este trabalho propõe uma técnica baseada em um algoritmo que combina Máquinas de Vetores de Suporte (SVMs), treinadas com o uso de um procedimento de aprendizado semi-supervisionado, alimentadas por um conjunto de parâmetros obtidos com o uso da Transformada Wavelet Discreta do sinal de áudio do ruído emitido pela caneta ao assinar sobre uma superfície rígida. Os testes realizados com uma base de dados de assinaturas reais, testando diversos filtros wavelet, demonstram a eficácia da técnica proposta.

Palavras-chave: Processamento de sinais. Biometria. Máquinas de vetores de suporte. Inteligência artificial. *Wavelets.*

Abstract

ESCOLA, J.P.L. *Recognition of signatures based on their calligraphic noise.* 2013. 108p. Dissertação (Mestrado em Ciências) - Instituto de Física de São Carlos, Universidade de São Paulo, São Carlos, 2013.

Biometrics is the process of recognition of human beings based on their physiological or behavioral characteristics. There are, currently, several methods and biometric signatures on papers is one of the oldest techniques for measuring behavioral characteristics. By digital processing the audio signals, it is possible to recognize noise emitted by pens when signing. To increase the degree of success, this work propõe a technique based on an algorithm that combines two Support Vector Machines (SVMs), trained using a semi-supervised learning procedure, fed by a set of parameters obtained using the Discrete Wavelet Transform of the audio signals produced by the noise emitted by the pen when signing on a hard surface. Tests conducted with a database of signatures, trying many wavelet filters, demonstrate the real effectiveness of the proposed approach.

Key-words: Signal processing. Biometrics. Support vector machines. Artificial intelligence. *Wavelets.*

Listas de Figuras

| | |
|--|----|
| Figura 2.1 - Neurônio Biológico (extraído de (6)) | 30 |
| Figura 2.2 - Separação linear das classes W_1 e W_2 pelo hiperplano. Os vetores de suporte definem os limites do hiperplano (extraído de (9)). | 31 |
| Figura 2.3 - Mapeamento não-linear do espaço de entrada para o espaço de características (extraído de (9)) | 32 |
| Figura 2.4 - Arquitetura da SVM (extraído de (9)) | 32 |
| Figura 2.5 - DWT: sinal $s[\cdot]$ de n amostras discretas e máxima frequência π , decomposto até o terceiro nível (extraído de (9)) | 37 |
| Figura 2.6 - Relação entre os filtros de análise e síntese (extraído de (16)) | 40 |
| Figura 2.7 - Formato das respostas ao impulso dos filtros <i>wavelet</i> de Haar, Daubechies, Vaidyanathan, Beylkin, Coiflet e Symmlet, respectivamente (extraído de (16)) | 42 |
| Figura 2.8 - Formatos das funções <i>scaling</i> dos filtros <i>wavelet</i> de Haar, Daubechies, Vaidyanathan, Beylkin, Coiflet e Symmlet, respectivamente (extraído de (16)) | 42 |
| Figura 2.9 - Formatos das funções <i>wavelet</i> dos filtros <i>wavelet</i> de Haar, Daubechies, Vaidyanathan, Beylkin, Coiflet e Symmlet, respectivamente (extraído de (16)) | 42 |
| Figura 3.1 - Estrutura básica da estrutura proposta para treinamento do sistema de verificação de assinaturas manuscritas. As siglas estão explicadas ao longo do texto. | 49 |
| Figura 3.2 - Estrutura básica da estrutura proposta para aplicação pós-treinamento do sistema de verificação de assinaturas manuscritas. As siglas estão explicadas ao longo do texto. | 50 |
| Figura 4.1 - Protótipo da caneta com microfone embutido | 51 |
| Figura 4.2 - Caneta com microfone embutido | 52 |
| Figura 4.3 - Gráfico de aproveitamento dos filtros utilizando nível médio de decomposição da transformada Wavelet. | 62 |
| Figura 4.4 - Gráfico de aproveitamento dos filtros utilizando nível máximo de decomposição da transformada Wavelet. | 63 |

Listas de Tabelas

| | |
|---|----|
| Tabela 2.1 - <i>Chunk</i> 1 do formato WAV (9) | 34 |
| Tabela 2.2 - <i>Chunk</i> 2 do formato WAV (9) | 34 |
| Tabela 2.3 - <i>Chunk</i> de dados do formato WAV(9) | 35 |
| Tabela 2.4 - As 25 bandas críticas do sistema auditivo humano que são aproveitadas no presente trabalho para obtenção das energias predominantes do sinal. | 35 |
| Tabela 2.5 - Características das famílias de <i>wavelets</i> utilizadas no presente trabalho, incluindo a quantidade de momentos da função <i>wavelet</i> (9) | 43 |
| | |
| Tabela 4.1 - Testes do grupo 1 (nível médio) com 2 arquivos de treinamento, utilizando diversos filtros e suportes <i>wavelet</i> | 54 |
| Tabela 4.2 - Testes do grupo 2 (nível médio) com 3 arquivos de treinamento, utilizando diversos filtros e suportes <i>wavelet</i> | 55 |
| Tabela 4.3 - Testes do grupo 3 (nível médio) com 4 arquivos de treinamento, utilizando diversos filtros e suportes <i>wavelet</i> | 56 |
| Tabela 4.4 - Testes do grupo 4 (nível médio) com 5 arquivos de treinamento, utilizando diversos filtros e suportes <i>wavelet</i> | 57 |
| Tabela 4.5 - Testes do grupo 5 (nível máximo) com 2 arquivos de treinamento, utilizando diversos filtros e suportes <i>wavelet</i> | 58 |
| Tabela 4.6 - Testes do grupo 6 (nível máximo) com 3 arquivos de treinamento, utilizando diversos filtros e suportes <i>wavelet</i> | 59 |
| Tabela 4.7 - Testes do grupo 7 (nível máximo) com 4 arquivos de treinamento, utilizando diversos filtros e suportes <i>wavelet</i> | 60 |
| Tabela 4.8 - Testes do grupo 8 (nível máximo) com 5 arquivos de treinamento, utilizando diversos filtros e suportes <i>wavelet</i> | 61 |

Lista de Abreviaturas

- DSP Digital Signal Processor
DWT Discrete Wavelet Transform
FIR Finite Impulse Response
FPGA Field-Programmable Gate Array
IA Inteligência Artificial
MRA Multi-Resolution Analysis
PDS Processamento Digital de Sinais
PRFB Perfect Reconstruction Filter Bank
QMF Quadrature Mirror Filters
RNA Redes Neurais Artificiais
SVM Support Vector Machines
WAV Waveform Audio Format

Sumário

| | |
|--|------------|
| 1 Introdução e Motivação | 23 |
| 1.1 Objetivos e Contribuições do trabalho | 24 |
| 1.2 Organização do Trabalho | 24 |
| 2 Revisão Bibliográfica e Direcionamento do Trabalho | 27 |
| 2.1 Identificação Pessoal | 27 |
| 2.2 Biometria | 28 |
| 2.3 Classificadores inteligentes | 29 |
| 2.4 Conceitos elementares e principais parâmetros oriundos dos sinais de áudio . . . | 33 |
| 2.4.1 Digitalização de sinais e o formato WAV de arquivos de áudio | 33 |
| 2.4.2 O conceito de energia | 34 |
| 2.4.3 A Escala Bark | 35 |
| 2.4.4 A Transformada Wavelet Discreta (DWT) | 36 |
| 3 Descrição da Técnica Proposta | 45 |
| 3.1 A Estrutura do Sistema Proposto | 45 |
| 3.1.1 Detalhamento do algoritmo proposto para o módulo de treinamento . . | 47 |
| 3.1.2 Detalhamento do algoritmo proposto para o módulo de aplicação . . . | 48 |
| 3.2 Implementação | 49 |
| 4 Testes e Resultados | 51 |
| 4.1 Materiais e Métodos | 51 |
| 4.2 Bateria de Testes | 52 |
| 5 Conclusões e Trabalhos Futuros | 65 |
| Referências | 67 |
| Apêndice I - Coeficientes dos filtros <i>wavelet</i> utilizados nas experiências. | 69 |
| Apêndice II - Código fonte do sistema proposto. | 79 |
| Apêndice III - Publicações durante o mestrado. | 107 |

Capítulo 1

Introdução e Motivação

A biometria, um processo que possibilita a validação de um ser humano para fins de segurança e vem, segundo Bravo (1), substituindo mecanismos clássicos de autenticação pessoal, tais como o uso de senhas ou cartões magnéticos. Dos mais diversos tipos de medição biométrica, o da assinatura é o mais comum, utilizado nos mais diferentes segmentos, como administradoras, bancos e cartórios.

Por meio do processamento digital de sinais PDS é possível executar diversos tipos de análise em dados de áudio específicos. Esses dados podem ser a fala de uma pessoa, uma canção ou o ruído emitido pela caneta ao assinar, que podem ser utilizados para aumentar o nível de garantia da autenticação por assinatura.

Atualmente, muitos são os esforços na busca de formas de autenticação pessoal confiáveis. Como muitas dessas técnicas - o exame da retina com *laser*, por exemplo - são invasivas, causando desconforto, a análise do ruído emitido pela caneta ao assinar mostra-se uma forma adicional de autenticá-lo sem que seja necessário acrescentar esforço em situações de validação pessoal que demandem assinatura manuscrita.

1.1 Objetivos e Contribuições do trabalho

Com base nas considerações anteriores, o objetivo específico deste trabalho é o de apresentar uma técnica não invasiva de autenticação pessoal por meio a análise do ruído emitido pela caneta durante o processo de assinatura manuscrita. Uma estrutura composta por Máquinas de Vetores de Suporte (*Support Vector Machines* - SVMs), treinadas com um procedimento semi-supervisionado e recebendo parâmetros obtidos com base na Transformada Wavelet Discreta (*Discrete Wavelet Transform* - DWT) do sinal de áudio capturado por meio de um microfone embutido em uma caneta esferográfica, constitui a base para o desenvolvimento do projeto. Em particular, acredita-se que o sistema desenvolvido possa ser adotado por instituições bancárias para autenticação de clientes em tempo real. No que tange às contribuições originais do presente trabalho, destacam-se:

- a obtenção de um novo algoritmo de baixa complexidade para autenticação biométrica em tempo real;
- a especificação de um sistema binário de classificação com base em uma estrutura composta por SVMs que se comportam de forma a distinguir entre as características da assinatura de um usuário real e de N impostores;
- a caracterização do melhor conjunto de parâmetros extraídos dos sinais de áudio para uso com o sistema de classificação proposto, produzindo os resultados mais eficientes na distinção entre o ruído emitido pelo usuário autêntico e um usuário impostor.

1.2 Organização do Trabalho

Este trabalho está organizado da seguinte forma: o capítulo 2 apresenta uma revisão da literatura, envolvendo os princípios básicos da biometria, das SVMs e da DWT, além de outros conceitos importantes. O capítulo 3 apresenta, com detalhes, o algoritmo proposto; já os resultados obtidos com as diversas combinações de parâmetros extraídos por meio da transformada *wavelet* estão descritos no capítulo 4. Tendo em vista os resultados, e apoiado nos conceitos e

características estudados durante a revisão de literatura, o capítulo 5 apresenta as conclusões. Por fim, logo após as referências bibliográficas, três apêndices apresentam, respectivamente, uma lista dos coeficientes dos filtros *wavelet* utilizados nas experiências, o código-fonte da implementação em linguagem de programação de alto nível, assim como as publicações obtidas durante o curso de mestrado do autor.

Capítulo 2

Revisão Bibliográfica e Direcionamento do Trabalho

Neste capítulo, apresenta-se uma revisão da literatura, abordando basicamente os seguintes tópicos: biometria e processos de autenticação pessoal, já que caracterizam o presente trabalho; as SVMs, que constituem os classificadores inteligentes adotados como ponto de partida para formulação do sistema proposto; os conceitos de digitalização de sinais com base no formato WAV de arquivos; energia e escala Bark, que caracterizam os parâmetros utilizados para alimentar o classificador proposto e; por fim, a DWT, que é a principal ferramenta utilizada para o cálculo dos parâmetros retocitados. Todos esses conceitos são necessários para a perfeita compreensão do sistema proposto na presente dissertação.

2.1 Identificação Pessoal

De acordo com Bravo (1), o ser humano está acostumado a comprovar sua identidade a fim de poder adentrar estabelecimentos ou utilizar serviços. Dentre os meios de se identificar um ser humano podemos citar:

- utilização de senhas e códigos;
- crachás ou pulseiras de identificação;

- documentos em papel, cartões magnéticos e de chip;
- identificação de retina, íris, contorno da face, voz, entre outros.

O propósito da identificação pessoal é proteger um sistema de acessos sem autorização que podem provocar prejuízos a uma organização. Segundo Ratha e Bolle (2), o processo de identificação consiste em selecionar a identidade correta de um indivíduo desconhecido a partir de um banco de dados de possíveis identidades. Este processo visa à proteção de usuários registrados, negando a possibilidade de personificação daqueles por intrusos mal intencionados.

Existem basicamente três técnicas de autenticação pessoal em um sistema (1):

- autenticação com base no conhecimento do indivíduo: senhas, números de identificação como registros de entidades de classe (Registro Geral e Cadastro de Pessoa Física), número de passaporte, *login* para acesso ao computador ou sistema de rede, entre outros;
- autenticação com base em dispositivo físico em posse do indivíduo: cartão magnético ou de *chip*, carteira de identidade e chaves;
- autenticação com base em característica física do indivíduo: biometria da íris, impressão digital, formato do rosto, voz, entre outros.

Por serem de baixo custo, as duas primeiras técnicas citadas acima são as mais comuns, também porque as pessoas já estão acostumadas a utilizá-las. Apesar disso, graças ao declínio do custo dos equipamentos computacionais, nos últimos anos a biometria vem conquistando o espaço antes ocupado pelos métodos clássicos de autenticação pessoal.

2.2 Biometria

Consoante Vigliazzi (3), a Biometria é o ramo da ciência que trata da mensuração dos seres vivos, significando, na área de sistemas de segurança de informação, a verificação da identidade de um indivíduo por meio de uma característica única, isto é, por meio de processos automatizados. A utilização da biometria em oposição ao emprego de senhas ou posses (cartões ou

chaves), no controle de acessos, mostra-se vantajosa pois permite que o usuário seja autenticado, ainda que perca a sua senha ou esqueça seu cartão de acesso, por exemplo.

Atualmente, muitos são os métodos biométricos utilizados no ramo da tecnologia da informação, entre eles: termogramas de face, mãos e veias da mão (4), dinâmica do andar (5), reconhecimento de impressão digital (2) e reconhecimento da assinatura manuscrita (3), sendo que, neste último, o reconhecimento é normalmente realizado a partir da imagem da assinatura e não do ruído emitido por ela.

A grande vantagem da biometria para fins de autenticação pessoal em relação aos métodos clássicos está no fato de que é baseada em características fisiológicas do indivíduo, dessa forma, já que estas não podem ser perdidas, roubadas ou esquecidas, a confiabilidade do sistema aumenta substancialmente.

Segundo Bravo (1), as técnicas biométricas podem ser divididas em biometria fisiológica, que engloba características fisiológicas como impressão digital e contorno da face, e biometria de comportamento, que implica características relativas ao comportamento como a escrita, assinatura, voz, entre outras.

A escolha do método biométrico de comportamento sustenta-se nas vantagens citadas anteriormente: trata-se de um processo não invasivo comumente utilizado em diversos segmentos.

Por último, pode-se afirmar que dentre as diversas características da escrita como o estilo da caligrafia (formas das letras), também devem ser levadas em conta a dinâmica e a postura ao escrever, como a força, velocidade e aceleração, que podem servir de subsídio para a distinção no processo de identificação do indivíduo.

2.3 Classificadores inteligentes

De acordo com Silva et al. (8), as RNAs (Redes Neurais Artificiais) são “modelos computacionais inspirados no sistema nervoso de seres vivos”. Assim como nas redes neurais do

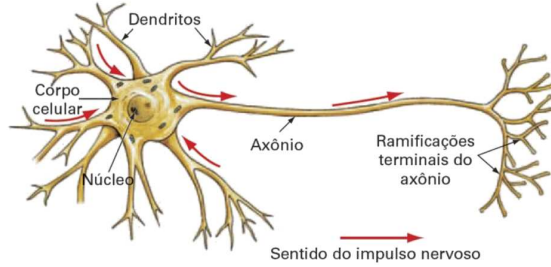


Figura 2.1 – Neurônio Biológico (extraído de (6))

cérebro humano, as RNAs “tem capacidade de aquisição e manutenção do conhecimento”, possuem interconexões como os neurônios biológicos, como na Figura 2.1. Essas interconexões são representadas no computador por meio de vetores e matrizes multiplicadas por seus respectivos pesos sinápticos.

O sistema de classificação de padrões empregado no presente trabalho foi elaborado a partir de uma ferramenta de Inteligência Artificial (IA). Segundo Souza (9), esta técnica é utilizada para classificação binária e é uma evolução das RNAs, pois pode trazer resultados muitas vezes superiores a estas. Ainda de acordo com Souza (9), as SVMs foram desenvolvidas por Vladimir Vapnik em 1998 e se baseiam no princípio da “Minimização do Risco Estrutural”, que visa minimizar o risco empírico no conjunto de treinamento e controlar sua função de decisão. Esta última é utilizada para obter o referido valor de risco. Assim como as RNAs, as SVMs oferecem capacidade de generalização de acordo com o conjunto de treinamento atribuído.

Segundo Baranowski (10), a idéia da minimização do risco estrutural busca minimizar o erro de generalização, ou seja, os erros verdadeiros em amostras não descobertas.

Dado um conjunto de vetores de treinamento $\{(\vec{x}_1, y_1); (\vec{x}_2, y_2); \dots; (\vec{x}_n, y_n)\}$ pertencente a duas classes linearmente separáveis, W_1 representada pela saída $y_i = +1$ e W_2 representada pela saída $y_i = -1$, a SVM encontra o hiperplano com a máxima distância do conjunto de treinamento. De acordo com esse princípio, existirá somente um hiperplano com a margem máxima δ , definida como sendo a soma das distâncias do hiperplano até o ponto mais próximo das classes, sendo que esse limiar do classificador é a separação ótima, conforme se pode observar na figura 2.2.

Podem existir casos, como no presente trabalho, nos quais os conjuntos de treinamento não são linearmente separáveis. Neste caso, associa-se ao i -ésimo ponto x_i , $(0 \leq i \leq N)$, uma variável σ_i , que representa a amplitude do erro de classificação. A função de penalidade (função 2.1) equivale ao somatório dos erros de classificação. A proposta da SVM é buscar a

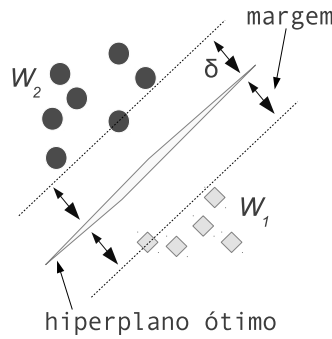


Figura 2.2 - Separação linear das classes W_1 e W_2 pelo hiperplano. Os vetores de suporte definem os limites do hiperplano (extraído de (9)).

minimização dos erros de treinamento de (função 2.2), onde \vec{w} é o vetor de pesos e $C \in \mathbb{R}$.

$$F(\sigma) = \sum_{i=0}^{N-1} \sigma_i \quad (2.1)$$

$$\frac{1}{2} \vec{w}^T \vec{w} + C \sum_{i=0}^{N-1} \sigma_i \quad (2.2)$$

Conforme Souza (9), em uma operação que compreende duas etapas, é possível verter o equacionamento anterior (Figura 2.3):

1. com a aplicação do Teorema de Cover, convertendo o vetor de entrada não-linear em um espaço de características de alta dimensão. Essa função de mapeamento é denominada *kernel* ou núcleo da aplicação, geralmente representada por $\phi(\cdot)$.
2. construção do hiperplano que irá separar as características dos vetores da etapa anterior. A função desse hiperplano é a de separar os padrões de entrada mapeados no passo anterior.

De acordo com Baranowski (10), “a fim de encontrar a superfície de decisão ótima, o algoritmo da SVM tenta separar da melhor forma possível os pontos dos dados de ambas as classes”. Nesse caso, são selecionados os pontos mais próximos da fronteira entre as classes, pelo fato de serem mais importantes para a solução do problema, em comparação com os pontos mais distantes, pois, por estarem mais próximos, ajudam a definir a melhor superfície de decisão em relação aos pontos menos próximos do limite.

Na Figura 2.4, apresenta-se a arquitetura básica da SVM, no qual há três camadas de elementos:

1. camada de entrada, que recebe os elementos de teste;

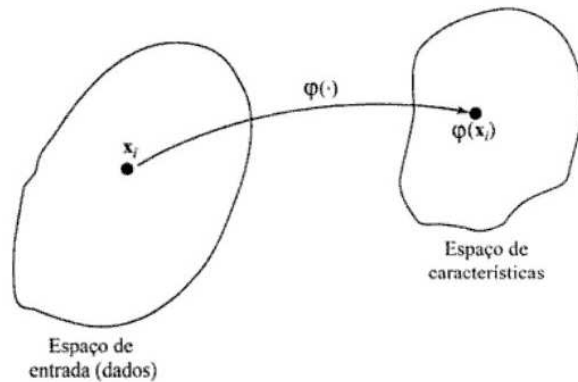


Figura 2.3 – Mapeamento não-linear do espaço de entrada para o espaço de características (extraído de (9))

2. camada intermediária, ou camada oculta, que é responsável pelo mapeamento não-linear dos dados de entrada recebidos na camada anterior;

3. camada de saída, que é composta pelo elemento de processamento associado a um vetor de pesos \vec{w} , responsável por separar linearmente as características do mapeamento anterior.

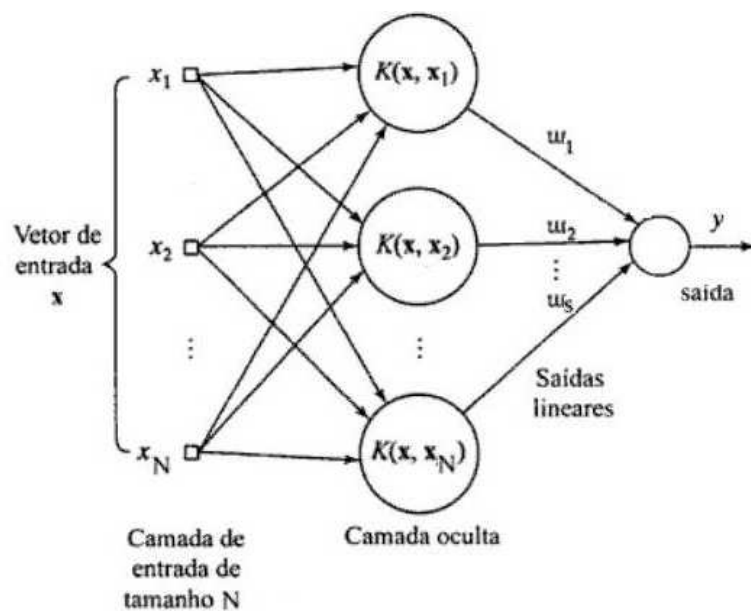


Figura 2.4 – Arquitetura da SVM (extraído de (9))

2.4 Conceitos elementares e principais parâmetros oriundos dos sinais de áudio

A seguir, são apresentados alguns conceitos elementares utilizados durante o projeto e a implementação do presente trabalho. Além disso, a considerável experiência anterior do grupo de pesquisas no qual se insere o presente trabalho (9, 15–18), tem mostrado quais os parâmetros que mais traduzem as características acústicas de interesse para a aplicação em questão. Tais parâmetros também são brevemente revistos.

2.4.1 Digitalização de sinais e o formato WAV de arquivos de áudio

No presente trabalho, os arquivos utilizados com a finalidade de armazenar os sinais de áudio para o treinamento do classificador apresentado foram gravados no formato WAV (12), tendo em vista que ele é o mais simples existente para fins de armazenamento das amostras digitalizadas de tais sinais. Basicamente, um arquivo de áudio no formato WAV é composto por um cabeçalho sub-dividido em duas partes chamadas *chunk 1* e *chunk 2*, seguidas pelos dados brutos, que fazem parte de uma porção identificada como *chunk* de dados. De acordo com a especificação do formato, no caso de sinais amostrados com uma quantização de 16 bits, que são os utilizados aqui, a faixa de valores para cada amostra vai de -32768 até 32767, e ainda, no padrão *little endian*, que se refere à forma com que os valores são armazenados no arquivo. Adicionalmente, os arquivos utilizados nas experiências do presente trabalho foram gravados em um único canal (mono) sem compressão. A especificação de cada um dos *chunks* mencionados consta nas tabelas 2.1, 2.2 e 2.3. Um trecho de código-fonte escrito em linguagem Java, que se encontra na parte final do presente trabalho, foi elaborado para extrair os “dados brutos” dos arquivos WAV e permitir seu uso nos experimentos.

Tabela 2.1 – Chunk 1 do formato WAV (9)

| Bytes | Descrição |
|--------------|-----------------------------|
| 0 a 3 | <i>string</i> ascii “RIFF” |
| 4 a 7 | comprimento do <i>chunk</i> |
| 8 a 12 | <i>string</i> ascii “WAV” |

Tabela 2.2 – Chunk 2 do formato WAV (9)

| Bytes | Descrição |
|--------------|---|
| 0 a 3 | <i>string</i> ascii “FMT” |
| 4 a 7 | comprimento do <i>chunk</i> |
| 8 a 9 | 0 para mono (um canal) e 1 para estéreo (dois canais) |
| 10 a 11 | número de canais (1 para mono e 2 para estéreo) |
| 12 a 15 | taxa de amostragem em Hz |
| 16 a 19 | bytes por segundo |
| 20 a 21 | bytes por amostra |
| 22 a 23 | bits por amostra |

2.4.2 O conceito de energia

O tamanho de um sinal em tempo discreto pode ser medido por meio de sua energia (14). A energia de um sinal x_i de N amostras discretas é um escalar definido como ilustrado na função 2.3. No presente trabalho, as energias de várias sub-bandas de frequências de um sinal serão utilizadas para alimentar o sistema de classificação adotado.

$$E = \sum_{i=0}^{N-1} x_i^2 \quad (2.3)$$

Tabela 2.3 – Chunk de dados do formato WAV(9)

| Bytes | Descrição |
|--------------|-----------------------------|
| 0 a 3 | <i>string ascii “data”</i> |
| 4 a 7 | comprimento do <i>chunk</i> |
| 8 até o fim | “dados brutos” |

Tabela 2.4 - As 25 bandas críticas do sistema auditivo humano que são aproveitadas no presente trabalho para obtenção das energias predominantes do sinal.

| <i>Bark (z)</i> | <i>Hertz (Hz)</i> | <i>Bark (z)</i> | <i>Hertz (Hz)</i> |
|-----------------|-------------------|-----------------|-------------------|
| 0 | 0 - 100 | 12 | 1720 - 2000 |
| 1 | 100 - 200 | 13 | 2000 - 2320 |
| 2 | 200 - 300 | 14 | 2320 - 2700 |
| 3 | 300 - 400 | 15 | 2700 - 3150 |
| 4 | 400 - 510 | 16 | 3150 - 3700 |
| 5 | 510 - 630 | 17 | 3700 - 4400 |
| 6 | 630 - 770 | 18 | 4400 - 5300 |
| 7 | 770 - 920 | 19 | 5300 - 6400 |
| 8 | 920 - 1080 | 20 | 6400 - 7700 |
| 9 | 1080 - 1270 | 21 | 7700 - 9500 |
| 10 | 1270 - 1480 | 22 | 9500 - 12000 |
| 11 | 1480 - 1720 | 23 | 12000 - 15500 |
| | | 24 | 15500 - 22050 |

2.4.3 A Escala Bark

Segundo Bosi (12) e Vieira (17), a escala Bark permite sub-dividir a faixa de frequências audíveis pelo ouvido humano em 25 intervalos chamados de bandas críticas. Quando dois ou mais sons, de frequências diferentes mas pertencentes à mesma banda crítica, estão sendo captados simultaneamente, o de maior amplitude mascara o(s) outro(s), portanto, o de menor amplitude não é percebida. A tabela 2.4 mostra as bandas críticas, na escala de frequências em Hertz (Hz) e na escala Bark (z), que é uma escala adotada para linearizar o intervalo entre as bandas. A conversão entre Hertz e Bark é dada pela equação 2.4 onde f representa a frequência em Hertz. Nos casos onde $z < 2$ então aplica-se a correção $z \leftarrow z + 0.15(2 - z)$ e onde $z > 20$ então faz-se $z \leftarrow z + 0.22(z - 20.1)$.

$$z = \frac{26.81f}{1960 + f} - 0.53 \quad (2.4)$$

2.4.4 A Transformada Wavelet Discreta (DWT)

De acordo com Souza (9) e Barbon Junior. (16), a transformada *wavelet* discreta (19–21) é uma alternativa mais eficiente para realizar a análise tempo-frequência de um sinal, bem como produzir filtragens e separações de um sinal em sub-bandas do seu espectro de frequências, em comparação com a Transformada de Fourier de Tempo Reduzido (22). Existem duas abordagens básicas em relação à DWT. A primeira é baseada em conceitos da álgebra linear e a segunda, relacionada aos conceitos mais práticos de processamento de sinais. A segunda abordagem é adotada neste trabalho, devido a sua praticidade e aplicabilidade. De acordo Barbon Junior. (16), a DWT funciona como um par de filtros, sendo um deles passa-baixas ($h[\cdot]$) e o outro, passa-altas ($g[\cdot]$), de modo que, em geral, sua frequência de corte está na metade da máxima frequência presente no sinal de entrada. Aplicando a DWT em um sinal discreto, este é submetido a ambos os filtros via convolução(16, 22). “Cada vez que esse processo é aplicado, diz-se que se tem um nível de decomposição e obtém-se dois novos sinais, um dos quais contém as frequências abaixo da metade da máxima frequência original do sinal, e o outro contém as frequências acima desse limiar” (16). Nesse processo, quando da passagem do sinal original pelo filtro passa-altas, os termos obtidos são chamados coeficientes de *detalhamento*, e quando da passagem do sinal original pelo filtro passa-baixas, os termos chamados coeficientes de *aproximação* designam o sinal obtido. Após cada nível de decomposição, somente o sinal obtido pela aplicação do filtro passa-baixas é aproveitado para continuidade do processo recursivo de decomposição.

Há um detalhe fundamental a ser notado: cada vez que um nível da transformação é realizado, os dois novos sinais obtidos são sub-amostrados por 2, pois eles contêm apenas metade da faixa de frequências do sinal original, de acordo com o Teorema da Amostragem (22) e como ilustra a figura 2.5. Um sinal de n amostras tem a sua transformada *wavelet* com a mesma quantidade de amostras, compostas por uma sequência de coeficientes, iniciando-se com aqueles provenientes da aplicação do filtro passa-baixas no último nível, seguidos pelos coeficientes resultantes da aplicação dos filtros passa-altas nos níveis intermediários, e terminando com os coeficientes resultantes da aplicação do filtro passa-altas do primeiro nível de decomposição.

Duas considerações importantes para se aplicar a transformada *wavelet* (16, 19, 21):

1. para realizar a decomposição até o último nível possível, é necessário que o sinal discreto tenha comprimento equivalente a uma potência de 2, sendo possível realizar $\frac{\log(n)}{\log(2)}$ decomposições para um sinal de comprimento n .

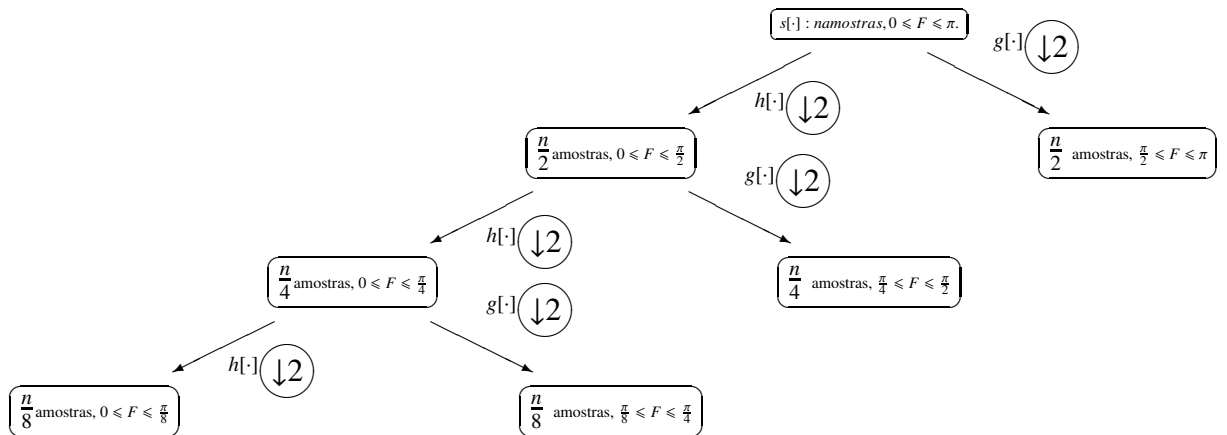


Figura 2.5 - DWT: sinal $s[\cdot]$ de n amostras discretas e máxima frequência π , decomposto até o terceiro nível (extraído de (9))

2. para que um filtro digital seja considerado um filtro *wavelet* é necessário que a resposta em frequência do filtro passa-baixas seja 0 em $\omega = \pi$.

Segundo Barbon Junior (16), o processo de filtragem e sub-amostragem por 2, realizado conjuntamente nos sinais da transformada *wavelet* em cada nível, pode ser representado por uma “convolução modificada” da seguinte forma:

$$y[\cdot] = x[\cdot] * t[\cdot] = \sum_{k=0}^{n-1} t_k x_{2n-k} \quad , \quad (2.5)$$

ou, mais especificamente:

$$y_{passa-baixas}[\cdot] = x[\cdot] * h[\cdot] = \sum_{k=0}^{n-1} h_k x_{2n-k} \quad (2.6)$$

e

$$y_{passa-altas}[\cdot] = x[\cdot] * g[\cdot] = \sum_{k=0}^{n-1} g_k x_{2n-k} . \quad (2.7)$$

De acordo com Barbon Junior (16), a DWT está diretamente relacionada à análise de multi-resolução (*Multi-Resolution Analysis - MRA*), proposta por Mallat, Meyer, Stromberg e outros (23, 24). Esta técnica consiste em decompor o sinal sob análise \vec{f} , que é um vetor, em uma soma de outros vetores, os quais são pertencentes a uma sequência de sub-espaços vetoriais (25). Em outras palavras, isso significa representar um sinal em vários níveis de resolução. Assim, de acordo com a MRA, no caso de um vetor \vec{f} de n pontos:

$$\vec{f} = \vec{A} + \vec{D} \quad (2.8)$$

onde

$$\vec{A} = \sum_{k=0}^{\frac{n}{2}-1} \langle \vec{f}, \vec{v}_k \rangle \vec{v}_k ,$$

e

$$\vec{D} = \sum_{k=0}^{\frac{n}{2}-1} \langle \vec{f}, \vec{w}_k \rangle \vec{w}_k ,$$

ou seja:

- \vec{A} é a projeção de \vec{f} num sub-espaço V , com uma base de $\frac{n}{2}$ vetores;
- \vec{D} é a projeção de \vec{f} num sub-espaço W , com uma base de $\frac{n}{2}$ vetores;
- $V \perp W \leftrightarrow \vec{A} \perp \vec{D}$;
- $\vec{v}_i \perp \vec{w}_i \leftrightarrow \langle \vec{v}_i, \vec{w}_i \rangle = 0$.

O processo acima consiste em uma única decomposição do sinal, ou seja, decomposição de nível 1. Numa transformada *wavelet* de nível 2, o vetor \vec{A} (aproximação) é novamente decomposto na soma de dois outros vetores ortogonais, e pode este processo, como já foi mencionado, ser repetido $\frac{\log(n)}{\log(2)}$ vezes. Quando ambos os vetores \vec{A} e \vec{D} são re-decompostos, para fins de aumento na resolução frequencial, tem-se o que se chama de *wavelet-packet* ou *DWT-packet*. Assim, generalizando, para uma decomposição de nível j , temos:

$$\vec{f} = \vec{A}_j + \sum_{i=1}^j \vec{D}_i. \quad (2.9)$$

sendo que:

- \vec{A}_j é a projeção de \vec{f} num sub-espaço V_j , com uma base contendo $\frac{n}{2^j}$ vetores;

- \vec{D}_i é a projeção de \vec{f} num sub-espaço W_i , com uma base contendo $\frac{n}{2^i}$ vetores;
- $V_j \perp W_j \leftrightarrow \vec{A}_j \perp \vec{D}_j$;
- $v_{i,j}^\rightarrow \perp w_{i,j}^\rightarrow \leftrightarrow < v_{i,j}^\rightarrow, w_{i,j}^\rightarrow > = 0$.

O processo anterior equivale a escrever (26):

$$f[n] = \sum_{k=0}^{\frac{n}{2^j}-1} H_{j,k}[n] \phi_{j,k}[n] + \sum_{t=1}^j \sum_{k=0}^{\frac{n}{2^j}-1} G_{t,k}[n] \psi_{t,k}[n] \quad (2.10)$$

onde

- $\phi[n]$ e $\psi[n]$ formam uma base de Riesz (26) para escrever \vec{f} ;
- $\phi[n] = \sum_k h_n \phi[2n - k]$;
- $\psi[n] = \sum_k g_n \phi[2n - k]$;
- $H_{j,k}[n] = < f, \phi_{j,k}[n] >$;
- $G_{t,k}[n] = < f, \psi_{t,k}[n] >$;
- $\{0\} \leftarrow \dots \subset V_{-1} \subset V_0 \subset V_1 \subset \dots \rightarrow L^2$;
- se $f[n] \in V_j \rightarrow f[2n] \in V_{j+1}$;
- $V_{j+1} = V_j \oplus W_j$;
- os coeficientes h_k correspondem ao filtro passa-baixas (aproximação);
- os coeficientes g_k correspondem ao filtro passa-altas (detalhe);
- $h[\cdot]$ e $g[\cdot]$, que são chamados filtros de análise, formam um par de *Quadrature Mirror Filters* - QMF;
- um filtro com k coeficientes é dito filtro de suporte k .

A função ϕ é definida recursivamente, é chamada função *wavelet* e é ortogonal a função *scaling*, a qual é definida recursivamente por dilatações e translações de si mesma(26);

Cada par de filtros de análise, $h[\cdot]$ e $g[\cdot]$, possui uma única função *scaling* e uma única função *wavelet* associadas. A forma de obtenção dessas funções é detalhada por (21) a partir

dos filtros, e vice-versa.

Existem outros filtros associados com $h[\cdot]$ e $g[\cdot]$ chamados *filtros de síntese*. Representados por $\bar{h}[\cdot]$ e $\bar{g}[\cdot]$, são utilizados para inverter a transformada, permitindo recuperar o sinal original a partir de um sinal transformado (16). Tais filtros obedecem às relações das equações 2.11, 2.12 e 2.13, para $k = 0, \dots, n - 1$, que ficam mais claras através do exemplo na figura 2.6, para filtros de suporte 4.

$$g_k = (-1)^k h_{N-k-1} , \quad (2.11)$$

$$\bar{h}_k = h_{N-k-1} , \quad (2.12)$$

$$\bar{g}_k = (-1)^{k+1} h_k . \quad (2.13)$$

No presente trabalho, a inversão da DWT não se faz necessária, entretanto, é importante que o algoritmo proposto utilize apenas filtros de reconstrução perfeita (*Perfect Reconstruction Filter Bank* - PRFB) (23) (24). Um filtro pode ser considerado PRFB quando $h[\cdot]$, $g[\cdot]$, $\bar{h}[\cdot]$, e $\bar{g}[\cdot]$ mantém as relações descritas nas equações 2.11, 2.12 e 2.13 acima, ou seja, as condições de *anti-aliasing* e *no-distortion*, no domínio Z, representadas nas equações 2.14 e 2.15, respectivamente, são satisfeitas.

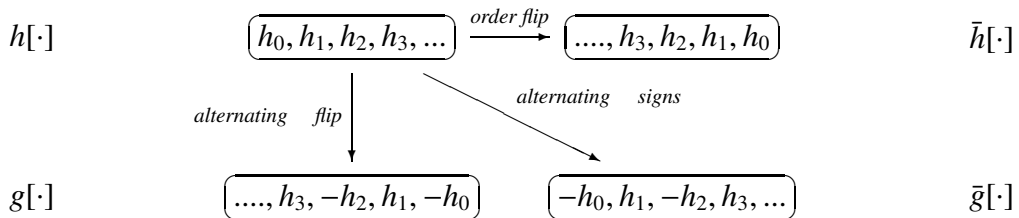


Figura 2.6 – Relação entre os filtros de análise e síntese (extraído de (16))

$$\tilde{H}[z] = G[-z] , \quad \tilde{G}[z] = -H[-z] . \quad (2.14)$$

$$\tilde{H}[z]H[z] + \tilde{G}[z]G[z] = 2z^{-N+1} . \quad (2.15)$$

Cálculo da DWT:

Segundo Barbon Junior (16), para calcular da DWT de um sinal é possível empregar, sobre os filtros $h[\cdot]$ e $g[\cdot]$, o algoritmo de Mallat (21). O procedimento de cálculo envolve apenas a multiplicação de duas matrizes para cada nível de transformação. Se $A[\cdot][\cdot]$ é a matriz de coeficientes dos filtros e $B[\cdot]$ é o sinal original, então $C[\cdot] = A[\cdot][\cdot]B[\cdot]$ corresponde ao sinal

transformado, e a disposição dos coeficientes nas matrizes é a seguinte:

$$A[\cdot][\cdot] = \begin{pmatrix} h_0 & h_1 & h_2 & \dots & \dots & \dots & h_{n-1} & 0 & 0 & 0 & 0 & \dots & \dots & 0 & 0 \\ g_0 & g_1 & g_2 & \dots & \dots & \dots & g_{n-1} & 0 & 0 & 0 & 0 & \dots & \dots & 0 & 0 \\ 0 & 0 & h_0 & h_1 & h_2 & \dots & \dots & h_{n-1} & 0 & 0 & 0 & \dots & \dots & 0 & 0 \\ 0 & 0 & g_0 & g_1 & g_2 & \dots & \dots & g_{n-1} & 0 & 0 & 0 & \dots & \dots & 0 & 0 \\ \dots & \dots \\ \dots & \dots \\ \vdots & & \vdots \\ h_{n-1} & 0 & 0 & 0 & \dots & \dots & \dots & 0 & 0 & h_0 & h_1 & \dots & \dots & h_{n-3} & h_{n-2} \\ g_{n-1} & 0 & 0 & 0 & \dots & \dots & \dots & 0 & 0 & g_0 & g_1 & \dots & \dots & g_{n-3} & g_{n-2} \end{pmatrix},$$

$$B[\cdot] = \begin{pmatrix} b_0 \\ b_1 \\ b_2 \\ b_3 \\ \dots \\ \vdots \\ b_{n-2} \\ b_{n-1} \end{pmatrix} \quad e \quad C[\cdot] = \begin{pmatrix} c_0 \\ c_{\frac{n}{2}} \\ c_1 \\ c_{\frac{n}{2}+1} \\ \dots \\ \vdots \\ c_{n-1} \\ c_{\frac{n}{2}-1} \end{pmatrix}.$$

Pode-se notar na matriz $A[\cdot][\cdot]$ que dois procedimentos estão embutidos no algoritmo de Mallat: *downsampling* e *wrap-around* (21). Este consiste em fazer com que os coeficientes precedentes dos filtros ocupem as posições iniciais de cada linha, fazendo com que a DWT mantenha sempre o mesmo número de elementos do sinal original.

Famílias de Transformadas Wavelet:

Existem diversas famílias de filtros *wavelet*(21), conforme ilustrado na tabela 2.5 e nas figuras 2.7, 2.8 e 2.9. Estas se diferenciam no suporte dos filtros, assim como nas características de resposta em frequência e fase dos mesmos, o que faz com que as funções ϕ e ψ também sofram reflexo de tais diferenças.

Foram utilizadas neste trabalho, para fins de separação dos sinais de áudio em sub-bandas de frequências, as *wavelets* de Haar, Daubechies, Symmlets, Coiflets, Vaidyanathan e Beylkin com diversos suportes, a exemplo de (9, 16).

É importante salientar que todas as famílias aqui empregadas constituem-se de filtros FIR , ou seja, com respostas finitas ao impulso (*Finite Impulse Response - FIR*), isto é, limitadas (22), sendo que as respostas em frequência se aproximam das ideais à medida que o suporte cresce (9).

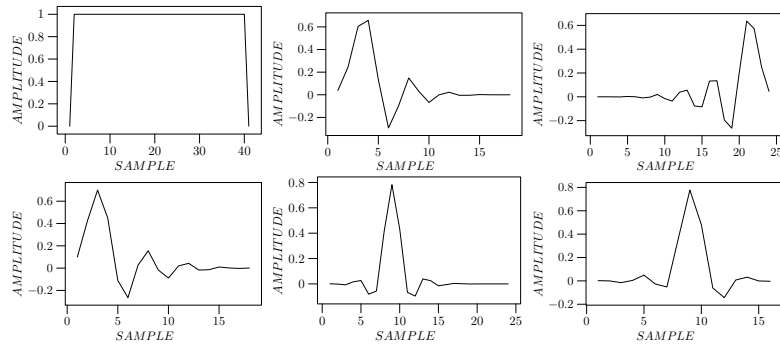


Figura 2.7 - Formato das respostas ao impulso dos filtros *wavelet* de Haar, Daubechies, Vaidyanathan, Beylkin, Coiflet e Symmlet, respectivamente (extraído de (16))

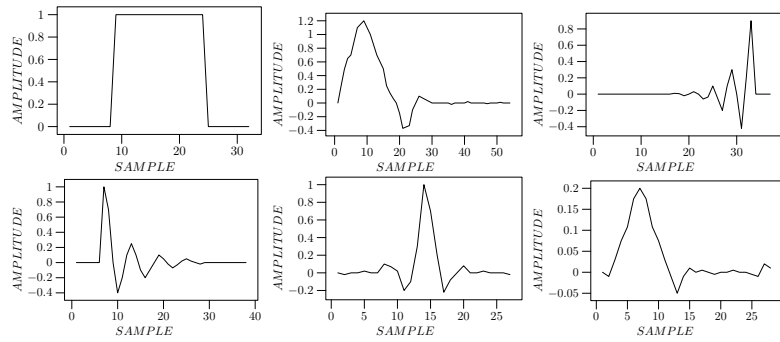


Figura 2.8 - Formatos das funções *scaling* dos filtros *wavelet* de Haar, Daubechies, Vaidyanathan, Beylkin, Coiflet e Symmlet, respectivamente (extraído de (16))

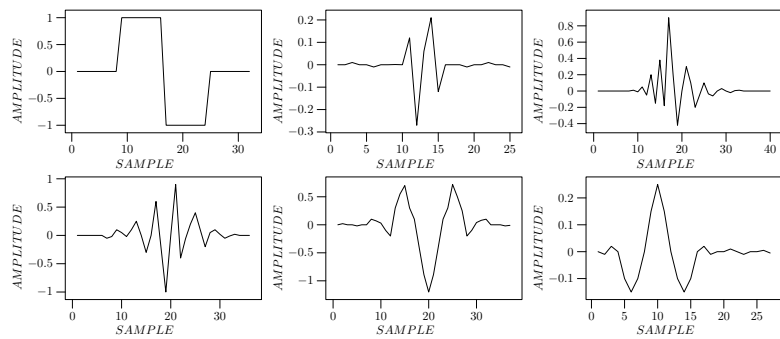


Figura 2.9 - Formatos das funções *wavelet* dos filtros *wavelet* de Haar, Daubechies, Vaidyanathan, Beylkin, Coiflet e Symmlet, respectivamente (extraído de (16))

Tabela 2.5 - Características das famílias de *wavelets* utilizadas no presente trabalho, incluindo a quantidade de momentos da função *wavelet* (9)

| Família | Suporte(n) | Fase | Observação | Momentos |
|--------------|--------------------|--------------|---|-------------------|
| Haar | 2 | linear | é a mais simples das <i>wavelets</i> , criada por Alfred Haar (20)(21) | 1 |
| Daubechies | par, maior que 4 | não linear | resposta ao impulso <i>maximally flat</i> , criada por Ingrid Daubechies (20)(21) | $\frac{n}{2}$ |
| Symmlets | par, múltiplo de 8 | não linear | resposta ao impulso mais simétrica(20)(21) | $\frac{n}{2} - 2$ |
| Coiflets | par, múltiplo de 6 | quase linear | resposta ao impulso quase simétrica, criada por Ronald Coifman (20)(21) | $\frac{n}{2} - 1$ |
| Vaidyanathan | 24 | não linear | otimizada para voz, criada por P. P. Vaidyanathan (20)(21) | — |
| Beylkin | 18 | não linear | otimizada para áudio em geral (20)(21) | $\frac{n}{2} - 2$ |

Capítulo 3

Descrição da Técnica Proposta

No presente capítulo apresenta-se o sistema proposto, sua estrutura e cada passo dos algoritmos associados para treinamento e execução.

3.1 A Estrutura do Sistema Proposto

O sistema proposto foi dividido em dois módulos distintos, descritos ao final do capítulo. O primeiro módulo é responsável pelo treinamento do sistema de classificação com base em um banco de assinaturas coletadas por meio de um dispositivo com microfone embutido, que está detalhado na seção de Materiais e Métodos. Já o segundo, corresponde ao módulo de aplicação, que funciona com base no sistema previamente treinado, no qual sinais de assinaturas aleatórias foram submetidos a fim de efetuar os testes de reconhecimento biométrico.

Conforme se pode observar na figura 3.1, o módulo de treinamento é responsável por treinar, de maneira isolada e com base numa abordagem semi-supervisionada, diversas SVMs, sendo uma para cada indivíduo pertencente à base de dados de assinaturas. Este é um diferencial do presente trabalho em relação aos esquemas tradicionais encontrados na literatura. Assim, cada SVM comporta-se como uma função que recebe dados de entrada, maximizando um valor de saída para determinados padrões e minimizando-o para outros. Isoladamente, cada SVM pode ser vista como um sistema discriminativo de reconhecimento de padrões.

O módulo de treinamento recebe os arquivos de assinatura e o nome do indivíduo ao qual as referidas assinaturas pertencem. Dessa forma, este módulo executa o treinamento da SVM vinculada ao indivíduo, fixando o valor 1 para a saída de cada assinatura pertencente ao indivíduo atual, do qual, por convenção, é considerada uma assinatura *verdadeira*, ou seja, pertencente ao referido indivíduo. A metodologia de treinamento proposta para cada SVM consiste, conforme relatado, apenas em maximizar as suas saídas, aproximando-as do valor 1, e não em criar um plano separador, como ocorre tradicionalmente. Esta técnica, referida como treinamento gerativo (7), visa não representar os indivíduos impostores, isto é, os indivíduos que não são o de interesse, por meio de uma quantidade diminuta de exemplos, tendo em vista que o universo inteiro de indivíduos, exceto o de interesse, é considerado como impostor.

Conforme mencionado anteriormente, o esquema adotado para o treinamento das SVMs é semi-supervisionado. Isso significa que, num primeiro momento, apenas os parâmetros de entrada são utilizados, sem qualquer relação com o valor de saída desejado. Em particular, cada uma das SVMs eleva a dimensão do sinal de entrada de P para T , que representam, respectivamente, o número de parâmetros utilizados para cada exemplo de treinamento, e o número de exemplos de treinamento. Com o uso desse artifício, é sabido que existirá sempre uma solução direta para a respectiva formulação. A função *kernel* utilizada nessa etapa é a Gaussiana (equação 3.1) e cada um dos T -ésimos elementos de processamento da camada intermediária é ajustado para apresentar saída máxima (1) somente para o T -ésimo exemplo de treinamento. O leitor pode recorrer à figura 2.4 do capítulo anterior para acompanhar essa explicação.

$$\phi(v) = e^{\frac{-\text{dist}(\vec{x}, \vec{y})}{2}}, \quad (3.1)$$

sendo *dist* a distância Euclidiana (7) entre os vetores \vec{x} e \vec{y} de teste e de treinamento.

O módulo de aplicação, ilustrado na figura 3.2, lê o arquivo de assinatura desconhecido, extraí os parâmetros correspondentes, que são os mesmos extraídos no módulo de treinamento. Finalmente, é medida a diferença entre o valor de saída apresentado por cada SVM e o valor 1 (*verdadeiro*). A SVM que apresenta a menor diferença corresponde à saída 1 desejada, retorna o nome do indivíduo vinculado a ela, sendo esta a classificação emitida como resposta do sistema, isto é, a referida assinatura pertence ao indivíduo cujo nome está vinculado à SVM.

A exemplo de Souza (9), o sistema de classificação planejado treina cada uma das SVMs levando em conta apenas os elementos de uma classe particular a ser identificada, ou seja, a classe pertencente ao indivíduo em questão, e distingue-se dos esquemas tradicionais de classificação. Em particular, cada uma das SVMs, isoladamente, em vez de criar uma margem de separação entre elementos de classes distintas, minimiza as distâncias de cada ponto do espaço

até o ponto 1. A rotina EMR do módulo de aplicação forma, então, em associação com o conjunto total de SVMs, um sistema de classificação que leva em conta um procedimento global de minimização, um para cada SVM, escolhendo a melhor solução. A combinação das SVMs com a estrutura de decisão da rotina EMR é uma das chaves do presente trabalho, e permitiu a obtenção de resultados promissores, conforme documentado no próximo capítulo.

As próximas sub-seções detalham os algoritmos utilizados nos módulos de treinamento e de aplicação, respectivamente. Já os parâmetros mencionados acima, tanto para o treinamento quanto para a aplicação do classificador, serão discutidos no próximo capítulo.

3.1.1 Detalhamento do algoritmo proposto para o módulo de treinamento

Como complemento às explicações apresentadas anteriormente, segue a descrição detalhada das etapas do algoritmo proposto para o módulo de treinamento do sistema.

- **INÍCIO**
- **PASSO 1:** (rotina CIT - Consulta Indivíduos de Treinamento): Para cada indivíduo da base de dados:
 - **Repete:**
 - * **PASSO 2:** (rotina LDB - Leitura dos Dados Brutos): extrai os “dados brutos” (amostras digitalizadas) do arquivo atual;
 - * **PASSO 3:** (rotina CNI - Consulta nome do indivíduo): procurar na base de dados de treinamento a indicação textual de identificação do indivíduo representado pelo arquivo WAV de assinatura em questão;
 - **INÍCIO**
 - **PASSO 3.1.A:** extraem-se as 25 energias de cada banda Bark a serem utilizadas para o treinamento, utilizando-se uma determinada DWT-*packet*, segundo descrito no próximo Capítulo. Em função do nível de decomposição utilizado na DWT-*packet*, conforme descrito no próximo Capítulo, escolheram-se as folhas da decomposição que ofereciam os limites de frequências referentes à banda de interesse;

- **PASSO 3.1.B:** normaliza-se o conjunto de 25 energias, para evitar variações devidas às amplitudes, concatenando-as em um vetor único que representará os parâmetros de entrada do indivíduo atual para a respectiva SVM;
- **FIM;**
- **enquanto** ainda existem arquivos na base de treinamento (rotina UAD - Último Arquivo de Dados);
- **PASSO 4:** (rotina SVM): utiliza os parâmetros para treinar a SVM do indivíduo atual, conforme descrito anteriormente, objetivando o valor 1 na saída;
- **FIM.**

3.1.2 Detalhamento do algoritmo proposto para o módulo de aplicação

- **INÍCIO**

- **PASSO 1:** (rotina LDB): lê o arquivo WAV a ser classificado, extraiendo os seus “dados brutos”;
- **PASSO 2:** (rotina EPE - Extração dos Parâmetros de Energia): extrai-se, conforme realizado na etapa de treinamento, as 25 energias do sinal, as quais serão consideradas como os parâmetros de entrada do teste;
 - **Para cada SVM treinada:**
 - * **PASSO 2.1:** (rotina SVM): injetar os parâmetros extraídos no passo anterior, previamente normalizados, obtendo o valor de saída da SVM atual e adicionando-o ao vetor de resultados VR);
- **PASSO 3:** (rotina EMR - Escolha da Máxima Resposta): a partir do cálculo do elemento que obteve a menor diferença em relação ao valor 1 esperado, ou seja, $\max(VR)$, retornando a identificação do usuário.
- **FIM.**

3.2 Implementação

Os módulos de treinamento e de aplicação, os trechos de código referentes à extração dos parâmetros do sinal de assinatura e as etapas de processamento foram implementados em linguagem Java sob ambiente Linux (27). Os códigos-fonte respectivos encontram-se no apêndice II.

O próximo capítulo descreve os testes e resultados obtidos com o algoritmo proposto.

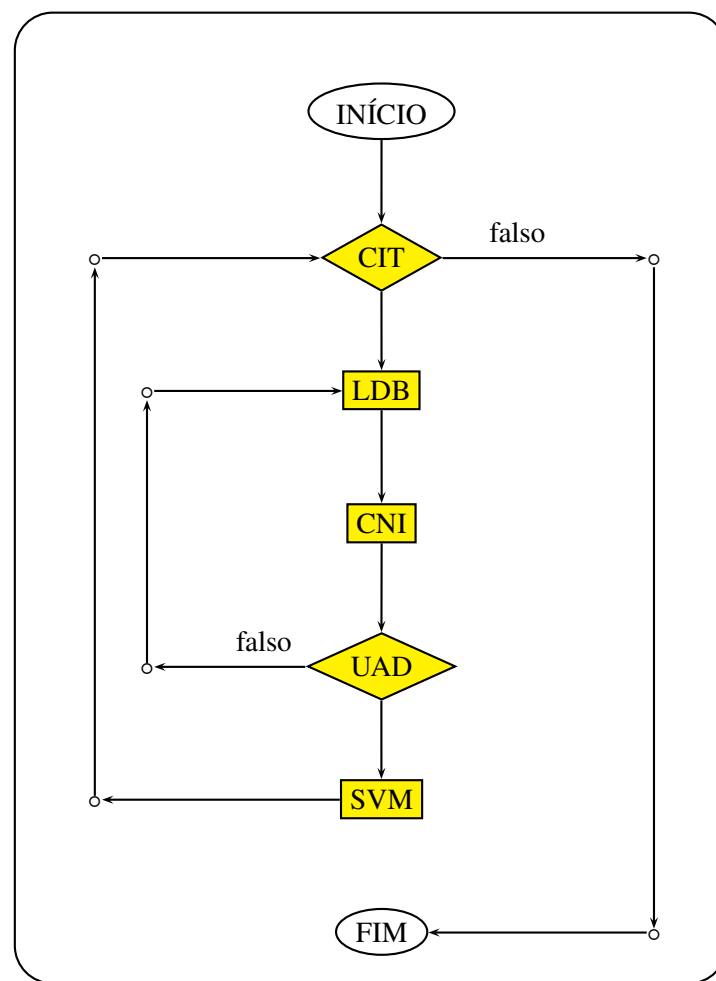


Figura 3.1 - Estrutura básica da estrutura proposta para treinamento do sistema de verificação de assinaturas manuscritas. As siglas estão explicadas ao longo do texto.

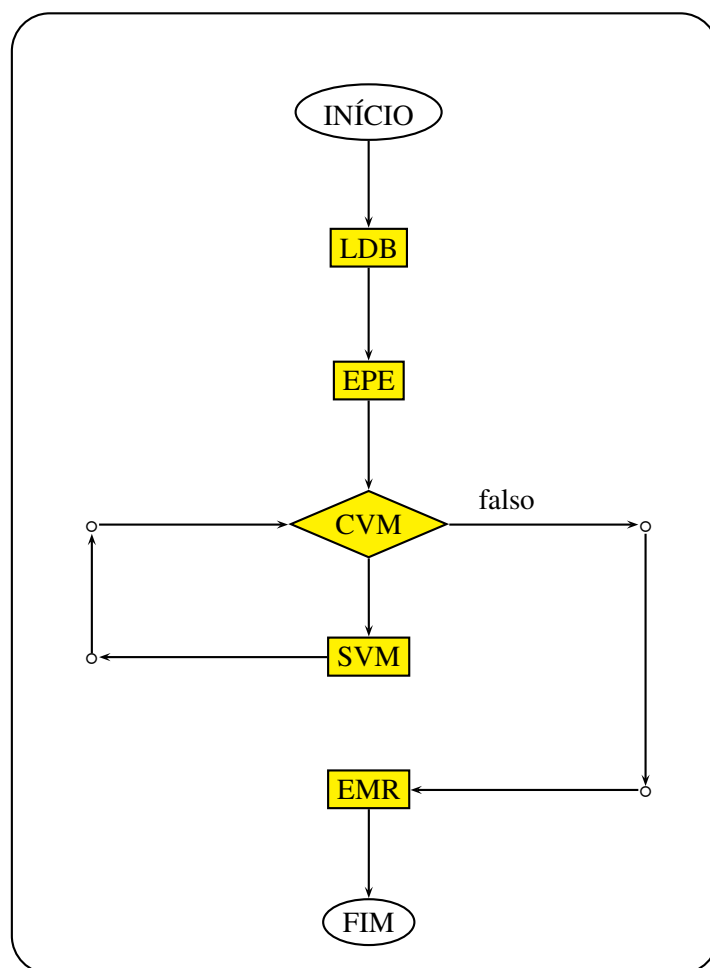


Figura 3.2 - Estrutura básica da estrutura proposta para aplicação pós-treinamento do sistema de verificação de assinaturas manuscritas. As siglas estão explicadas ao longo do texto.

Capítulo 4

Testes e Resultados

Neste capítulo, encontram-se os testes realizados, que foram divididos em diversos grupos, assim como os respectivos resultados obtidos. Cada um dos grupos de testes apresenta uma abordagem diferente em relação ao percentual de amostras alocadas para treinamento e teste do sistema.

4.1 Materiais e Métodos

Todos os sinais de assinaturas manuscritas utilizados foram capturados utilizando uma caneta com um microfone eletreto embutido. Este protótipo foi desenvolvido utilizando uma caneta comum, cabo de som estéreo e um plug P2 estéreo (Figura 4.1). Essas assinaturas, que foram utilizadas para treinamento e teste do sistema proposto, foram coletadas sob as mesmas circunstâncias, isto é, utilizando a mesma caneta e uma prancheta de acrílico comum (Figura 4.2).

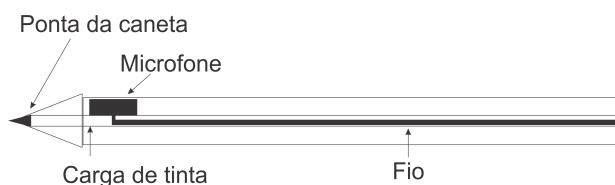


Figura 4.1 – Protótipo da caneta com microfone embutido



Figura 4.2 – Caneta com microfone embutido

O *software* utilizado para a coleta das assinaturas foi desenvolvido em linguagem Java e permitiu um melhor controle e agilidade no processo de coleta das assinaturas, além de garantir que todos os arquivos seriam gravados sob as mesmas circunstâncias de configuração. Em princípio, qualquer *software* de captura de áudio poderia ser empregado para a execução desta tarefa.

A base de dados foi separada por pastas nomeadas com o nome dos indivíduos participantes, e em cada uma das pastas foram armazenados os arquivos WAV, amostrados a uma taxa de 16000 Hz, 16-bits.

Os parâmetros utilizados nas experiências foram, conforme já descrito, as 25 energias obtidas a partir da Escala Bark. Ao serem submetidos ao processo de treinamento, os dados dos arquivos WAV são convertidos em um vetor de *double*, tratados e transformados em vetores de 25 valores. Eles são a base para treinamento da SVM, sendo que, a partir das SVMs de cada participante, o sistema faz a comparação entre suas respostas a partir da entrada de um arquivo WAV de assinatura desconhecido. A SVM considerada, pertencente ao participante atual, é a que retorna o valor mais próximo do esperado, ou seja, o valor 1.

4.2 Bateria de Testes

Abaixo, apresenta-se a bateria completa dos testes realizados, incluindo tabelas e gráficos, assim como os resultados obtidos, cuja discussão e interpretação, que levam às conclusões fi-

nais, encontram-se no próximo capítulo.

O primeiro e o quinto grupo de testes utilizaram 2 arquivos para treinamento, e o restante dos arquivos da base para teste, utilizou vários filtros e suportes *wavelet* diferentes. O segundo e o sexto utilizaram 3 arquivos para treinamento. O terceiro e o sétimo utilizaram 4 arquivos para treinamento e, por fim, o quarto e o último grupo utilizaram 5 arquivos para treinamento, ou seja, 50% das amostras inicialmente coletadas de cada indivíduo participante do projeto. A ideia, aqui, foi comparar os resultados obtidos pela variação do número de entradas em cada SVM de treinamento.

Os testes dos grupos 1 a 4 (tabelas 4.1, 4.2, 4.3 e 4.4) foram realizados decompondo-se os sinais de entrada e saída até o nível médio $\frac{1}{2} \log(n) \log(2)$ e os testes dos grupos 5 a 8 (tabelas 4.5, 4.6, 4.7 e 4.8) tiveram seus sinais decompostos até o nível máximo possível, a exemplo de (9, 15).

Os gráficos das figuras 4.3 e 4.4 apresentam um comparativo entre os percentuais de acertos obtidos com o emprego dos filtros *Wavelet* adotados no presente trabalho. O primeiro utiliza decomposição em nível médio na transformada *wavelet*, e o segundo, em nível máximo.

O próximo capítulo apresenta a discussão detalhada dos resultados apresentados nas tabelas e gráficos citados, assim como as conclusões e trabalhos futuros.

Tabela 4.1 - Testes do **grupo 1 (nível médio)** com 2 arquivos de treinamento, utilizando diversos filtros e suportes *wavelet*.

| Filtro | % de acertos | Nº de testes | Nº de acertos |
|-----------------|--------------|--------------|---------------|
| COIF30: | 42,37% | 118 | 50 |
| DAUB56: | 40,68% | 118 | 48 |
| DAUB58: | 40,68% | 118 | 48 |
| DAUB46: | 39,83% | 118 | 47 |
| DAUB48: | 39,83% | 118 | 47 |
| DAUB54: | 39,83% | 118 | 47 |
| DAUB66: | 39,83% | 118 | 47 |
| DAUB40: | 38,98% | 118 | 46 |
| DAUB44: | 38,98% | 118 | 46 |
| DAUB50: | 38,98% | 118 | 46 |
| DAUB52: | 38,98% | 118 | 46 |
| DAUB60: | 38,98% | 118 | 46 |
| DAUB64: | 38,98% | 118 | 46 |
| DAUB34: | 38,14% | 118 | 45 |
| DAUB36: | 38,14% | 118 | 45 |
| DAUB42: | 38,14% | 118 | 45 |
| DAUB62: | 38,14% | 118 | 45 |
| DAUB68: | 38,14% | 118 | 45 |
| DAUB70: | 38,14% | 118 | 45 |
| COIF6: | 38,14% | 118 | 45 |
| VAIDYANATHAN24: | 38,14% | 118 | 45 |
| DAUB4: | 37,29% | 118 | 44 |
| DAUB6: | 37,29% | 118 | 44 |
| DAUB38: | 37,29% | 118 | 44 |
| DAUB72: | 37,29% | 118 | 44 |
| DAUB28: | 36,44% | 118 | 43 |
| DAUB30: | 36,44% | 118 | 43 |
| DAUB32: | 36,44% | 118 | 43 |
| SYM16: | 36,44% | 118 | 43 |
| DAUB74: | 35,59% | 118 | 42 |
| HAAR: | 34,75% | 118 | 41 |
| DAUB76: | 34,75% | 118 | 41 |
| SYM8: | 34,75% | 118 | 41 |
| COIF12: | 34,75% | 118 | 41 |
| DAUB8: | 33,90% | 118 | 40 |
| DAUB26: | 33,90% | 118 | 40 |
| COIF24: | 33,90% | 118 | 40 |
| DAUB10: | 31,36% | 118 | 37 |
| DAUB14: | 31,36% | 118 | 37 |
| DAUB24: | 31,36% | 118 | 37 |
| COIF18: | 31,36% | 118 | 37 |
| DAUB12: | 30,51% | 118 | 36 |
| DAUB16: | 30,51% | 118 | 36 |
| DAUB20: | 30,51% | 118 | 36 |
| DAUB22: | 29,66% | 118 | 35 |
| BEYLKIN18: | 28,81% | 118 | 34 |
| DAUB18: | 26,27% | 118 | 31 |

Tabela 4.2 - Testes do **grupo 2 (nível médio)** com 3 arquivos de treinamento, utilizando diversos filtros e suportes *wavelet*.

| Filtro | % de acertos | Nº de testes | Nº de acertos |
|-----------------|--------------|--------------|---------------|
| DAUB76: | 49,51% | 103 | 51 |
| DAUB70: | 47,57% | 103 | 49 |
| DAUB74: | 46,60% | 103 | 48 |
| DAUB72: | 45,63% | 103 | 47 |
| COIF30: | 45,63% | 103 | 47 |
| VAIDYANATHAN24: | 45,63% | 103 | 47 |
| DAUB64: | 44,66% | 103 | 46 |
| DAUB66: | 44,66% | 103 | 46 |
| DAUB68: | 44,66% | 103 | 46 |
| DAUB46: | 43,69% | 103 | 45 |
| DAUB40: | 42,72% | 103 | 44 |
| DAUB42: | 42,72% | 103 | 44 |
| DAUB44: | 42,72% | 103 | 44 |
| DAUB48: | 42,72% | 103 | 44 |
| DAUB62: | 42,72% | 103 | 44 |
| DAUB14: | 41,75% | 103 | 43 |
| DAUB50: | 41,75% | 103 | 43 |
| DAUB54: | 41,75% | 103 | 43 |
| COIF24: | 41,75% | 103 | 43 |
| DAUB10: | 40,78% | 103 | 42 |
| DAUB28: | 40,78% | 103 | 42 |
| DAUB30: | 40,78% | 103 | 42 |
| DAUB38: | 40,78% | 103 | 42 |
| DAUB52: | 40,78% | 103 | 42 |
| DAUB60: | 40,78% | 103 | 42 |
| COIF6: | 40,78% | 103 | 42 |
| DAUB12: | 39,81% | 103 | 41 |
| DAUB32: | 39,81% | 103 | 41 |
| DAUB58: | 39,81% | 103 | 41 |
| DAUB36: | 38,83% | 103 | 40 |
| SYM16: | 38,83% | 103 | 40 |
| BEYLKIN18: | 38,83% | 103 | 40 |
| DAUB26: | 37,86% | 103 | 39 |
| DAUB34: | 37,86% | 103 | 39 |
| HAAR: | 36,89% | 103 | 38 |
| DAUB56: | 36,89% | 103 | 38 |
| DAUB4: | 35,92% | 103 | 37 |
| DAUB18: | 34,95% | 103 | 36 |
| DAUB20: | 33,98% | 103 | 35 |
| DAUB24: | 33,98% | 103 | 35 |
| DAUB22: | 33,01% | 103 | 34 |
| DAUB16: | 32,04% | 103 | 33 |
| DAUB6: | 31,07% | 103 | 32 |
| COIF18: | 31,07% | 103 | 32 |
| SYM8: | 27,18% | 103 | 28 |
| DAUB8: | 26,21% | 103 | 27 |
| COIF12: | 26,21% | 103 | 27 |

Tabela 4.3 - Testes do **grupo 3 (nível médio)** com 4 arquivos de treinamento, utilizando diversos filtros e suportes *wavelet*.

| Filtro | % de acertos | Nº de testes | Nº de acertos |
|-----------------|--------------|--------------|---------------|
| COIF30: | 47,73% | 88 | 42 |
| DAUB50: | 45,45% | 88 | 40 |
| DAUB56: | 45,45% | 88 | 40 |
| BEYLIKIN18: | 45,45% | 88 | 40 |
| DAUB48: | 44,32% | 88 | 39 |
| DAUB52: | 44,32% | 88 | 39 |
| DAUB54: | 44,32% | 88 | 39 |
| DAUB72: | 44,32% | 88 | 39 |
| DAUB74: | 44,32% | 88 | 39 |
| DAUB76: | 44,32% | 88 | 39 |
| COIF6: | 44,32% | 88 | 39 |
| DAUB58: | 43,18% | 88 | 38 |
| DAUB68: | 43,18% | 88 | 38 |
| VAIDYANATHAN24: | 43,18% | 88 | 38 |
| DAUB4: | 42,05% | 88 | 37 |
| DAUB46: | 42,05% | 88 | 37 |
| DAUB62: | 42,05% | 88 | 37 |
| DAUB70: | 42,05% | 88 | 37 |
| SYM16: | 42,05% | 88 | 37 |
| COIF24: | 42,05% | 88 | 37 |
| DAUB24: | 40,91% | 88 | 36 |
| DAUB44: | 40,91% | 88 | 36 |
| DAUB60: | 40,91% | 88 | 36 |
| DAUB6: | 39,77% | 88 | 35 |
| DAUB8: | 39,77% | 88 | 35 |
| DAUB10: | 39,77% | 88 | 35 |
| DAUB26: | 39,77% | 88 | 35 |
| DAUB28: | 39,77% | 88 | 35 |
| DAUB42: | 39,77% | 88 | 35 |
| DAUB64: | 39,77% | 88 | 35 |
| DAUB66: | 39,77% | 88 | 35 |
| DAUB16: | 38,64% | 88 | 34 |
| DAUB30: | 38,64% | 88 | 34 |
| DAUB32: | 38,64% | 88 | 34 |
| DAUB40: | 38,64% | 88 | 34 |
| SYM8: | 38,64% | 88 | 34 |
| DAUB12: | 37,50% | 88 | 33 |
| DAUB34: | 37,50% | 88 | 33 |
| DAUB36: | 37,50% | 88 | 33 |
| DAUB38: | 37,50% | 88 | 33 |
| COIF12: | 37,50% | 88 | 33 |
| HAAR: | 36,36% | 88 | 32 |
| DAUB14: | 36,36% | 88 | 32 |
| DAUB18: | 35,23% | 88 | 31 |
| DAUB22: | 35,23% | 88 | 31 |
| COIF18: | 34,09% | 88 | 30 |
| DAUB20: | 32,95% | 88 | 29 |

Tabela 4.4 - Testes do **grupo 4 (nível médio)** com 5 arquivos de treinamento, utilizando diversos filtros e suportes *wavelet*.

| Filtro | % de acertos | Nº de testes | Nº de acertos |
|-----------------|--------------|--------------|---------------|
| DAUB4: | 47,95% | 73 | 35 |
| SYM8: | 47,95% | 73 | 35 |
| COIF6: | 46,58% | 73 | 34 |
| COIF12: | 46,58% | 73 | 34 |
| VAIDYANATHAN24: | 46,58% | 73 | 34 |
| DAUB8: | 43,84% | 73 | 32 |
| DAUB10: | 43,84% | 73 | 32 |
| DAUB24: | 43,84% | 73 | 32 |
| BEYLKIN18: | 43,84% | 73 | 32 |
| DAUB18: | 42,47% | 73 | 31 |
| DAUB22: | 42,47% | 73 | 31 |
| DAUB20: | 41,10% | 73 | 30 |
| DAUB52: | 41,10% | 73 | 30 |
| DAUB70: | 41,10% | 73 | 30 |
| HAAR: | 39,73% | 73 | 29 |
| DAUB36: | 39,73% | 73 | 29 |
| DAUB38: | 39,73% | 73 | 29 |
| DAUB40: | 39,73% | 73 | 29 |
| DAUB74: | 39,73% | 73 | 29 |
| COIF30: | 39,73% | 73 | 29 |
| DAUB6: | 38,36% | 73 | 28 |
| DAUB12: | 38,36% | 73 | 28 |
| DAUB14: | 38,36% | 73 | 28 |
| DAUB28: | 38,36% | 73 | 28 |
| DAUB30: | 38,36% | 73 | 28 |
| DAUB32: | 38,36% | 73 | 28 |
| DAUB48: | 38,36% | 73 | 28 |
| DAUB50: | 38,36% | 73 | 28 |
| DAUB54: | 38,36% | 73 | 28 |
| DAUB58: | 38,36% | 73 | 28 |
| DAUB16: | 36,99% | 73 | 27 |
| DAUB34: | 36,99% | 73 | 27 |
| DAUB66: | 36,99% | 73 | 27 |
| DAUB68: | 36,99% | 73 | 27 |
| DAUB72: | 36,99% | 73 | 27 |
| DAUB76: | 36,99% | 73 | 27 |
| COIF24: | 36,99% | 73 | 27 |
| DAUB42: | 35,62% | 73 | 26 |
| DAUB56: | 35,62% | 73 | 26 |
| DAUB62: | 35,62% | 73 | 26 |
| DAUB64: | 35,62% | 73 | 26 |
| COIF18: | 35,62% | 73 | 26 |
| DAUB44: | 34,25% | 73 | 25 |
| DAUB46: | 34,25% | 73 | 25 |
| DAUB26: | 32,88% | 73 | 24 |
| DAUB60: | 32,88% | 73 | 24 |
| SYM16: | 32,88% | 73 | 24 |

Tabela 4.5 - Testes do **grupo 5 (nível máximo)** com 2 arquivos de treinamento, utilizando diversos filtros e suportes *wavelet*.

| Filtro | % de acertos | Nº de testes | Nº de acertos |
|-----------------|--------------|--------------|---------------|
| DAUB22: | 84,75% | 118 | 100 |
| DAUB28: | 83,90% | 118 | 99 |
| DAUB32: | 83,90% | 118 | 99 |
| DAUB40: | 83,90% | 118 | 99 |
| DAUB46: | 83,90% | 118 | 99 |
| BEYLKIN18: | 83,90% | 118 | 99 |
| DAUB20: | 83,05% | 118 | 98 |
| DAUB30: | 83,05% | 118 | 98 |
| DAUB48: | 83,05% | 118 | 98 |
| COIF30: | 83,05% | 118 | 98 |
| DAUB24: | 82,20% | 118 | 97 |
| DAUB38: | 82,20% | 118 | 97 |
| SYM16: | 82,20% | 118 | 97 |
| COIF24: | 82,20% | 118 | 97 |
| DAUB12: | 81,36% | 118 | 96 |
| DAUB14: | 81,36% | 118 | 96 |
| DAUB54: | 80,51% | 118 | 95 |
| DAUB58: | 80,51% | 118 | 95 |
| DAUB66: | 80,51% | 118 | 95 |
| COIF18: | 80,51% | 118 | 95 |
| VAIDYANATHAN24: | 80,51% | 118 | 95 |
| DAUB36: | 79,66% | 118 | 94 |
| DAUB44: | 79,66% | 118 | 94 |
| DAUB56: | 79,66% | 118 | 94 |
| DAUB74: | 79,66% | 118 | 94 |
| DAUB76: | 79,66% | 118 | 94 |
| DAUB50: | 78,81% | 118 | 93 |
| DAUB64: | 78,81% | 118 | 93 |
| DAUB42: | 77,97% | 118 | 92 |
| DAUB62: | 77,97% | 118 | 92 |
| DAUB68: | 77,97% | 118 | 92 |
| DAUB70: | 77,97% | 118 | 92 |
| DAUB72: | 77,97% | 118 | 92 |
| COIF12: | 77,97% | 118 | 92 |
| DAUB16: | 77,12% | 118 | 91 |
| DAUB52: | 77,12% | 118 | 91 |
| DAUB60: | 76,27% | 118 | 90 |
| DAUB34: | 75,42% | 118 | 89 |
| DAUB18: | 74,58% | 118 | 88 |
| DAUB6: | 73,73% | 118 | 87 |
| DAUB26: | 73,73% | 118 | 87 |
| SYM8: | 72,88% | 118 | 86 |
| COIF6: | 72,88% | 118 | 86 |
| DAUB10: | 69,49% | 118 | 82 |
| DAUB8: | 64,41% | 118 | 76 |
| DAUB4: | 59,32% | 118 | 70 |
| HAAR: | 42,37% | 118 | 50 |

Tabela 4.6 - Testes do **grupo 6 (nível máximo)** com 3 arquivos de treinamento, utilizando diversos filtros e suportes *wavelet*.

| Filtro | % de acertos | Nº de testes | Nº de acertos |
|-----------------|--------------|--------------|---------------|
| DAUB38: | 91,26% | 103 | 94 |
| COIF30: | 89,32% | 103 | 92 |
| DAUB22: | 87,38% | 103 | 90 |
| DAUB30: | 87,38% | 103 | 90 |
| DAUB56: | 87,38% | 103 | 90 |
| VAIDYANATHAN24: | 87,38% | 103 | 90 |
| DAUB20: | 86,41% | 103 | 89 |
| DAUB24: | 86,41% | 103 | 89 |
| DAUB32: | 86,41% | 103 | 89 |
| DAUB48: | 86,41% | 103 | 89 |
| DAUB58: | 86,41% | 103 | 89 |
| DAUB76: | 86,41% | 103 | 89 |
| SYM16: | 86,41% | 103 | 89 |
| BEYLKIN18: | 86,41% | 103 | 89 |
| DAUB64: | 85,44% | 103 | 88 |
| DAUB68: | 85,44% | 103 | 88 |
| DAUB16: | 84,47% | 103 | 87 |
| DAUB70: | 84,47% | 103 | 87 |
| COIF24: | 84,47% | 103 | 87 |
| DAUB14: | 83,50% | 103 | 86 |
| DAUB26: | 83,50% | 103 | 86 |
| DAUB28: | 83,50% | 103 | 86 |
| DAUB34: | 83,50% | 103 | 86 |
| DAUB50: | 83,50% | 103 | 86 |
| DAUB52: | 83,50% | 103 | 86 |
| DAUB60: | 83,50% | 103 | 86 |
| DAUB66: | 83,50% | 103 | 86 |
| COIF18: | 83,50% | 103 | 86 |
| DAUB40: | 82,52% | 103 | 85 |
| DAUB72: | 82,52% | 103 | 85 |
| DAUB74: | 82,52% | 103 | 85 |
| DAUB42: | 81,55% | 103 | 84 |
| DAUB44: | 81,55% | 103 | 84 |
| DAUB46: | 81,55% | 103 | 84 |
| DAUB54: | 80,58% | 103 | 83 |
| DAUB62: | 80,58% | 103 | 83 |
| SYM8: | 80,58% | 103 | 83 |
| COIF12: | 79,61% | 103 | 82 |
| DAUB10: | 78,64% | 103 | 81 |
| DAUB36: | 78,64% | 103 | 81 |
| DAUB12: | 77,67% | 103 | 80 |
| DAUB6: | 76,70% | 103 | 79 |
| DAUB18: | 75,73% | 103 | 78 |
| COIF6: | 70,87% | 103 | 73 |
| DAUB8: | 69,90% | 103 | 72 |
| DAUB4: | 64,08% | 103 | 66 |
| HAAR: | 60,19% | 103 | 62 |

Tabela 4.7 - Testes do **grupo 7 (nível máximo)** com 4 arquivos de treinamento, utilizando diversos filtros e suportes *wavelet*.

| Filtro | % de acertos | Nº de testes | Nº de acertos |
|-----------------|--------------|--------------|---------------|
| DAUB38: | 92,05% | 88 | 81 |
| DAUB68: | 92,05% | 88 | 81 |
| DAUB76: | 92,05% | 88 | 81 |
| DAUB36: | 90,91% | 88 | 80 |
| DAUB54: | 90,91% | 88 | 80 |
| DAUB56: | 90,91% | 88 | 80 |
| DAUB70: | 90,91% | 88 | 80 |
| VAIDYANATHAN24: | 90,91% | 88 | 80 |
| DAUB40: | 89,77% | 88 | 79 |
| DAUB58: | 89,77% | 88 | 79 |
| DAUB22: | 88,64% | 88 | 78 |
| DAUB24: | 88,64% | 88 | 78 |
| DAUB28: | 88,64% | 88 | 78 |
| DAUB30: | 88,64% | 88 | 78 |
| DAUB48: | 88,64% | 88 | 78 |
| DAUB50: | 88,64% | 88 | 78 |
| DAUB52: | 88,64% | 88 | 78 |
| DAUB62: | 88,64% | 88 | 78 |
| DAUB66: | 88,64% | 88 | 78 |
| DAUB72: | 88,64% | 88 | 78 |
| DAUB74: | 88,64% | 88 | 78 |
| DAUB16: | 87,50% | 88 | 77 |
| DAUB34: | 87,50% | 88 | 77 |
| DAUB46: | 87,50% | 88 | 77 |
| DAUB60: | 87,50% | 88 | 77 |
| BEYLKIN18: | 87,50% | 88 | 77 |
| DAUB26: | 86,36% | 88 | 76 |
| DAUB42: | 86,36% | 88 | 76 |
| DAUB44: | 86,36% | 88 | 76 |
| DAUB32: | 85,23% | 88 | 75 |
| DAUB64: | 85,23% | 88 | 75 |
| COIF30: | 85,23% | 88 | 75 |
| DAUB14: | 84,09% | 88 | 74 |
| DAUB20: | 84,09% | 88 | 74 |
| DAUB18: | 82,95% | 88 | 73 |
| SYM16: | 81,82% | 88 | 72 |
| COIF24: | 81,82% | 88 | 72 |
| SYM8: | 79,55% | 88 | 70 |
| DAUB6: | 78,41% | 88 | 69 |
| DAUB12: | 78,41% | 88 | 69 |
| COIF18: | 78,41% | 88 | 69 |
| DAUB8: | 76,14% | 88 | 67 |
| COIF6: | 73,86% | 88 | 65 |
| DAUB10: | 72,73% | 88 | 64 |
| COIF12: | 72,73% | 88 | 64 |
| DAUB4: | 62,50% | 88 | 55 |
| HAAR: | 57,95% | 88 | 51 |

Tabela 4.8 - Testes do **grupo 8 (nível máximo)** com 5 arquivos de treinamento, utilizando diversos filtros e suportes *wavelet*.

| Filtro | % de acertos | Nº de testes | Nº de acertos |
|-----------------|--------------|--------------|---------------|
| DAUB68: | 91,78% | 73 | 67 |
| DAUB76: | 91,78% | 73 | 67 |
| VAIDYANATHAN24: | 91,78% | 73 | 67 |
| DAUB54: | 90,41% | 73 | 66 |
| DAUB58: | 90,41% | 73 | 66 |
| DAUB70: | 90,41% | 73 | 66 |
| BEYLKIN18: | 90,41% | 73 | 66 |
| DAUB26: | 89,04% | 73 | 65 |
| DAUB30: | 89,04% | 73 | 65 |
| DAUB32: | 89,04% | 73 | 65 |
| DAUB38: | 89,04% | 73 | 65 |
| DAUB40: | 89,04% | 73 | 65 |
| DAUB44: | 89,04% | 73 | 65 |
| DAUB48: | 89,04% | 73 | 65 |
| DAUB56: | 89,04% | 73 | 65 |
| DAUB66: | 89,04% | 73 | 65 |
| DAUB22: | 87,67% | 73 | 64 |
| DAUB34: | 87,67% | 73 | 64 |
| DAUB36: | 87,67% | 73 | 64 |
| DAUB50: | 87,67% | 73 | 64 |
| DAUB52: | 87,67% | 73 | 64 |
| DAUB60: | 87,67% | 73 | 64 |
| DAUB62: | 87,67% | 73 | 64 |
| DAUB74: | 87,67% | 73 | 64 |
| DAUB24: | 86,30% | 73 | 63 |
| DAUB42: | 86,30% | 73 | 63 |
| DAUB72: | 84,93% | 73 | 62 |
| DAUB16: | 83,56% | 73 | 61 |
| DAUB64: | 83,56% | 73 | 61 |
| DAUB14: | 82,19% | 73 | 60 |
| DAUB18: | 80,82% | 73 | 59 |
| DAUB28: | 80,82% | 73 | 59 |
| DAUB46: | 80,82% | 73 | 59 |
| DAUB8: | 79,45% | 73 | 58 |
| COIF24: | 79,45% | 73 | 58 |
| COIF30: | 79,45% | 73 | 58 |
| SYM16: | 78,08% | 73 | 57 |
| SYM8: | 76,71% | 73 | 56 |
| DAUB10: | 75,34% | 73 | 55 |
| COIF6: | 75,34% | 73 | 55 |
| COIF18: | 75,34% | 73 | 55 |
| DAUB6: | 73,97% | 73 | 54 |
| DAUB20: | 72,60% | 73 | 53 |
| DAUB12: | 71,23% | 73 | 52 |
| COIF12: | 71,23% | 73 | 52 |
| HAAR: | 61,64% | 73 | 45 |
| DAUB4: | 58,90% | 73 | 43 |

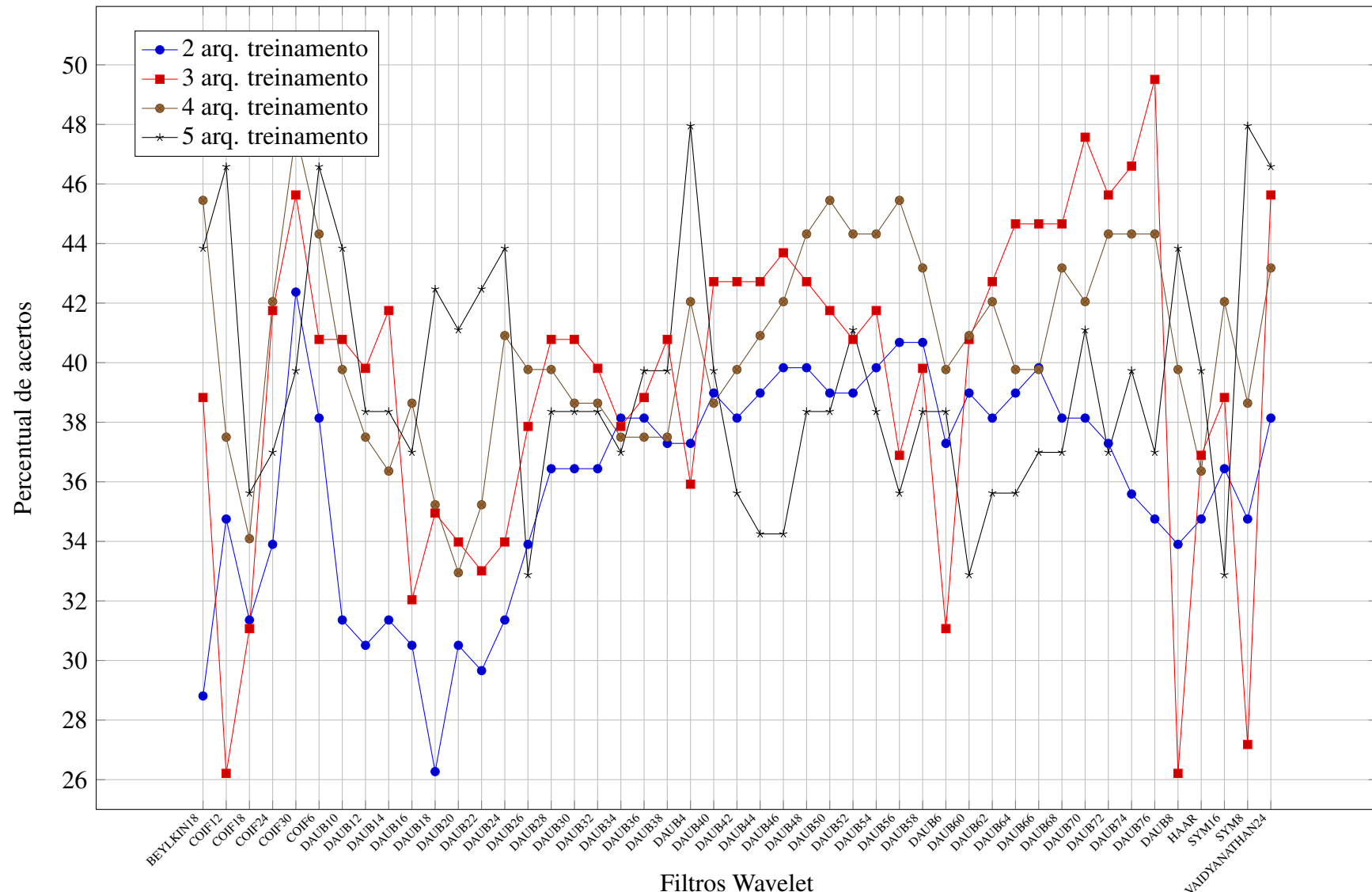


Figura 4.3 - Gráfico de aproveitamento dos filtros utilizando nível médio de decomposição da transformada Wavelet.

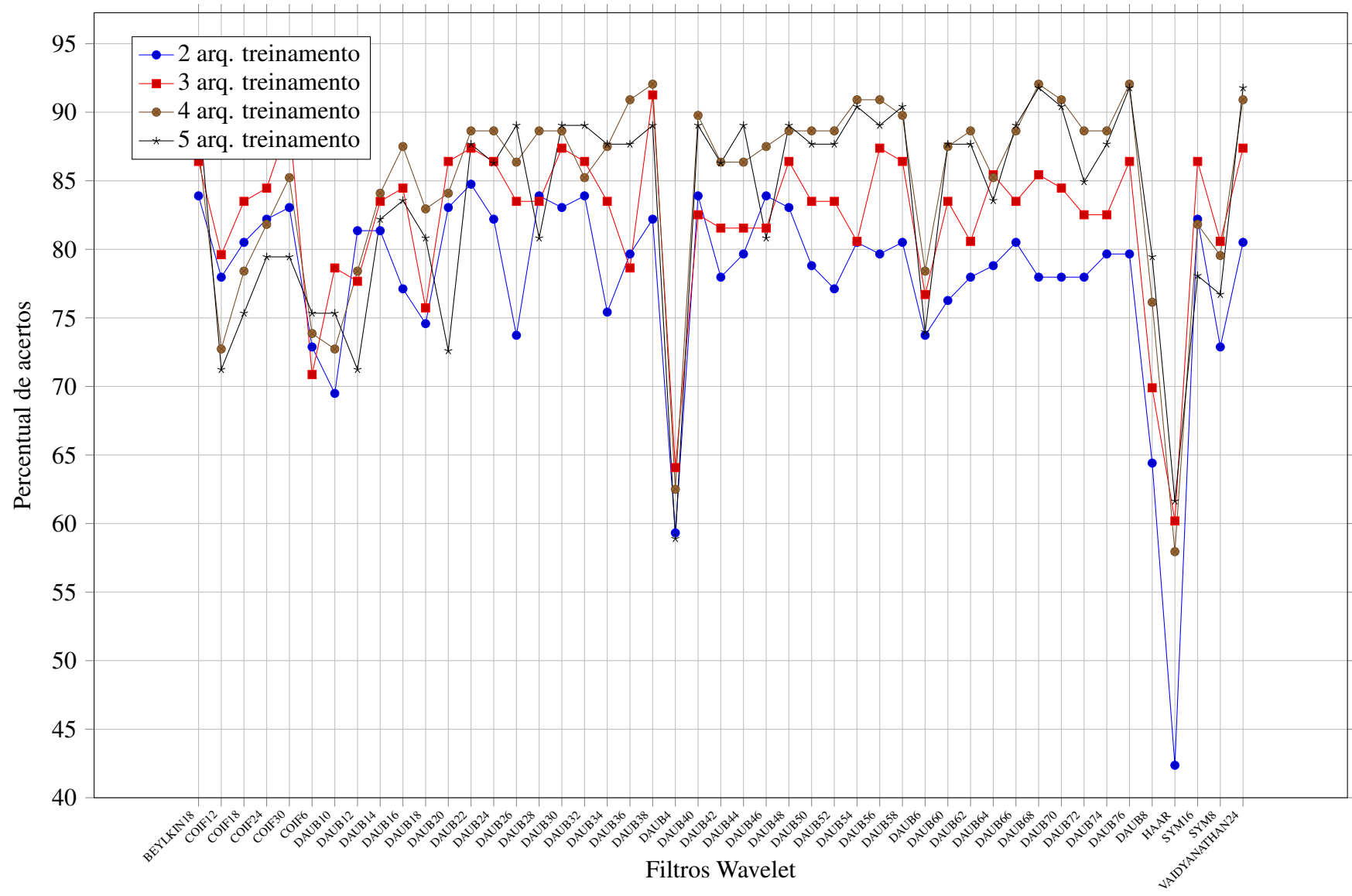


Figura 4.4 - Gráfico de aproveitamento dos filtros utilizando nível máximo de decomposição da transformada Wavelet.

Capítulo 5

Conclusões e Trabalhos Futuros

Após uma revisão bibliográfica de importantes conceitos empregados no presente trabalho, apresentou-se um sistema não-invasivo para biometria, baseado no ruído emitido pela caneta ao assinar, utilizando-se, na análise, os parâmetros extraídos por uma caneta especial com microfone eletreto embutido. O sistema foi projetado com base em uma estrutura composta por uma SVM para cada usuário integrante do banco de assinaturas do sistema com *kernels* Gaussianos, associados com uma rotina de decisão.

Nesta abordagem proposta, cada uma das classes consideradas fica a cargo de uma SVM exclusiva, isto é, cada SVM é treinada levando em conta apenas uma das classes. Essa concepção faz com que a ideia original por trás da SVM seja modificada, pois, em vez de determinar um hiperplano ótimo para separar as classes, o treinamento da forma como foi realizado faz com que um processo de otimização seja implementado, buscando reduzir ao máximo a distância dos pontos no espaço até o ponto objetivo, que foi definido como 1 no caso do indivíduo representado pela referida SVM.

Por fim, no momento da aplicação do sistema para realizar uma classificação, a rotina de decisão retrocitada cuida de verificar qual das SVMs tem sua função objetivo mais próxima dos parâmetros de entrada analisados.

Os testes realizados com os parâmetros extraídos dos arquivos de dados brutos, transformados nas 25 energias predominantes do sinal, mostraram-se eficientes no reconhecimento de usuários por meio dos ruídos produzidos por suas assinaturas. Os resultados mais promissores utilizam 4 arquivos para treinamento.

Embora não tenham sido reportados com mais detalhes, foram realizados diversos testes com outros tipos de parâmetros de entrada no sistema classificador, tais como as entropias do sinal. Essas abordagens não ofereceram, entretanto, resultados nem sequer próximos dos melhores resultados obtidos com a abordagem proposta. Ainda na abordagem proposta, a variação dos *kernels* das SVMs utilizadas não forneceu resultados melhores do que o *kernel* Gaussiano.

Observou-se também que, conforme reportado anteriormente, a variação dos filtros *wavelet* no cálculo das energias das sub-bandas críticas de frequência causou alterações pouco significantes nos resultados, o que mostrou que o classificador projetado se adaptou bem a tais mudanças. De qualquer forma, foi observado que os melhores resultados nas classificações foram obtidos com o uso dos filtros da família Daubechies de suporte a partir de 38 (figura 4.4). Isso significa que as respostas em frequência próximas das ideais e as respostas em fase quase linear, que são as características dessas famílias de filtros, são importantes, isto é, os conteúdos de frequências teoricamente especificados para as bandas críticas devem ser respeitados e, além disso, o atraso quase constante inerente ao processo de filtragem com filtros de fase quase linear também é fator importante. A faixa adotada para o tamanho do suporte dos filtros, que equilibra resolução no tempo e na frequência, deve ser levada em conta.

De maneira geral, foi possível observar uma considerável capacidade de generalização do sistema de classificação proposto. Com base na tabela 4.7 e no gráfico da figura 4.4 do capítulo anterior, é possível notar que o uso de 4 arquivos de assinaturas para treinar o sistema já foi suficiente para a obtenção de um alto índice de acertos nas classificações. É importante também salientar que, quanto menor for o número de assinaturas necessárias para treinar o sistema, menos penoso e mais rápido será o processo de inclusão dos indivíduos no sistema. Além disso, é perfeitamente possível a implementação do sistema aqui proposto em associação com outro sistema de biometria, como o de verificação da imagem da assinatura, também utilizando processamento de sinais. Esta abordagem poderia facilmente resultar em um sistema com maiores taxas de reconhecimento, visto que, nossos resultados utilizando a abordagem proposta já mostram reconhecimento por volta de 90%. Fato este que permitiria uma redução do número de assinaturas para a formação da base de dados de treinamento, para 3 ou 2 arquivos, no caso da adoção de mais de um processo de biometria.

Em termos de trabalhos futuros, pretende-se aprimorar o sistema proposto, aumentando o número de elementos integrantes da base de dados (usuários e suas assinaturas), além de desenvolver em *hardware* (DSP ou FPGA) o projeto de caneta, base para assinatura e aplicativo de gerenciamento. Outra proposta para trabalhos futuros está centrada na inclusão de parâmetros não acústicos, como em (9), que devem permitir melhora no desempenho do sistema proposto.

Referências

- 1 BRAVO, J.C.L. *Autenticação pessoal baseada no som da assinatura.* 2006. 113p. Dissertação (Mestrado). Faculdade de Engenharia Elétrica e de Computação, Universidade Estadual de Campinas, Campinas, 2006.
- 2 RATHA, N.; BOLLE, R. *Automatic fingerprint recognition systems.* New York: Springer-Verlag, 2004.
- 3 VIGLIAZZI, D. *Biometria: medidas de segurança.* Florianópolis: Visual Books, 2006.
- 4 WILSON, C.; BOLLE, R. *Vein pattern recognition: a privacy-enhancing biometric.* Boca Raton: CRC Press, 2010.
- 5 NIXON, M.S.; TAN, T.N.; CHELLAPPA, R. *Human identification based on gait.* New York: Springer, 2006.
- 6 BORGES, M.E. *Algoritmo genético para otimização de arquiteturas de redes MLP.* Disponível em: <<http://www.borges-solutions.com/algoritmo-genetico-para-otimizacao-de-arquiteturas-de-redes-mlp/>>. Acesso em: 20 fev. 2013.
- 7 DENG, L.; O'SHAUGHNESSY, O. *Speech processing: a dynamic and optimization-oriented approach.* New York: Marcel Dekker, 2003.
- 8 SILVA, I.N.; SPATTI, D.H.; FLAUZINO R.A. *Redes neurais artificiais: para engenharia e ciências aplicadas.* São Paulo: Artliber, 2010.
- 9 SOUZA, L.M. *Detecção inteligente de patologias na laringe baseada em máquinas de vetores de suporte e na transformada wavelet.* 2010. 102p. Dissertação (Mestrado em Ciências) - Instituto de Física de São Carlos, Universidade de São Paulo, São Carlos, 2010.
- 10 BARANOSKI, F. L. *Verificação da autoria de documentos manuscritos usando SVM.* 2005. 88p. Dissertação (Mestrado) - Programa de Pós-Graduação em Informática Aplicada, Pontifícia Universidade Católica do Paraná, Curitiba, 2005.
- 11 LORENA, A. C.; CARVALHO, A. C. P. L. F. Uma introdução às support vector machines. *Revista de Informática Teórica e Aplicada*, v.14, n.2, p. 43-67, 2007.
- 12 BOSI, M; GOLDBERG, R. E. *Introduction to digital audio coding and standards.* Boston-USA: Kluwer Academic Press, 2003.

- 13 MEYER, P.L. *Probabilidade*: aplicações à estatística. Rio de Janeiro: LTC, 1983.
- 14 LATHI, B.P. *Sinais e sistemas lineares*. 2. ed. Porto Alegre: Bookman, 2008.
- 15 FONSECA, E.S. *Wavelets, predição linear e LS-SVM aplicados na análise e classificação de sinais de vozes patológicas*. 2008. 107p. Tese (Doutorado) - Escola de Engenharia de São Carlos, Universidade de São Paulo, São Carlos, 2008.
- 16 BARBON JUNIOR, S. *Dynamic time warping baseado na transformada wavelet*. 2007. 113p. Dissertação (Mestrado em Ciências) - Instituto de Física de São Carlos, Universidade de São Paulo, São Carlos, 2007.
- 17 VIEIRA, L. S. *Conversão de voz baseada na transformada wavelet*. 2008. 91p. Dissertação (Mestrado em Ciências) - Instituto de Física de São Carlos, Universidade de São Paulo, São Carlos, 2008.
- 18 FANTINATO, P. C. *Segmentação de voz baseada na análise fractal e na transformada wavelet*. 2009. 123p. Dissertação (Mestrado) - Instituto de Física de São Carlos, Universidade de São Paulo, São Carlos, 2009.
- 19 ADDISON, P. S. *The illustrated Wavelet transform handbook: introductory theory and applications in science, engineering, medicine and finance*. Edinburg-UK: Institute of Physics Publishing, 2002.
- 20 WALKER, J. S. *A primer on wavelets and their scientific applications*. Whashington-USA: Chapman and Hall/CRC, 1999.
- 21 JENSEN, A. et al. *Ripples in mathematics: the discrete wavelet transform*. New York-USA: Springer-Verlag, 2000.
- 22 HAYKIN, S.; VEEN, B. V. *Sinais e sistemas*. Porto Alegre: Bookman, 2002.
- 23 AKAY, M. *Time-frequency and wavelets in biomedical signal processing*. New York: IEEE Press, 1998.
- 24 WILLIAMS, J. R.; AMARATUNGA, K. Introduction to wavelets in engineering. *International Journal for Numerical Methods in Engineering*, v. 37, n.1, p. 2365-2388, 1994.
- 25 LIPSCHUTZ, S. *Álgebra linear*. 3. ed. São Paulo: Makron Books, 1994.
- 26 STRANG, G.; NGUYEN, T. *Wavelets and filter-banks*. Wellesley: Wellesley-Cambridge Academic Press, 1997.
- 27 DEITEL H.M. at. al. *Advanced Java 2 platform: how to program*. Upper Saddle River: Prentice Hall, 2001.

Apêndice I - Coeficientes dos filtros *wavelet* utilizados nas experiências.

Coeficientes referentes aos filtros $h[\cdot]$ (passa-baixas de análise).

- Haar :
 $\{0.7071067, 0.7071067\};$
- Daub4 :
 $\{ 4.82962913144e-01, 8.36516303737e-01, 2.24143868042e-01, -1.29409522551e-01 \};$
- Daub6 :
 $\{ 3.32670552950e-01, 8.06891509311e-01, 4.59877502118e-01, -1.35011020010e-01, -8.54412738820e-02, 3.52262918857e-02 \};$
- Daub8 :
 $\{ 2.30377813308e-01, 7.14846570552e-01, 6.30880767929e-01, -2.79837694168e-02, -1.87034811719e-01, 3.08413818355e-02, 3.28830116668e-02, -1.05974017850e-02 \};$
- Daub10 :
 $\{ 1.60102397974e-01, 6.03829269797e-01, 7.24308528437e-01, 1.38428145901e-01, -2.42294887066e-01, -3.22448695846e-02, 7.75714938400e-02, -6.24149021279e-03, -1.25807519990e-02, 3.33572528547e-03 \};$
- Daub12 :
 $\{ 1.11540743350e-01, 4.94623890398e-01, 7.51133908021e-01, 3.15250351709e-01, -2.26264693965e-01, -1.29766867567e-01, 9.75016055873e-02, 2.75228655303e-02, -3.15820393174e-02, 5.53842201161e-04, 4.77725751094e-03, -1.07730108530e-03 \};$
- Daub14 :
 $\{ 7.78520540850e-02, 3.96539319481e-01, 7.29132090846e-01, 4.69782287405e-01, -1.43906003928e-01, -2.24036184993e-01, 7.13092192668e-02, 8.06126091510e-02, -3.80299369350e-02, -1.65745416306e-02, 1.25509985560e-02, 4.29577972921e-04, -1.80164070404e-03, 3.53713799974e-04 \};$
- Daub16 :
 $\{ 5.44158422431e-02, 3.12871590914e-01, 6.75630736297e-01, 5.85354683654e-01, -1.58291052563e-02, -2.84015542961e-01, 4.72484573913e-04, 1.28747426620e-01, -1.73693010018e-02, -4.40882539307e-02, 1.39810279173e-02, 8.74609404740e-03, -4.87035299345e-03, -3.91740373376e-04, 6.75449406450e-04, -1.17476784124e-04 \};$
- Daub18 :
 $\{ 3.80779473638e-02, 2.43834674612e-01, 6.04823123690e-01, 6.57288078051e-01, 1.33197385825e-01, -2.93273783279e-01, -9.68407832229e-02, 1.48540749338e-01, 3.07256814793e-02, -6.76328290613e-02, 2.50947114831e-04, 2.23616621236e-02, -4.72320475775e-03, -4.28150368246e-03, 1.84764688305e-03, 2.30385763523e-04, -2.51963188942e-04, 3.93473203162e-05 \};$

- Daub20 :

$$\{ 2.66700579005e-02, 1.88176800077e-01, 5.27201188931e-01, 6.88459039453e-01, 2.81172343660e-01, -2.49846424327e-01, -1.95946274377e-01, 1.27369340335e-01, 9.30573646035e-02, -7.13941471663e-02, -2.94575368218e-02, 3.32126740593e-02, 3.60655356695e-03, -1.07331754833e-02, 1.39535174705e-03, 1.99240529518e-03, -6.85856694959e-04, -1.16466855129e-04, 9.35886703200e-05, -1.32642028945e-05 \};$$
- Daub22 :

$$\{ 1.86942977614e-02, 1.44067021150e-01, 4.49899764356e-01, 6.85686774916e-01, 4.11964368947e-01, -1.62275245027e-01, -2.74230846817e-01, 6.60435881966e-02, 1.49812012466e-01, -4.64799551166e-02, -6.64387856950e-02, 3.13350902190e-02, 2.08409043601e-02, -1.53648209062e-02, -3.34085887301e-03, 4.92841765605e-03, -3.08592858815e-04, -8.93023250666e-04, 2.49152523552e-04, 5.44390746993e-05, -3.46349841869e-05, 4.49427427723e-06 \};$$
- Daub24 :

$$\{ 1.31122579572e-02, 1.09566272821e-01, 3.77355135214e-01, 6.57198722579e-01, 5.15886478427e-01, -4.47638856537e-02, -3.16178453752e-01, -2.37792572560e-02, 1.82478605927e-01, 5.35956967435e-03, -9.64321200965e-02, 1.08491302558e-02, 4.15462774950e-02, -1.22186490697e-02, -1.28408251983e-02, 6.71149900879e-03, 2.24860724099e-03, -2.17950361862e-03, 6.54512821250e-06, 3.88653062820e-04, -8.85041092082e-05, -2.42415457570e-05, 1.27769522193e-05, -1.52907175806e-06 \};$$
- Daub26 :

$$\{ 9.20213353896e-03, 8.28612438729e-02, 3.11996322160e-01, 6.11055851158e-01, 5.88889570431e-01, 8.69857261796e-02, -3.14972907711e-01, -1.24576730750e-01, 1.79476079429e-01, 7.29489336567e-02, -1.05807618187e-01, -2.64884064753e-02, 5.61394771002e-02, 2.37997225405e-03, -2.38314207103e-02, 3.92394144879e-03, 7.25558940161e-03, -2.76191123465e-03, -1.31567391189e-03, 9.32326130867e-04, 4.92515251262e-05, -1.65128988556e-04, 3.06785375793e-05, 1.04419305714e-05, -4.70041647936e-06, 5.22003509845e-07 \};$$
- Daub28 :

$$\{ 6.46115346008e-03, 6.23647588493e-02, 2.54850267792e-01, 5.54305617940e-01, 6.31187849104e-01, 2.18670687758e-01, -2.71688552278e-01, -2.18033529993e-01, 1.38395213864e-01, 1.39989016584e-01, -8.67484115681e-02, -7.15489555040e-02, 5.52371262592e-02, 2.69814083079e-02, -3.01853515403e-02, -5.61504953035e-03, 1.27894932663e-02, -7.46218989268e-04, -3.84963886802e-03, 1.06169108560e-03, 7.08021154235e-04, -3.86831947312e-04, -4.17772457703e-05, 6.87550425269e-05, -1.03372091845e-05, -4.38970490178e-06, 1.72499467536e-06, -1.78713996831e-07 \};$$
- Daub30 :

$$\{ 4.53853736157e-03, 4.67433948927e-02, 2.06023863986e-01, 4.92631771708e-01, 6.45813140357e-01, 3.39002535454e-01, -1.93204139609e-01, -2.88882596566e-01, 6.52829528487e-02, 1.90146714007e-01, -3.96661765557e-02, -1.11120936037e-01, 3.38771439235e-02, 5.47805505845e-02, -2.57670073284e-02, -2.08100501696e-02, 1.50839180278e-02, 5.10100036040e-03, -6.48773456031e-03, -2.41756490761e-04, 1.94332398038e-03, -3.73482354137e-04, -3.59565244362e-04, 1.55896489920e-04, 2.57926991553e-05, -2.81332962660e-05, 3.36298718173e-06, 1.81127040794e-06, -6.31688232588e-07, 6.13335991330e-08 \};$$
- Daub32 :

$$\{ 3.18922092534e-03, 3.49077143236e-02, 1.65064283488e-01, 4.30312722846e-01, 6.37356332083e-01, 4.40290256886e-01, -8.97510894024e-02, -3.27063310527e-01, -2.79182081330e-02, 2.11190693947e-01 \};$$

01, 2.73402637527e-02, -1.32388305563e-01, -6.23972275247e-03, 7.59242360442e-02, -7.58897436885e-03, -3.68883976917e-02, 1.02976596409e-02, 1.39937688598e-02, -6.99001456341e-03, -3.64427962149e-03, 3.12802338120e-03, 4.07896980849e-04, -9.41021749359e-04, 1.14241520038e-04, 1.74787245225e-04, -6.10359662141e-05, -1.39456689882e-05, 1.13366086612e-05, -1.04357134231e-06, -7.36365678545e-07, 2.30878408685e-07, -2.10933963010e-08};

- Daub34 :
 $\{ 2.24180700103e-03, 2.59853937036e-02, 1.31214903307e-01, 3.70350724152e-01, 6.10996615684e-01, 5.18315764056e-01, 2.73149704032e-02, -3.28320748363e-01, -1.26599752215e-01, 1.97310589565e-01, 1.01135489177e-01, -1.26815691778e-01, -5.70914196316e-02, 8.11059866541e-02, 2.23123361781e-02, -4.69224383892e-02, -3.27095553581e-03, 2.27336765839e-02, -3.04298998135e-03, -8.60292152032e-03, 2.96799669152e-03, 2.30120524215e-03, -1.43684530480e-03, -3.28132519409e-04, 4.39465427768e-04, -2.56101095665e-05, -8.20480320245e-05, 2.31868137987e-05, 6.99060098507e-06, -4.50594247722e-06, 3.01654960999e-07, 2.95770093331e-07, -8.42394844600e-08, 7.26749296856e-09 \}$
- Daub36 :
 $\{ 1.57631021844e-03, 1.92885317241e-02, 1.03588465822e-01, 3.14678941337e-01, 5.71826807766e-01, 5.71801654888e-01, 1.47223111969e-01, -2.93654040736e-01, -2.16480934005e-01, 1.49533975565e-01, 1.67081312763e-01, -9.23318841508e-02, -1.06752246659e-01, 6.48872162119e-02, 5.70512477385e-02, -4.45261419029e-02, -2.37332103958e-02, 2.66707059264e-02, 6.26216795430e-03, -1.30514809466e-02, 1.18630033858e-04, 4.94334360546e-03, -1.11873266699e-03, -1.34059629833e-03, 6.28465682965e-04, 2.13581561910e-04, -1.98648552311e-04, -1.53591712353e-07, 3.74123788074e-05, -8.52060253744e-06, -3.33263447888e-06, 1.76871298362e-06, -7.69163268988e-08, -1.17609876702e-07, 3.06883586304e-08, -2.50793445494e-09 \}$
- Daub38 :
 $\{ 1.10866976318e-03, 1.42810984507e-02, 8.12781132654e-02, 2.64388431740e-01, 5.24436377464e-01, 6.01704549127e-01, 2.60894952651e-01, -2.28091394215e-01, -2.85838631755e-01, 7.46522697081e-02, 2.12349743306e-01, -3.35185419023e-02, -1.42785695038e-01, 2.75843506256e-02, 8.69067555558e-02, -2.65012362501e-02, -4.56742262772e-02, 2.16237674095e-02, 1.93755498891e-02, -1.3983886785e-02, -5.86692228101e-03, 7.04074736710e-03, 7.68954359257e-04, -2.68755180070e-03, 3.41808653458e-04, 7.35802520505e-04, -2.60676135678e-04, -1.24600791734e-04, 8.71127046721e-05, 5.10595048707e-06, -1.66401762971e-05, 3.01096431629e-06, 1.53193147669e-06, -6.86275565776e-07, 1.44708829879e-08, 4.63693777578e-08, -1.11640206703e-08, 8.66684883899e-10 \}$
- Daub40 :
 $\{ 7.79953613666e-04, 1.05493946249e-02, 6.34237804590e-02, 2.19942113551e-01, 4.72696185310e-01, 6.10493238938e-01, 3.61502298739e-01, -1.39212088011e-01, -3.26786800434e-01, -1.67270883090e-02, 2.28291050819e-01, 3.98502464577e-02, -1.55458750707e-01, -2.47168273386e-02, 1.02291719174e-01, 5.63224685730e-03, -6.17228996246e-02, 5.87468181181e-03, 3.22942995307e-02, -8.78932492390e-03, -1.38105261371e-02, 6.72162730225e-03, 4.42054238704e-03, -3.58149425960e-03, -8.31562172822e-04, 1.39255961932e-03, -5.34975984399e-05, -3.85104748699e-04, 1.01532889736e-04, 6.77428082837e-05, -3.71058618339e-05, -4.37614386218e-06, 7.24124828767e-06, -1.01199401001e-06, -6.84707959700e-07, 2.63392422627e-07, 2.01432202355e-10, -1.81484324829e-08, 4.05612705555e-09, -2.99883648961e-10 \}$
- Daub42 :
 $\{ 5.48822509852e-04, 7.77663905235e-03, 4.92477715381e-02, 1.81359625440e-01, 4.19687944939e-01 \}$

01, 6.01506094935e-01, 4.44590451927e-01, -3.57229196172e-02, -3.35664089530e-01, -1.12397071568e-01, 2.11564527680e-01, 1.15233298439e-01, -1.39940424932e-01, -8.17759429808e-02, 9.66003903237e-02, 4.57234057492e-02, -6.49775048937e-02, -1.86538592021e-02, 3.97268354278e-02, 3.35775639033e-03, -2.08920536779e-02, 2.40347092080e-03, 8.98882438197e-03, -2.89133434858e-03, -2.95837403893e-03, 1.71660704063e-03, 6.39418500512e-04, -6.90671117082e-04, -3.19640627768e-05, 1.93664650416e-04, -3.63552025008e-05, -3.49966598498e-05, 1.53548250927e-05, 2.79033053981e-06, -3.09001716454e-06, 3.16609544236e-07, 2.99213663046e-07, -1.00040087903e-07, -2.25401497467e-09, 7.05803354123e-09, -1.47195419765e-09, 1.03880557102e-10};

- Daub44 :

{ 3.86263231491e-04, 5.72185463133e-03, 3.80699372364e-02, 1.48367540890e-01, 3.67728683446e-01, 5.78432731009e-01, 5.07901090622e-01, 7.37245011836e-02, -3.12726580428e-01, -2.00568406104e-01, 1.64093188106e-01, 1.79973187992e-01, -9.71107984091e-02, -1.31768137686e-01, 6.80763143927e-02, 8.45573763668e-02, -5.13642542974e-02, -4.65308118275e-02, 3.69708466206e-02, 2.05867076275e-02, -2.34800013444e-02, -6.21378284936e-03, 1.25647252183e-02, 3.00137398507e-04, -5.45569198615e-03, 1.04426073918e-03, 1.82701049565e-03, -7.70690988123e-04, -4.23787399839e-04, 3.28609414213e-04, 4.34589990453e-05, -9.40522363481e-05, 1.13743496621e-05, 1.73737569575e-05, -6.16672931646e-06, -1.56517913199e-06, 1.29518205731e-06, -8.77987987336e-08, -1.28333622875e-07, 3.76122874933e-08, 1.68017140492e-09, -2.72962314663e-09, 5.33593882166e-10, -3.60211348433e-11};

- Daub46 :

{ 2.71904194128e-04, 4.20274889318e-03, 2.93100036578e-02, 1.20515531783e-01, 3.18450813852e-01, 5.44931147873e-01, 5.51018517241e-01, 1.81392625363e-01, -2.61392148030e-01, -2.71402098607e-01, 9.21254070824e-02, 2.23573658242e-01, -3.30374470942e-02, -1.64011321531e-01, 2.02830745756e-02, 1.12297043618e-01, -2.11262123562e-02, -7.02073915749e-02, 2.17658568344e-02, 3.84953325225e-02, -1.85235136501e-02, -1.75371010030e-02, 1.27519439315e-02, 6.03184065002e-03, -7.07531927370e-03, -1.13486547335e-03, 3.12287644981e-03, -2.46501400516e-04, -1.06123122888e-03, 3.19420492709e-04, 2.56762452007e-04, -1.50021850349e-04, -3.37889483412e-05, 4.42607120310e-05, -2.63520788924e-06, -8.34787556785e-06, 2.39756954684e-06, 8.14757483477e-07, -5.33900540520e-07, 1.85309178563e-08, 5.41754917953e-08, -1.39993549543e-08, -9.47288590181e-10, 1.05044645369e-09, -1.93240511131e-10, 1.25020330235e-11};

- Daub48 :

{ 1.91435800947e-04, 3.08208171490e-03, 2.24823399497e-02, 9.72622358336e-02, 2.72908916067e-01, 5.04371040839e-01, 5.74939221095e-01, 2.80985553233e-01, -1.87271406885e-01, -3.17943078999e-01, 4.77661368434e-03, 2.39237388780e-01, 4.25287296414e-02, -1.71175351370e-01, -3.87771735779e-02, 1.21016303469e-01, 2.09801137091e-02, -8.21616542080e-02, -4.57843624181e-03, 5.13016200399e-02, -4.94470942812e-03, -2.82131070949e-02, 7.66172188164e-03, 1.30499708710e-02, -6.29143537001e-03, -4.74656878632e-03, 3.73604617828e-03, 1.15376493683e-03, -1.69645681897e-03, -4.41618485614e-05, 5.86127059318e-04, -1.18123323796e-04, -1.46007981776e-04, 6.55938863930e-05, 2.18324146046e-05, -2.02288829261e-05, 1.34115775080e-08, 3.90110033859e-06, -8.98025314393e-07, -4.03250775687e-07, 2.16633965327e-07, -5.05764541979e-10, -2.25574038817e-08, 5.15777678967e-09, 4.74837582425e-10, -4.02465864458e-10, 6.99180115763e-11, -4.34278250380e-12};

- Daub50 :

{ 1.34802979347e-04, 2.25695959185e-03, 1.71867412540e-02, 7.80358628721e-02, 2.31693507886e-01, 4.59683415146e-01, 5.81636896746e-01, 3.67885074802e-01, -9.71746409646e-02, -3.36473079641e-01, -8.75876145876e-02, 2.24537819745e-01, 1.18155286719e-01, -1.50560213750e-01, -9.85086152899e-01}

02, 1.06633805018e-01, 6.67521644940e-02, -7.70841110565e-02, -3.71739628611e-02, 5.36179093987e-02, 1.55426059291e-02, -3.40423204606e-02, -3.07983679484e-03, 1.89228044766e-02, -1.98942578220e-03, -8.86070261804e-03, 2.72693625873e-03, 3.32270777397e-03, -1.84248429020e-03, -8.99977423746e-04, 8.77258193674e-04, 1.15321244046e-04, -3.09880099098e-04, 3.54371452327e-05, 7.90464000396e-05, -2.73304811996e-05, -1.27719529319e-05, 8.99066139306e-06, 5.23282770815e-07, -1.77920133265e-06, 3.21203751886e-07, 1.92280679014e-07, -8.65694173227e-08, -2.61159855611e-09, 9.27922448008e-09, -1.88041575506e-09, -2.22847491022e-10, 1.53590157016e-10, -2.52762516346e-11, 1.50969208282e-12};

- Daub52 :

{ 9.49379575071e-05, 1.65052023353e-03, 1.30975542925e-02, 6.22747440251e-02, 1.95039438716e-01, 4.13292962278e-01, 5.73669043034e-01, 4.39158311789e-01, 1.77407678098e-03, -3.26384593691e-01, -1.74839961289e-01, 1.81291832311e-01, 1.82755409589e-01, -1.04323900285e-01, -1.47977193275e-01, 6.98231861132e-02, 1.06482405249e-01, -5.34485616814e-02, -6.86547596040e-02, 4.22321857963e-02, 3.85357159711e-02, -3.13781103630e-02, -1.77609035683e-02, 2.07349201799e-02, 5.82958055531e-03, -1.17854979061e-02, -5.28738399262e-04, 5.60194723942e-03, -9.39058250473e-04, -2.14553028156e-03, 8.38348805654e-04, 6.16138220457e-04, -4.31955707426e-04, -1.06057474828e-04, 1.57479523860e-04, -5.27779549303e-06, -4.10967399639e-05, 1.07422154087e-05, 7.00007868296e-06, -3.88740016185e-06, -4.65046322064e-07, 7.93921063370e-07, -1.07900423757e-07, -8.90446637016e-08, 3.40779562129e-08, 2.16932825985e-09, -3.77601047853e-09, 6.78004724582e-10, 1.00230319104e-10, -5.84040818534e-11, 9.13051001637e-12, -5.25187122424e-13};

- Daub54 :

{ 6.68713138543e-05, 1.20553123167e-03, 9.95258878087e-03, 4.94525999829e-02, 1.62922027502e-01, 3.67110214125e-01, 5.53849860990e-01, 4.93406122677e-01, 1.02840855061e-01, -2.89716803314e-01, -2.48264581903e-01, 1.14823019517e-01, 2.27273288414e-01, -3.87864186318e-02, -1.78031740959e-01, 1.57993974602e-02, 1.31197971717e-01, -1.40627515558e-02, -9.10229065295e-02, 1.73110182654e-02, 5.79694057347e-02, -1.85124935619e-02, -3.27390666310e-02, 1.61469669223e-02, 1.56655956489e-02, -1.15771864589e-02, -5.86209634546e-03, 6.85663560968e-03, 1.34262687730e-03, -3.33285446952e-03, 1.45752962593e-04, 1.30117745024e-03, -3.41835122691e-04, -3.87901857410e-04, 2.01971987969e-04, 7.66005838706e-05, -7.71114551779e-05, -3.51748361490e-06, 2.06344264773e-05, -3.90116407063e-06, -3.65750090818e-06, 1.63436962472e-06, 3.05088068625e-07, -3.47246814739e-07, 3.28655896805e-08, 4.02625505286e-08, -1.32133227399e-08, -1.30946560685e-09, 1.52161498477e-09, -2.41552692801e-10, -4.37498622429e-11, 2.21366208806e-11, -3.29579012247e-12, 1.82818835288e-13};

- Daub56 :

{ 4.71080777501e-05, 8.79498515984e-04, 7.54265037764e-03, 3.90926081154e-02, 1.35137914253e-01, 3.22563361285e-01, 5.24998231630e-01, 5.30516293441e-01, 2.00176144045e-01, -2.30498954047e-01, -3.01327809532e-01, 3.28578791633e-02, 2.45808151373e-01, 3.69068853157e-02, -1.82877330732e-01, -4.68382337445e-02, 1.34627567910e-01, 3.44786312750e-02, -9.76853558056e-02, -1.73419228313e-02, 6.77478955019e-02, 3.44801895554e-03, -4.33333686160e-02, 4.43173291006e-03, 2.46880600101e-02, -6.81554976455e-03, -1.20635919682e-02, 5.83881662774e-03, 4.78486311245e-03, -3.72546124707e-03, -1.36037384563e-03, 1.87599866820e-03, 1.41567239314e-04, -7.48674955911e-04, 1.15465606365e-04, 2.29579098223e-04, -8.90390149004e-05, -4.90771341619e-05, 3.64140121105e-05, 4.63866498139e-06, -1.00432604133e-05, 1.24790031757e-06, 1.84036373451e-06, -6.67021547995e-07, -1.75746117320e-07, 1.49066001353e-07, -8.26238731562e-09, -1.78413869087e-08, 5.04404705638e-09, 6.94454032894e-10, -6.07704124722e-10, 8.49222001105e-11, 1.86736726378e-11, -8.36549047125e-12, 1.18885053340e-12, -6.36777235471e-14};

- Daub58 :

$$\{ 3.31896627984e-05, 6.40951680304e-04, 5.70212651777e-03, 3.07735802214e-02, 1.11370116951e-01, 2.80653455970e-01, 4.89758804762e-01, 5.51374432758e-01, 2.89105238335e-01, -1.54028734459e-01, -3.30040948917e-01, -5.57068000729e-02, 2.36105236153e-01, 1.12419174873e-01, -1.60877988594e-01, -1.07845949938e-01, 1.14472295893e-01, 8.32207471624e-02, -8.51254926156e-02, -5.50274895253e-02, 6.34791645842e-02, 3.05315432727e-02, -4.51879812777e-02, -1.29171425542e-02, 2.94704318717e-02, 2.64832730767e-03, -1.70412245736e-02, 1.73788033272e-03, 8.46972549356e-03, -2.55080712778e-03, -3.47379898968e-03, 1.87712092572e-03, 1.08705394222e-03, -1.00077832708e-03, -2.00071136307e-04, 4.11128345474e-04, -2.29201804121e-05, -1.29304484008e-04, 3.64502606856e-05, 2.91334475016e-05, -1.65732839530e-05, -3.59364480402e-06, 4.75060924645e-06, -3.02905459205e-07, -8.97570175063e-07, 2.63389838699e-07, 9.38719741109e-08, -6.28615692201e-08, 1.07659190661e-09, 7.76897885477e-09, -1.89399538617e-09, -3.42680086326e-10, 2.40709945350e-10, -2.94058925076e-11, -7.83250973362e-12, 3.15276241337e-12, -4.28565487006e-13, 2.21919131158e-14 \};$$
- Daub60 :

$$\{ 2.33861617273e-05, 4.66637950428e-04, 4.30079716504e-03, 2.41308326715e-02, 9.12383040670e-02, 2.42020670940e-01, 4.50487821853e-01, 5.57572232912e-01, 3.66242683371e-01, -6.61836707759e-02, -3.32966975020e-01, -1.41968513330e-01, 1.99462121580e-01, 1.77829873244e-01, -1.14558219432e-01, -1.57236817959e-01, 7.27786589703e-02, 1.22747746045e-01, -5.38064654582e-02, -8.76586900363e-02, 4.38016646714e-02, 5.67123657447e-02, -3.56733974967e-02, -3.22637589193e-02, 2.70786195952e-02, 1.52879607698e-02, -1.83997438681e-02, -5.29685966613e-03, 1.09156316583e-02, 6.19671756497e-04, -5.53073014819e-03, 8.43384586662e-04, 2.32452009406e-03, -8.60927696811e-04, -7.67878250438e-04, 5.05094823903e-04, 1.72482584235e-04, -2.16171830116e-04, -8.54830546758e-06, 6.98200837080e-05, -1.33971686329e-05, -1.63615247872e-05, 7.25214553589e-06, 2.32754909849e-06, -2.18726767699e-06, 1.09947433852e-08, 4.26166232601e-07, -1.00041468235e-07, -4.76437996513e-08, 2.60544275497e-08, 5.55339786139e-10, -3.33110568046e-09, 6.98486269183e-10, 1.61362297827e-10, -9.46138799727e-11, 1.00010513139e-11, 3.23942863853e-12, -1.18523759210e-12, 1.54399757084e-13, -7.73794263095e-15 \};$$
- Daub62 :

$$\{ 1.64801338645e-05, 3.39412203776e-04, 3.23688406862e-03, 1.88536916129e-02, 7.43360930116e-02, 2.07012874485e-01, 4.09192200037e-01, 5.51139840914e-01, 4.29468808206e-01, 2.71692124973e-02, -3.10955118319e-01, -2.1797845523e-01, 1.40178288765e-01, 2.24966711473e-01, -4.99263491604e-02, -1.86962360895e-01, 1.54369884294e-02, 1.45089500931e-01, -8.13983227346e-03, -1.07612773323e-01, 1.09412974523e-02, 7.53536117432e-02, -1.48800266181e-02, -4.86190754648e-02, 1.61541715659e-02, 2.80476193667e-02, -1.42762752777e-02, -1.39005529392e-02, 1.05176394873e-02, 5.51616357331e-03, -6.52085237587e-03, -1.42826422321e-03, 3.39306677671e-03, -6.39790110601e-05, -1.45904174198e-03, 3.43139829690e-04, 4.99881617563e-04, -2.39658346940e-04, -1.24341161725e-04, 1.08958435041e-04, 1.50133572744e-05, -3.63125515786e-05, 4.03452023518e-06, 8.79530134269e-06, -3.03514236589e-06, -1.36906023094e-06, 9.81001542204e-07, 5.32725065697e-08, -1.97592512917e-07, 3.61682651733e-08, 2.32830971382e-08, -1.06152960215e-08, -6.47431168795e-10, 1.40856815102e-09, -2.52404395415e-10, -7.34893003248e-11, 3.69210880887e-11, -3.32700896712e-12, -1.32433491724e-12, 4.44546709629e-13, -5.55944205057e-14, 2.69938287976e-15 \};$$
- Daub64 :

$$\{ 1.16146330213e-05, 2.46656690638e-04, 2.43126191957e-03, 1.46810463814e-02, 6.02574991203e-02, 1.75750783639e-01, 3.67509628597e-01, 5.34317919340e-01, 4.77809163733e-01, 1.20630538265e-01, -2.66698181476e-01, -2.77421581558e-01, 6.47133548055e-02, 2.48310642356e-01, 2.46624448396e-01 \};$$

02, -1.92102344708e-01, -4.89951171846e-02, 1.45232079475e-01, 4.44049081999e-02, -1.09456113116e-01, -2.96278725084e-02, 8.08741406384e-02, 1.41061515161e-02, -5.69263140624e-02, -2.38026446493e-03, 3.70514579235e-02, -4.14590766082e-03, -2.16628228363e-02, 6.16752731068e-03, 1.10174007154e-02, -5.41156825727e-03, -4.64921675118e-03, 3.62722464068e-03, 1.46895510046e-03, -1.96474055582e-03, -2.21167872957e-04, 8.67305851845e-04, -1.02453731060e-04, -3.05965442382e-04, 1.05391546173e-04, 8.10367832913e-05, -5.25980928268e-05, -1.29404577940e-05, 1.82426840198e-05, -6.36178153226e-07, -4.55830957626e-06, 1.20288903632e-06, 7.56004762559e-07, -4.28597069315e-07, -5.00336186874e-08, 8.96596631195e-08, -1.21992435948e-08, -1.10438302172e-08, 4.25042231198e-09, 4.38438779994e-10, -5.88109146263e-10, 8.90472379622e-11, 3.26327074133e-11, -1.43091876516e-11, 1.07561065350e-12, 5.36148222961e-13, -1.66380048943e-13, 2.00071530381e-14, -9.42101913953e-16};

- Daub66 :

{ 8.18635831417e-06, 1.79101615370e-04, 1.82270943516e-03, 1.13959433745e-02, 4.86146665317e-02, 1.48186313180e-01, 3.26718130117e-01, 5.09376172514e-01, 5.11254770583e-01, 2.09582350713e-01, -2.04202622398e-01, -3.15997410766e-01, -1.92783394369e-02, 2.45420612119e-01, 9.98515586803e-02, -1.71428099051e-01, -1.10844133116e-01, 1.21967856403e-01, 9.47880880506e-02, -9.11469683513e-02, -7.03024850540e-02, 7.01911439409e-02, 4.57345618938e-02, -5.34712513358e-02, -2.52485829774e-02, 3.86870607602e-02, 1.07032658200e-02, -2.57287617547e-02, -2.16775861735e-03, 1.53169541158e-02, -1.59428878241e-03, -7.95354038705e-03, 2.38906240816e-03, 3.48080095340e-03, -1.86071821445e-03, -1.20430925760e-03, 1.07438069635e-03, 2.72730584733e-04, -4.90832900759e-04, 4.39316625176e-06, 1.78043189825e-04, -4.16043851627e-05, -4.92956442341e-05, 2.42333539881e-05, 9.07080575782e-06, -8.86612136675e-06, -3.60751610287e-07, 2.28837127614e-06, -4.42692340795e-07, -3.98579129198e-07, 1.82244333257e-07, 3.37797270373e-08, -3.98783819851e-08, 3.67286357683e-09, 5.11121185734e-09, -1.67139267725e-09, -2.49640210524e-10, 2.42683310230e-10, -3.04957445394e-11, -1.42023685988e-11, 5.50941472076e-12, -3.34348121895e-13, -2.15248838683e-13, 6.21474024717e-14, -7.19651054536e-15, 3.28937367841e-16};

- Daub68 :

{ 5.77051063273e-06, 1.29947620067e-04, 1.36406139005e-03, 8.81988940388e-03, 3.90488413517e-02, 1.24152482111e-01, 2.87765059233e-01, 4.78478746279e-01, 5.30555099656e-01, 2.90366329507e-01, -1.28246842174e-01, -3.31525301508e-01, -1.03891915515e-01, 2.16907220187e-01, 1.66601750412e-01, -1.27337358223e-01, -1.60924927177e-01, 7.79918469379e-02, 1.34125960271e-01, -5.44829680641e-02, -1.02947596992e-01, 4.35760946496e-02, 7.31852354367e-02, -3.70128384178e-02, -4.74385596452e-02, 3.07397465739e-02, 2.72283507563e-02, -2.36717379228e-02, -1.31439800166e-02, 1.64093741998e-02, 4.71364926099e-03, -1.00455067083e-02, -6.19474884515e-04, 5.33495076875e-03, -7.69212797506e-04, -2.39945394353e-03, 8.58995987436e-04, 8.75199906407e-04, -5.52735576214e-04, -2.32673214023e-04, 2.65077239755e-04, 2.66005001845e-05, -9.91469777078e-05, 1.35311722724e-05, 2.84495141969e-05, -1.05765749425e-05, -5.71082651099e-06, 4.16987175854e-06, 4.97971810142e-07, -1.11630653481e-06, 1.44819570833e-07, 2.02599066666e-07, -7.52670174041e-08, -1.99034650153e-08, 1.74042333293e-08, -8.66574426136e-10, -2.31650194699e-09, 6.44637821032e-10, 1.30041031860e-10, -9.90477453763e-11, 1.00420873546e-11, 6.08012535400e-12, -2.10787910891e-12, 9.79945115821e-14, 8.57919405179e-14, -2.31708370390e-14, 2.58733838193e-15, -1.14894475448e-16};

- Daub70 :

{ 4.06793406114e-06, 9.42146947557e-05, 1.01912268037e-03, 6.80729288431e-03, 3.12362885114e-02, 1.03404455861e-01, 2.51307378994e-01, 4.43592739224e-01, 5.37008427509e-01, 3.60345640518e-01, -4.38838818739e-02, -3.23822864912e-01, -1.81786976766e-01, 1.66041357490e-01, 2.17299289321e-01, -6.52628713106e-02, -1.91919589298e-01, 1.93095446660e-02, 1.55292480396e-01, -4.75268083411e-01};

03, -1.20585522643e-01, 4.73422917264e-03, 8.99135475707e-02, -9.31855894990e-03, -6.33560374404e-02, 1.32285495850e-02, 4.12546930647e-02, -1.43668397842e-02, -2.41694978016e-02, 1.27664567156e-02, 1.22894360081e-02, -9.57779789923e-03, -5.08599164923e-03, 6.13775458674e-03, 1.42808879407e-03, -3.35764438092e-03, 7.61596943517e-06, 1.54963746970e-03, -3.34669216425e-04, -5.86481031899e-04, 2.64832881996e-04, 1.70001228366e-04, -1.36588307226e-04, -2.97699596284e-05, 5.30414312291e-05, -2.43700152682e-06, -1.57244207727e-05, 4.30804786171e-06, 3.35334586287e-06, -1.89592961769e-06, -3.90393173328e-07, 5.30236861690e-07, -3.70030837820e-08, -9.99039694453e-08, 3.00818865071e-08, 1.08490273378e-08, -7.45811655289e-09, 5.89795131038e-11, 1.03082334548e-09, -2.43354557375e-10, -6.40793825650e-11, 4.00053662725e-11, -3.12563935710e-12, -2.56706547615e-12, 8.01508853368e-13, -2.59795432889e-14, -3.39772085679e-14, 8.62403743472e-15, -9.29801252932e-16, 4.01462871233e-17};

- Daub72 :

{ 2.86792518275e-06, 6.82602867854e-05, 7.60215109966e-04, 5.24029737740e-03, 2.48905656448e-02, 8.56520925952e-02, 2.17756953097e-01, 4.06433697708e-01, 5.32266895260e-01, 4.17875335600e-01, 4.39751975293e-02, -2.94421039589e-01, -2.46807036978e-01, 9.81142041631e-02, 2.46537277608e-01, 7.27851509579e-03, -1.99337205608e-01, -4.58614007463e-02, 1.54106236627e-01, 5.02761800735e-02, -1.18803754310e-01, -3.98808535755e-02, 9.11567822580e-02, 2.50387214495e-02, -6.82090166368e-02, -1.13191003168e-02, 4.85130835478e-02, 1.42497266176e-03, -3.19807206776e-02, 3.98404019871e-03, 1.90635947806e-02, -5.65781324505e-03, -9.99026347328e-03, 5.02298910666e-03, 4.41348483535e-03, -3.48454144540e-03, -1.50307406629e-03, 1.99079377185e-03, 2.77681279571e-04, -9.46340382326e-04, 8.61456575899e-05, 3.69350728496e-04, -1.15511889584e-04, -1.13189946808e-04, 6.69474119693e-05, 2.37510668366e-05, -2.73139082465e-05, -1.18347105998e-06, 8.37221819816e-06, -1.58614578243e-06, -1.87081160285e-06, 8.31142127970e-07, 2.54842352255e-07, -2.45537765843e-07, 2.75324907333e-09, 4.79904346545e-08, -1.15609368881e-08, -5.61278434332e-09, 3.13884169578e-09, 1.09081555371e-10, -4.51254577856e-10, 8.96241820385e-11, 3.03742909811e-11, -1.59971668926e-11, 8.87684628721e-13, 1.07096935711e-12, -3.02928502697e-13, 5.54226318263e-15, 1.33807138629e-14, -3.20462854340e-15, 3.33997198481e-16, -1.40327417537e-17};

- Daub74 :

{ 2.02206086249e-06, 4.94234375062e-05, 5.66241837706e-04, 4.02414036825e-03, 1.97622861538e-02, 7.05848259771e-02, 1.87326331862e-01, 3.68440972400e-01, 5.18167040855e-01, 4.62207553661e-01, 1.30878963233e-01, -2.46180429761e-01, -2.94375915262e-01, 1.96715004523e-02, 2.51523254360e-01, 8.18060283872e-02, -1.81962291778e-01, -1.08451713823e-01, 1.29929646959e-01, 1.01780296838e-01, -9.66075406166e-02, -8.23302119065e-02, 7.50476199483e-02, 5.95674108715e-02, -5.92568156326e-02, -3.82538294793e-02, 4.58079441512e-02, 2.09728005925e-02, -3.35235840641e-02, -8.83349389041e-03, 2.26186515445e-02, 1.69047238348e-03, -1.37639819628e-02, 1.51930577883e-03, 7.38775745285e-03, -2.24805318700e-03, -3.39452327640e-03, 1.81687134380e-03, 1.26393425811e-03, -1.11148486531e-03, -3.28078847088e-04, 5.49053277337e-04, 1.53443902319e-05, -2.20894403245e-04, 4.33672612594e-05, 7.05513878206e-05, -3.09866292761e-05, -1.63916249616e-05, 1.35432771841e-05, 1.84994500311e-06, -4.30994155659e-06, 4.85473139699e-07, 1.00212139929e-06, -3.49494860344e-07, -1.50988538867e-07, 1.10903123221e-07, 5.35065751546e-09, -2.25219383672e-08, 4.22448570636e-09, 2.79397446595e-09, -1.29720500146e-09, -1.03141112909e-10, 1.94616489408e-10, -3.20339824412e-11, -1.39841571553e-11, 6.33495544097e-12, -2.09636319423e-13, -4.42161240987e-13, 1.13805283092e-13, -4.51888960746e-16, -5.24302569188e-15, 1.18901238750e-15, -1.19928033585e-16, 4.90661506493e-18};

- Daub76 :

{ 1.42577664167e-06, 3.57625199426e-05, 4.21170266472e-04, 3.08308811925e-03, 1.56372493475e-

02, 5.78899436128e-02, 1.60071993564e-01, 3.30775781411e-01, 4.96591175311e-01, 4.93356078517e-01, 2.13050571355e-01, -1.82867667708e-01, -3.21675637808e-01, -6.22665060478e-02, 2.32125963835e-01, 1.49985119618e-01, -1.41795685973e-01, -1.59912565158e-01, 8.56381215561e-02, 1.41414734073e-01, -5.65864586307e-02, -1.14731170710e-01, 4.30958954330e-02, 8.72043982620e-02, -3.66051034028e-02, -6.17662087084e-02, 3.19898775315e-02, 4.00549811051e-02, -2.68914938808e-02, -2.31141340205e-02, 2.09046452556e-02, 1.12904972786e-02, -1.47018820653e-02, -4.13130665603e-03, 9.21478503219e-03, 5.62571574840e-04, -5.07131450921e-03, 7.16982182106e-04, 2.40069778189e-03, -8.44862666553e-04, -9.42461407722e-04, 5.81075975053e-04, 2.81763925038e-04, -3.03102046072e-04, -4.55568269666e-05, 1.26204335016e-04, -1.15540910383e-05, -4.17514164854e-05, 1.33417614992e-05, 1.03735918404e-05, -6.45673042846e-06, -1.55084435011e-06, 2.14996026993e-06, -8.48708758607e-08, -5.18773373887e-07, 1.39637754550e-07, 8.40035104689e-08, -4.88475793745e-08, -5.42427480028e-09, 1.03470453927e-08, -1.43632948779e-09, -1.34919775398e-09, 5.26113255735e-10, 6.73233649018e-11, -8.27825652253e-11, 1.10169293459e-11, 6.29153731703e-12, -2.48478923756e-12, 2.62649650406e-14, 1.80866123627e-13, -4.24981781957e-14, -4.56339716212e-16, 2.04509967678e-15, -4.40530704248e-16, 4.30459683955e-17, -1.71615245108e-18};

- sym8:
 $\{0.032223100604, -0.012603967262, -0.099219543577, 0.297857795606, 0.803738751807, 0.497618667633, -0.029635527646, -0.075765714789\};$
- sym16:
 $\{0.001889950333, -0.000302920515, -0.014952258337, 0.003808752014, 0.049137179674, -0.027219029917, -0.051945838108, 0.364441894835, 0.777185751701, 0.481359651258, -0.061273359068, -0.143294238351, 0.007607487325, 0.031695087811, -0.000542132332, -0.003382415951\};$
- coif6:
 $\{-0.072732619513, 0.337897662458, 0.852572020212, 0.384864846864, -0.072732619513, -0.015655728135\};$
- coif12:
 $\{0.016387336464, -0.041464936782, -0.067372554722, 0.386110066823, 0.812723635450, 0.417005184424, -0.076488599079, -0.059434418647, 0.023680171946, 0.005611434819, -0.001823208871, -0.000720549445\};$
- coif18:
 $\{-0.003793512864, 0.007782596427, 0.023452696142, -0.065771911282, -0.061123390003, 0.405176902410, 0.793777222626, 0.428483476378, -0.071799821619, -0.082301927107, 0.034555027573, 0.015880544864, -0.009007976137, -0.002574517689, 0.001117518771, 0.000466216960, -0.000070983303, -0.000034599773\};$
- coif24:
 $\{0.000892313669, -0.001629492013, -0.007346166328, 0.016068943965, 0.026682300156, -0.081266699681, -0.056077313317, 0.415308407030, 0.782238930921, 0.434386056491, -0.066627474263, -0.096220442034, 0.039334427123, 0.025082261845, -0.015211731528, -0.005658286687, 0.003751436157, 0.001266561929, -0.000589020756, -0.000259974552, 0.000062339034, 0.000031229876, -0.000003259680, -0.000001784985\};$
- coif30:
 $\{-0.000212080840, 0.000358589688, 0.002178236358, -0.004159358782, -0.010131117521, 0.023408156788, 0.028168028974, -0.091920010569, -0.052043163181, 0.421566206733, 0.774289603730, 0.437991626216, -0.062035963969, -0.105574208714, 0.041289208754, 0.032683574270, -0.019761778945, -0.009164231163, 0.006764185449, 0.002433373213, -0.001662863702, -0.000638131343, 0.000302259582, 0.000140541150, -0.000041340432, -0.000021315027, 0.000003734655, 0.000002063762, -0.000000167443, -0.000000095177\};$

- Beylkin18 :
{0.099305765374353, 0.424215360812961, 0.699825214056600,
0.449718251149468, -0.110927598348234, -0.264497231446384, 0.026900308803690, 0.155538731877093,
-0.017520746266529, -0.088543630622924, 0.019679866044322, 0.042916387274192, -0.017460408696028,
-0.014365807968852, 0.010040411844631, 0.0014842347824723, -0.002736031626258, 0.0006404853285212};
- Vaidyanathan24:
{-0.000062906118, 0.000343631905, -0.000453956620, -0.000944897136, 0.002843834547, 0.000708137504,
-0.008839103409, 0.003153847056, 0.019687215010, -0.014853448005, -0.035470398607, 0.038742619293,
0.055892523691, -0.077709750902, -0.083928884366, 0.131971661417, 0.135084227129, -0.194450471766,
-0.263494802488, 0.201612161775, 0.635601059872, 0.572797793211, 0.250184129505, 0.045799334111}.

Apêndice II - Código fonte do sistema proposto.

```

1 // Metodo da classe principal
2 // organiza os processos de treinamento e teste
3 private static void energiasSVM(int num, String[] nomes, List<Filtro> filtros, boolean
4     isNivelMaximo) {
5     for (Filtro filtro : filtros) {
6
7         File[] arquivosTreinamento = null;
8         File[] arquivosTeste = null;
9         File[] arquivos = null;
10
11         int encontrados = 0;
12         int arquivosTestados = 0;
13
14         // Criando as SVMs
15         NeuralNetwork [] nn = new NeuralNetwork [nomes.length];
16         Double [] V1 = null;
17         Double [] V2 = null;
18         Double [] V3 = null;
19         Double [] V4 = null;
20
21         // Captura os parametros para a neural
22         int numero_de_amostras_de_cada_exemplo_de_entrada = 25; // 25 energias
23         int numero_de_exemplos_de_treinamento = num;           // valor inicial
24         int numero_de_amostras_de_cada_exemplo_de_saida = 1;
25
26         // treinamento
27         for (int n = 0; n < nomes.length; n++) {
28             arquivosTreinamento = new File ("/dados/coleta/Treinamento/" +
29                 nomes[n]).listFiles ();
30
31             arquivosTeste = new File ("/dados/coleta/Teste/" + nomes[n]).listFiles ();
32             arquivos = new File [arquivosTreinamento.length+arquivosTeste.length];
33
34             // juntando todos os arquivos em um unico vetor 'arquivos'
35             System.arraycopy (arquivosTreinamento, 0, arquivos, 0,
36                 arquivosTreinamento.length);
37             System.arraycopy (arquivosTeste, 0, arquivos, arquivosTreinamento.length,
38                 arquivosTeste.length);
39
40             arquivosTreinamento = new File [numero_de_exemplos_de_treinamento];
41             arquivosTeste = new File [arquivos.length-numero_de_exemplos_de_treinamento];
42
43             // vetor de treinamento
44             System.arraycopy (arquivos, 0, arquivosTreinamento, 0,
45                 arquivosTreinamento.length);
46
47             // vetor de testes
48             System.arraycopy (arquivos, arquivosTreinamento.length, arquivosTeste, 0,
49                 arquivosTeste.length);
50
51             if (isNivelMaximo) {
52                 if (encontrados == numero_de_exemplos_de_treinamento)
53                     break;
54             }
55         }
56     }
57 }
```

```

arquivosTeste .length );

45
46     int arq = 0;
47     for (File f : arquivosTreinamento) {
48         System.out.println("... " + f.getPath());
49         Wave wave = new Wave(f.getPath());
50
51         // captura os dados em 'e'
52         Double[] e;
53         if ((e = Serialization.recover("wave_" + f.getName(), filtro.getNome()))
54             == null) {
55             e = Wavelet.energias(wave, filtro, isNivelMaximo);
56             Serialization.persist(e, "wave_" + f.getName(), filtro.getNome());
57         } else {
58             // System.out.println(" treinamento "+nomes[n]+" recuperou
59             // wave_"+f.getName());
60         }
61
62         V2 = new Double[numero_de_exemplos_de_treinamento];
63         Arrays.fill(V2, 1.0);
64
65         if (arq == 0) {
66             V1 = e;
67         } else {
68             Double[] b = new Double[V1.length + e.length];
69             System.arraycopy(V1, 0, b, 0, V1.length);
70             System.arraycopy(e, 0, b, V1.length, e.length);
71             V1 = b;
72         }
73         arq++;
74     }
75
76     nn[n] = new NeuralNetwork(numero_de_amostras_de_cada_exemplo_de_entrada,
77                               numero_de_exemplos_de_treinamento,
78                               numero_de_amostras_de_cada_exemplo_de_saida);
79     nn[n].train(V1, V2); // treina a neural
80 }
81
82 // teste
83 for (int t = 0; t < nomes.length; t++) {
84
85     arquivosTreinamento = new
86         File("/dados/coleta/Treinamento/" + nomes[t]).listFiles();
87     arquivosTeste = new File("/dados/coleta/Teste/" + nomes[t]).listFiles();
88     arquivos = new File[arquivosTreinamento.length + arquivosTeste.length];
89
90     // juntando todos os arquivos em um unico vetor 'arquivos'
91     System.arraycopy(arquivosTreinamento, 0, arquivos, 0,
92                      arquivosTreinamento.length);
93     System.arraycopy(arquivosTeste, 0, arquivos, arquivosTreinamento.length,
94                      arquivosTeste.length);
95
96     arquivosTreinamento = new File[numero_de_exemplos_de_treinamento];
97     arquivosTeste = new File[arquivos.length - numero_de_exemplos_de_treinamento];
98
99     // vetor de treinamento

```

```

96     System.arraycopy(arquivos, 0, arquivosTreinamento, 0,
97                     arquivosTreinamento.length);
98
99     // vetor de testes
100    System.arraycopy(arquivos, arquivosTreinamento.length, arquivosTeste, 0,
101                     arquivosTeste.length);
102
103    for (File f : arquivosTeste) {
104        double menor = 2.0;
105        int resultado = -1;
106
107        System.out.println("testando " + f.getPath() + "...");
108        Wave wave = new Wave(f.getPath());
109
110        Double[] e;
111        if ((e = Serialization.recover("wave_" + f.getName(), filtro.getNome()))
112            == null) {
113            e = Wavelet.energias(wave, filtro, isNivelMaximo);
114            Serialization.persist(e, "wave_" + f.getName(), filtro.getNome());
115        }
116
117        V3 = e;
118        V4 = new Double[]{0.0}; // uma saida so
119
120        for (int j = 0; j < nn.length; j++) {
121            nn[j].pass(V3, V4);
122            double r = Math.abs(V4[0] - 1);
123
124            if (r < menor) {
125                menor = r;
126                resultado = j;
127            }
128
129            // resultado
130            arquivosTestados++;
131            System.out.println("Resultado[" + nomes[resultado] + "]:" + menor +
132                               "\n\n");
133            if (nomes[t].equals(nomes[resultado])) {
134                encontrados++;
135            }
136
137        }
138
139        System.out.println("\n\nTotal de arquivos testados:" + arquivosTestados);
140        System.out.println("Encontrados:" + encontrados);
141        double perc = ((double) (encontrados / (double) arquivosTestados) * 100);
142        System.out.println("Aproveitamento com filtro " + filtro.getNome() + ":" +
143                           perc + "%");
144        System.out.println("Numero de exemplos de treinamento:" +
145                           numero_de_exemplos_de_treinamento);
146    }
147}

```

```

1 // classe abstrata Wavelet
2 // executa os principais processos do presente trabalho, como definicao dos filtros ,
3 // normalizacao dos dados e definicao dos vetores de caracteristicas
4 public abstract class Wavelet {
5
6     private static final List<Filtro> filtros = new ArrayList<Filtro>();
7
8     static {
9         filtros.add(new Filtro("HAAR", new double[]{1 / Math.sqrt(2), 1 / Math.sqrt(2)}));
10        filtros.add(new Filtro("DAUB4", new double[]{4.82962913144e-01, 8.36516303737e-01,
11            2.24143868042e-01, -1.29409522551e-01}));
12        filtros.add(new Filtro("DAUB6", new double[]{3.32670552950e-01, 8.06891509311e-01,
13            4.59877502118e-01, -1.35011020010e-01, -8.54412738820e-02, 3.52262918857e-02}));
14        filtros.add(new Filtro("DAUB8", new double[]{2.30377813308e-01, 7.14846570552e-01,
15            6.30880767929e-01, -2.79837694168e-02, -1.87034811719e-01, 3.08413818355e-02,
16            3.28830116668e-02, -1.05974017850e-02}));
17        filtros.add(new Filtro("DAUB10", new double[]{1.60102397974e-01, 6.03829269797e-01,
18            7.24308528437e-01, 1.38428145901e-01, -2.42294887066e-01, -3.22448695846e-02,
19            7.75714938400e-02, -6.24149021279e-03, -1.25807519990e-02, 3.33572528547e-03}));
20        filtros.add(new Filtro("DAUB12", new double[]{1.11540743350e-01, 4.94623890398e-01,
21            7.51133908021e-01, 3.15250351709e-01, -2.26264693965e-01, -1.29766867567e-01,
22            9.75016055873e-02, 2.75228655303e-02, -3.15820393174e-02, 5.53842201161e-04,
23            4.77725751094e-03, -1.07730108530e-03)));
24        filtros.add(new Filtro("DAUB14", new double[]{7.78520540850e-02, 3.96539319481e-01,
25            7.29132090846e-01, 4.69782287405e-01, -1.43906003928e-01, -2.24036184993e-01,
26            7.13092192668e-02, 8.06126091510e-02, -3.80299369350e-02, -1.65745416306e-02,
27            1.25509985560e-02, 4.29577972921e-04, -1.80164070404e-03, 3.53713799974e-04)));
28        // 7
29        filtros.add(new Filtro("DAUB16", new double[]{5.44158422431e-02, 3.12871590914e-01,
30            6.75630736297e-01, 5.85354683654e-01, -1.58291052563e-02, -2.84015542961e-01,
31            4.72484573913e-04, 1.28747426620e-01, -1.73693010018e-02, -4.40882539307e-02,
32            1.39810279173e-02, 8.74609404740e-03, -4.87035299345e-03, -3.91740373376e-04,
33            6.75449406450e-04, -1.17476784124e-04)));
34        filtros.add(new Filtro("DAUB18", new double[]{3.80779473638e-02, 2.43834674612e-01,
35            6.04823123690e-01, 6.57288078051e-01, 1.33197385825e-01, -2.93273783279e-01,
36            -9.68407832229e-02, 1.48540749338e-01, 3.07256814793e-02, -6.76328290613e-02,
37            2.50947114831e-04, 2.23616621236e-02, -4.72320475775e-03, -4.28150368246e-03,
38            1.84764688305e-03, 2.30385763523e-04, -2.51963188942e-04, 3.93473203162e-05)));
39        filtros.add(new Filtro("DAUB20", new double[]{2.66700579005e-02, 1.88176800077e-01,
40            5.27201188931e-01, 6.88459039453e-01, 2.81172343660e-01, -2.49846424327e-01,
41            -1.95946274377e-01, 1.27369340335e-01, 9.30573646035e-02, -7.13941471663e-02,
42            -2.94575368218e-02, 3.32126740593e-02, 3.60655356695e-03, -1.07331754833e-02,
43            1.39535174705e-03, 1.99240529518e-03, -6.85856694959e-04, -1.16466855129e-04,
44            9.35886703200e-05, -1.32642028945e-05)));
45        filtros.add(new Filtro("DAUB22", new double[]{1.86942977614e-02, 1.44067021150e-01,
46            4.49899764356e-01, 6.85686774916e-01, 4.11964368947e-01, -1.62275245027e-01,
47            -2.74230846817e-01, 6.60435881966e-02, 1.49812012466e-01, -4.64799551166e-02,
48            -6.64387856950e-02, 3.13350902190e-02, 2.08409043601e-02, -1.53648209062e-02,
49            -3.34085887301e-03, 4.92841765605e-03, -3.08592858815e-04, -8.93023250666e-04,
50            2.49152523552e-04, 5.44390746993e-05, -3.46349841869e-05, 4.49427427723e-06)));
51        filtros.add(new Filtro("DAUB24", new double[]{1.31122579572e-02, 1.09566272821e-01,
52            3.77355135214e-01, 6.57198722579e-01, 5.15886478427e-01, -4.47638856537e-02,
53            -3.16178453752e-01, -2.37792572560e-02, 1.82478605927e-01, 5.35956967435e-03,
54            -9.64321200965e-02, 1.08491302558e-02, 4.15462774950e-02, -1.22186490697e-02,
55            -1.28408251983e-02, 6.71149900879e-03, 2.24860724099e-03, -2.17950361862e-03,
56            6.54512821250e-06, 3.88653062820e-04, -8.85041092082e-05, -2.42415457570e-05,
57            1.27769522193e-05, -1.52907175806e-06)));
58        // 12

```

```

22    filtros.add(new Filtro("DAUB26", new double[]{9.20213353896e-03, 8.28612438729e-02,
23                                3.11996322160e-01, 6.11055851158e-01, 5.88889570431e-01, 8.69857261796e-02,
24                                -3.14972907711e-01, -1.24576730750e-01, 1.79476079429e-01, 7.29489336567e-02,
25                                -1.05807618187e-01, -2.64884064753e-02, 5.61394771002e-02, 2.37997225405e-03,
26                                -2.38314207103e-02, 3.92394144879e-03, 7.25558940161e-03, -2.76191123465e-03,
27                                -1.31567391189e-03, 9.32326130867e-04, 4.92515251262e-05, -1.65128988556e-04,
28                                3.06785375793e-05, 1.04419305714e-05, -4.70041647936e-06, 5.22003509845e-07}));;
29    filtros.add(new Filtro("DAUB28", new double[]{6.46115346008e-03, 6.23647588493e-02,
30                                2.54850267792e-01, 5.54305617940e-01, 6.31187849104e-01, 2.18670687758e-01,
31                                -2.71688552278e-01, -2.18033529993e-01, 1.38395213864e-01, 1.39989016584e-01,
32                                -8.67484115681e-02, -7.15489555040e-02, 5.52371262592e-02, 2.69814083079e-02,
33                                -3.01853515403e-02, -5.61504953035e-03, 1.27894932663e-02, -7.46218989268e-04,
34                                -3.84963886802e-03, 1.06169108560e-03, 7.08021154235e-04, -3.86831947312e-04,
35                                -4.17772457703e-05, 6.87550425269e-05, -1.03372091845e-05, -4.38970490178e-06,
36                                1.72499467536e-06, -1.78713996831e-07}));;
37    filtros.add(new Filtro("DAUB30", new double[]{4.53853736157e-03, 4.67433948927e-02,
38                                2.06023863986e-01, 4.92631771708e-01, 6.45813140357e-01, 3.39002535454e-01,
39                                -1.93204139609e-01, -2.88882596566e-01, 6.52829528487e-02, 1.90146714007e-01,
40                                -3.96661765557e-02, -1.11120936037e-01, 3.38771439235e-02, 5.47805505845e-02,
41                                -2.57670073284e-02, -2.08100501696e-02, 1.50839180278e-02, 5.10100036040e-03,
42                                -6.48773456031e-03, -2.41756490761e-04, 1.94332398038e-03, -3.73482354137e-04,
43                                -3.59565244362e-04, 1.55896489920e-04, 2.57926991553e-05, -2.81332962660e-05,
44                                3.36298718173e-06, 1.81127040794e-06, -6.31688232588e-07, 6.13335991330e-08}));;
45    filtros.add(new Filtro("DAUB32", new double[]{3.18922092534e-03, 3.49077143236e-02,
46                                1.65064283488e-01, 4.30312722846e-01, 6.37356332083e-01, 4.40290256886e-01,
47                                -8.97510894024e-02, -3.27063310527e-01, -2.79182081330e-02, 2.11190693947e-01,
48                                2.73402637527e-02, -1.32388305563e-01, -6.23972275247e-03, 7.59242360442e-02,
49                                -7.58897436885e-03, -3.68883976917e-02, 1.02976596409e-02, 1.39937688598e-02,
50                                -6.99001456341e-03, -3.64427962149e-03, 3.12802338120e-03, 4.07896980849e-04,
51                                -9.41021749359e-04, 1.14241520038e-04, 1.74787245225e-04, -6.10359662141e-05,
52                                -1.39456689882e-05, 1.13366086612e-05, -1.04357134231e-06, -7.36365678545e-07,
53                                2.30878408685e-07, -2.10933963010e-08}));;
54    // 16
55    filtros.add(new Filtro("DAUB34", new double[]{2.24180700103e-03, 2.59853937036e-02,
56                                1.31214903307e-01, 3.70350724152e-01, 6.10996615684e-01, 5.18315764056e-01,
57                                2.73149704032e-02, -3.28320748363e-01, -1.26599752215e-01, 1.97310589565e-01,
58                                1.01135489177e-01, -1.26815691778e-01, -5.70914196316e-02, 8.11059866541e-02,
59                                2.23123361781e-02, -4.69224383892e-02, -3.27095553581e-03, 2.27336765839e-02,
60                                -3.04298998135e-03, -8.60292152032e-03, 2.96799669152e-03, 2.30120524215e-03,
61                                -1.43684530480e-03, -3.28132519409e-04, 4.39465427768e-04, -2.56101095665e-05,
62                                -8.20480320245e-05, 2.31868137987e-05, 6.99060098507e-06, -4.50594247722e-06,
63                                3.01654960999e-07, 2.95770093331e-07, -8.42394844600e-08, 7.26749296856e-09}));;
64    filtros.add(new Filtro("DAUB36", new double[]{1.57631021844e-03, 1.92885317241e-02,
65                                1.03588465822e-01, 3.14678941337e-01, 5.71826807766e-01, 5.71801654888e-01,
66                                1.47223111969e-01, -2.93654040736e-01, -2.16480934005e-01, 1.49533975565e-01,
67                                1.67081312763e-01, -9.23318841508e-02, -1.06752246659e-01, 6.48872162119e-02,
68                                5.70512477385e-02, -4.45261419029e-02, -2.37332103958e-02, 2.66707059264e-02,
69                                6.26216795430e-03, -1.30514809466e-02, 1.18630033858e-04, 4.94334360546e-03,
70                                -1.11873266699e-03, -1.34059629833e-03, 6.28465682965e-04, 2.13581561910e-04,
71                                -1.98648552311e-04, -1.53591712353e-07, 3.74123788074e-05, -8.52060253744e-06,
72                                -3.33263447888e-06, 1.76871298362e-06, -7.69163268988e-08, -1.17609876702e-07,
73                                3.06883586304e-08, -2.50793445494e-09}));;
74    filtros.add(new Filtro("DAUB38", new double[]{1.10866976318e-03, 1.42810984507e-02,
75                                8.12781132654e-02, 2.64388431740e-01, 5.24436377464e-01, 6.01704549127e-01,
76                                2.60894952651e-01, -2.28091394215e-01, -2.85838631755e-01, 7.46522697081e-02,
77                                2.12349743306e-01, -3.35185419023e-02, -1.42785695038e-01, 2.75843506256e-02,
78                                8.69067555558e-02, -2.65012362501e-02, -4.56742262772e-02, 2.16237674095e-02,
79                                1.93755498891e-02, -1.39883886785e-02, -5.86692228101e-03, 7.04074736710e-03,
80                                7.68954359257e-04, -2.68755180070e-03, 3.41808653458e-04, 7.35802520505e-04,
81                                });

```

```

-2.60676135678e-04, -1.24600791734e-04, 8.71127046721e-05, 5.10595048707e-06,
-1.66401762971e-05, 3.01096431629e-06, 1.53193147669e-06, -6.86275565776e-07,
1.44708829879e-08, 4.63693777578e-08, -1.11640206703e-08, 8.66684883899e-10}}));
30    filtros.add(new Filtro("DAUB40", new double[]{7.79953613666e-04, 1.05493946249e-02,
6.34237804590e-02, 2.19942113551e-01, 4.72696185310e-01, 6.10493238938e-01,
3.61502298739e-01, -1.39212088011e-01, -3.26786800434e-01, -1.67270883090e-02,
2.28291050819e-01, 3.98502464577e-02, -1.55458750707e-01, -2.47168273386e-02,
1.02291719174e-01, 5.63224685730e-03, -6.17228996246e-02, 5.87468181181e-03,
3.22942995307e-02, -8.78932492390e-03, -1.38105261371e-02, 6.72162730225e-03,
4.42054238704e-03, -3.58149425960e-03, -8.31562172822e-04, 1.39255961932e-03,
-5.34975984399e-05, -3.85104748699e-04, 1.01532889736e-04, 6.77428082837e-05,
-3.71058618339e-05, -4.37614386218e-06, 7.24124828767e-06, -1.01199401001e-06,
-6.84707959700e-07, 2.63392422627e-07, 2.01432202355e-10, -1.81484324829e-08,
4.05612705555e-09, -2.99883648961e-10}}));
31    filtros.add(new Filtro("DAUB42", new double[]{5.48822509852e-04, 7.77663905235e-03,
4.92477715381e-02, 1.81359625440e-01, 4.19687944939e-01, 6.01506094935e-01,
4.44590451927e-01, -3.57229196172e-02, -3.35664089530e-01, -1.12397071568e-01,
2.11564527680e-01, 1.15233298439e-01, -1.39940424932e-01, -8.17759429808e-02,
9.66003903237e-02, 4.57234057492e-02, -6.49775048937e-02, -1.86538592021e-02,
3.97268354278e-02, 3.35775639033e-03, -2.08920536779e-02, 2.40347092080e-03,
8.98882438197e-03, -2.89133434858e-03, -2.95837403893e-03, 1.71660704063e-03,
6.39418500512e-04, -6.90671117082e-04, -3.19640627768e-05, 1.93664650416e-04,
-3.63552025008e-05, -3.49966598498e-05, 1.53548250927e-05, 2.79033053981e-06,
-3.09001716454e-06, 3.16609544236e-07, 2.99213663046e-07, -1.00040087903e-07,
-2.25401497467e-09, 7.05803354123e-09, -1.47195419765e-09, 1.03880557102e-10}}));
32    filtros.add(new Filtro("DAUB44", new double[]{3.86263231491e-04, 5.72185463133e-03,
3.80699372364e-02, 1.48367540890e-01, 3.67728683446e-01, 5.78432731009e-01,
5.07901090622e-01, 7.37245011836e-02, -3.12726580428e-01, -2.00568406104e-01,
1.64093188106e-01, 1.79973187992e-01, -9.71107984091e-02, -1.31768137686e-01,
6.80763143927e-02, 8.45573763668e-02, -5.13642542974e-02, -4.65308118275e-02,
3.69708466206e-02, 2.05867076275e-02, -2.34800013444e-02, -6.21378284936e-03,
1.25647252183e-02, 3.00137398507e-04, -5.45569198615e-03, 1.04426073918e-03,
1.82701049565e-03, -7.70690988123e-04, -4.23787399839e-04, 3.28609414213e-04,
4.34589990453e-05, -9.40522363481e-05, 1.13743496621e-05, 1.73737569575e-05,
-6.16672931646e-06, -1.56517913199e-06, 1.29518205731e-06, -8.77987987336e-08,
-1.28333622875e-07, 3.76122874933e-08, 1.68017140492e-09, -2.72962314663e-09,
5.33593882166e-10, -3.60211348433e-11}}));
33    filtros.add(new Filtro("DAUB46", new double[]{2.71904194128e-04, 4.20274889318e-03,
2.93100036578e-02, 1.20515531783e-01, 3.18450813852e-01, 5.44931147873e-01,
5.51018517241e-01, 1.81392625363e-01, -2.61392148030e-01, -2.71402098607e-01,
9.21254070824e-02, 2.23573658242e-01, -3.30374470942e-02, -1.64011321531e-01,
2.02830745756e-02, 1.12297043618e-01, -2.11262123562e-02, -7.02073915749e-02,
2.17658568344e-02, 3.84953325225e-02, -1.85235136501e-02, -1.75371010030e-02,
1.27519439315e-02, 6.03184065002e-03, -7.07531927370e-03, -1.13486547335e-03,
3.12287644981e-03, -2.46501400516e-04, -1.06123122888e-03, 3.19420492709e-04,
2.56762452007e-04, -1.50021850349e-04, -3.37889483412e-05, 4.42607120310e-05,
-2.63520788924e-06, -8.34787556785e-06, 2.39756954684e-06, 8.14757483477e-07,
-5.33900540520e-07, 1.85309178563e-08, 5.41754917953e-08, -1.39993549543e-08,
-9.47288590181e-10, 1.05044645369e-09, -1.93240511131e-10, 1.25020330235e-11}}));
34    filtros.add(new Filtro("DAUB48", new double[]{1.91435800947e-04, 3.08208171490e-03,
2.24823399497e-02, 9.72622358336e-02, 2.72908916067e-01, 5.04371040839e-01,
5.74939221095e-01, 2.80985553233e-01, -1.87271406885e-01, -3.17943078999e-01,
4.77661368434e-03, 2.39237388780e-01, 4.25287296414e-02, -1.71175351370e-01,
-3.87771735779e-02, 1.21016303469e-01, 2.09801137091e-02, -8.21616542080e-02,
-4.57843624181e-03, 5.13016200399e-02, -4.94470942812e-03, -2.82131070949e-02,
7.66172188164e-03, 1.30499708710e-02, -6.29143537001e-03, -4.74656878632e-03,
3.73604617828e-03, 1.15376493683e-03, -1.69645681897e-03, -4.41618485614e-05,
5.86127059318e-04, -1.18123323796e-04, -1.46007981776e-04, 6.55938863930e-05,
2.18324146046e-05, -2.02288829261e-05, 1.34115775080e-08, 3.90110033859e-06,

```

```

35   -8.98025314393e-07, -4.03250775687e-07, 2.16633965327e-07, -5.05764541979e-10,
-2.25574038817e-08, 5.15777678967e-09, 4.74837582425e-10, -4.02465864458e-10,
6.99180115763e-11, -4.34278250380e-12}}));
36   filtros.add(new Filtro("DAUB50", new double[]{1.34802979347e-04, 2.25695959185e-03,
1.71867412540e-02, 7.80358628721e-02, 2.31693507886e-01, 4.59683415146e-01,
5.81636896746e-01, 3.67885074802e-01, -9.71746409646e-02, -3.36473079641e-01,
-8.75876145876e-02, 2.24537819745e-01, 1.18155286719e-01, -1.50560213750e-01,
-9.85086152899e-02, 1.06633805018e-01, 6.67521644940e-02, -7.70841110565e-02,
-3.71739628611e-02, 5.36179093987e-02, 1.55426059291e-02, -3.40423204606e-02,
-3.07983679484e-03, 1.89228044766e-02, -1.98942578220e-03, -8.86070261804e-03,
2.72693625873e-03, 3.32270777397e-03, -1.84248429020e-03, -8.99977423746e-04,
8.77258193674e-04, 1.15321244046e-04, -3.09880099098e-04, 3.54371452327e-05,
7.90464000396e-05, -2.73304811996e-05, -1.27719529319e-05, 8.99066139306e-06,
5.23282770815e-07, -1.77920133265e-06, 3.21203751886e-07, 1.92280679014e-07,
-8.65694173227e-08, -2.61159855611e-09, 9.27922448008e-09, -1.88041575506e-09,
-2.22847491022e-10, 1.53590157016e-10, -2.52762516346e-11, 1.50969208282e-
36 12}));;
37   filtros.add(new Filtro("DAUB52", new double[]{9.49379575071e-05, 1.65052023353e-03,
1.30975542925e-02, 6.22747440251e-02, 1.95039438716e-01, 4.13292962278e-01,
5.73669043034e-01, 4.39158311789e-01, 1.77407678098e-03, -3.26384593691e-01,
-1.74839961289e-01, 1.81291832311e-01, 1.82755409589e-01, -1.04323900285e-01,
-1.47977193275e-01, 6.98231861132e-02, 1.06482405249e-01, -5.34485616814e-02,
-6.86547596040e-02, 4.22321857963e-02, 3.85357159711e-02, -3.13781103630e-02,
-1.77609035683e-02, 2.07349201799e-02, 5.82958055531e-03, -1.17854979061e-02,
-5.28738399262e-04, 5.60194723942e-03, -9.39058250473e-04, -2.14553028156e-03,
8.38348805654e-04, 6.16138220457e-04, -4.31955707426e-04, -1.06057474828e-04,
1.57479523860e-04, -5.27779549303e-06, -4.10967399639e-05, 1.07422154087e-05,
7.00007868296e-06, -3.88740016185e-06, -4.65046322064e-07, 7.93921063370e-07,
-1.07900423757e-07, -8.90446637016e-08, 3.40779562129e-08, 2.16932825985e-09,
-3.77601047853e-09, 6.78004724582e-10, 1.00230319104e-10, -5.84040818534e-
38 11, 9.13051001637e-12, -5.25187122424e-13}}));
39   filtros.add(new Filtro("DAUB54", new double[]{6.68713138543e-05, 1.20553123167e-03,
9.95258878087e-03, 4.94525999829e-02, 1.62922027502e-01, 3.67110214125e-01,
5.53849860990e-01, 4.93406122677e-01, 1.02840855061e-01, -2.89716803314e-01,
-2.48264581903e-01, 1.14823019517e-01, 2.27273288414e-01, -3.87864186318e-02,
-1.78031740959e-01, 1.57993974602e-02, 1.31197971717e-01, -1.40627515558e-02,
-9.10229065295e-02, 1.73110182654e-02, 5.79694057347e-02, -1.85124935619e-02,
-3.27390666310e-02, 1.61469669223e-02, 1.56655956489e-02, -1.15771864589e-02,
-5.86209634546e-03, 6.85663560968e-03, 1.34262687730e-03, -3.33285446952e-03,
1.45752962593e-04, 1.30117745024e-03, -3.41835122691e-04, -3.87901857410e-04,
2.01971987969e-04, 7.66005838706e-05, -7.71114551779e-05, -3.51748361490e-06,
2.06344264773e-05, -3.90116407063e-06, -3.65750090818e-06, 1.63436962472e-06,
3.05088068625e-07, -3.47246814739e-07, 3.28655896805e-08, 4.02625505286e-08,
-1.32133227399e-08, -1.30946560685e-09, 1.52161498477e-09, -2.41552692801e-10,
40 -4.37498622429e-11, 2.21366208806e-11, -3.29579012247e-12, 1.82818835288e-13}}));
41   //27
42   filtros.add(new Filtro("DAUB56", new double[]{4.71080777501e-05, 8.79498515984e-04,
7.54265037764e-03, 3.90926081154e-02, 1.35137914253e-01, 3.22563361285e-01,
5.24998231630e-01, 5.30516293441e-01, 2.00176144045e-01, -2.30498954047e-01,
-3.01327809532e-01, 3.28578791633e-02, 2.45808151373e-01, 3.69068853157e-02,
-1.82877330732e-01, -4.68382337445e-02, 1.34627567910e-01, 3.44786312750e-02,
-9.76853558056e-02, -1.73419228313e-02, 6.77478955019e-02, 3.44801895554e-03,
-4.33333686160e-02, 4.43173291006e-03, 2.46880600101e-02, -6.81554976455e-03,
-1.20635919682e-02, 5.83881662774e-03, 4.78486311245e-03, -3.72546124707e-03,
-1.36037384563e-03, 1.87599866820e-03, 1.41567239314e-04, -7.48674955911e-04,
1.15465606365e-04, 2.29579098223e-04, -8.90390149004e-05, -4.90771341619e-05,
3.64140121105e-05, 4.63866498139e-06, -1.00432604133e-05, 1.24790031757e-06,
1.84036373451e-06, -6.67021547995e-07, -1.75746117320e-07, 1.49066001353e-07,
-8.26238731562e-09, -1.78413869087e-08, 5.04404705638e-09, 6.94454032894e-10, -

```

```

43 6.07704124722e-10, 8.49222001105e-11, 1.86736726378e-11, -8.36549047125e-12,
44   1.18885053340e-12, -6.36777235471e-14}}));
45   filtros.add(new Filtro("DAUB58", new double[]{3.31896627984e-05, 6.40951680304e-04,
46     5.70212651777e-03, 3.07735802214e-02, 1.11370116951e-01, 2.80653455970e-01,
47     4.89758804762e-01, 5.51374432758e-01, 2.89105238335e-01, -1.54028734459e-01,
48     -3.30040948917e-01, -5.57068000729e-02, 2.36105236153e-01, 1.12419174873e-01,
49     -1.60877988594e-01, -1.07845949938e-01, 1.14472295893e-01, 8.32207471624e-02,
50     -8.51254926156e-02, -5.50274895253e-02, 6.34791645842e-02, 3.05315432727e-02,
51     -4.51879812777e-02, -1.29171425542e-02, 2.94704318717e-02, 2.64832730767e-03,
52     -1.70412245736e-02, 1.73788033272e-03, 8.46972549356e-03, -2.55080712778e-03,
53     -3.47379898968e-03, 1.87712092572e-03, 1.08705394222e-03, -1.00077832708e-03,
54     -2.00071136307e-04, 4.11128345474e-04, -2.29201804121e-05, -1.29304484008e-04,
55     3.64502606856e-05, 2.91334475016e-05, -1.65732839530e-05, -3.59364480402e-06,
56     4.75060924645e-06, -3.02905459205e-07, -8.97570175063e-07, 2.63389838699e-07,
57     9.38719741109e-08, -6.28615692201e-08, 1.07659190661e-09, 7.76897885477e-09,
58   -1.89399538617e-09, -3.42680086326e-10, 2.40709945350e-10, -2.94058925076e-11,
59   -7.83250973362e-12, 3.15276241337e-12, -4.28565487006e-13, 2.21919131158e-14}});
60   filtros.add(new Filtro("DAUB60", new double[]{2.33861617273e-05, 4.66637950428e-04,
61     4.30079716504e-03, 2.41308326715e-02, 9.12383040670e-02, 2.42020670940e-01,
62     4.50487821853e-01, 5.57572232912e-01, 3.66242683371e-01, -6.61836707759e-02,
63     -3.32966975020e-01, -1.41968513330e-01, 1.99462121580e-01, 1.77829873244e-01,
64     -1.14558219432e-01, -1.57236817959e-01, 7.27786589703e-02, 1.22747746045e-01,
65     -5.38064654582e-02, -8.76586900363e-02, 4.38016646714e-02, 5.67123657447e-02,
66     -3.56733974967e-02, -3.22637589193e-02, 2.70786195952e-02, 1.52879607698e-02,
67     -1.83997438681e-02, -5.29685966613e-03, 1.09156316583e-02, 6.19671756497e-04,
68     -5.53073014819e-03, 8.43384586662e-04, 2.32452009406e-03, -8.60927696811e-04,
69     -7.67878250438e-04, 5.05094823903e-04, 1.72482584235e-04, -2.16171830116e-04,
70     -8.54830546758e-06, 6.98200837080e-05, -1.33971686329e-05, -1.63615247872e-05,
71     7.25214553589e-06, 2.32754909849e-06, -2.18726767699e-06, 1.09947433852e-08,
72     4.26166232601e-07, -1.00041468235e-07, -4.76437996513e-08, 2.60544275497e-08,
73   5.55339786139e-10, -3.33110568046e-09, 6.98486269183e-10, 1.61362297827e-10,
74   -9.46138799727e-11, 1.00010513139e-11, 3.23942863853e-12, -1.18523759210e-12,
75   1.54399757084e-13, -7.73794263095e-15}});
76   filtros.add(new Filtro("DAUB62", new double[]{1.64801338645e-05, 3.39412203776e-04,
77     3.23688406862e-03, 1.88536916129e-02, 7.43360930116e-02, 2.07012874485e-01,
78     4.09192200037e-01, 5.51139840914e-01, 4.29468808206e-01, 2.71692124973e-02,
79     -3.10955118319e-01, -2.17978485523e-01, 1.40178288765e-01, 2.24966711473e-01,
80     -4.99263491604e-02, -1.86962360895e-01, 1.54369884294e-02, 1.45089500931e-01,
81     -8.13983227346e-03, -1.07612773323e-01, 1.09412974523e-02, 7.53536117432e-02,
82     -1.48800266181e-02, -4.86190754648e-02, 1.61541715659e-02, 2.80476193667e-02,
83     -1.42762752777e-02, -1.39005529392e-02, 1.05176394873e-02, 5.51616357331e-03,
84     -6.52085237587e-03, -1.42826422321e-03, 3.39306677671e-03, -6.39790110601e-05,
85     -1.45904174198e-03, 3.43139829690e-04, 4.99881617563e-04, -2.39658346940e-04,
86     -1.24341161725e-04, 1.08958435041e-04, 1.50133572744e-05, -3.63125515786e-05,
87     4.03452023518e-06, 8.79530134269e-06, -3.03514236589e-06, -1.36906023094e-06,
88     9.81001542204e-07, 5.32725065697e-08, -1.97592512917e-07, 3.61682651733e-08,
89   2.32830971382e-08, -1.06152960215e-08, -6.47431168795e-10, 1.40856815102e-09,
90   -2.52404395415e-10, -7.34893003248e-11, 3.69210880887e-11, -3.32700896712e-12,
91   -1.32433491724e-12, 4.44546709629e-13, -5.55944205057e-14, 2.69938287976e-15}});
92   //31
93   filtros.add(new Filtro("DAUB64", new double[]{1.16146330213e-05, 2.46656690638e-04,
94     2.43126191957e-03, 1.46810463814e-02, 6.02574991203e-02, 1.75750783639e-01,
95     3.67509628597e-01, 5.34317919340e-01, 4.77809163733e-01, 1.20630538265e-01,
96     -2.66698181476e-01, -2.77421581558e-01, 6.47133548055e-02, 2.48310642356e-01,
97     2.46624448396e-02, -1.92102344708e-01, -4.89951171846e-02, 1.45232079475e-01,
98     4.44049081999e-02, -1.09456113116e-01, -2.96278725084e-02, 8.08741406384e-02,
99     1.41061515161e-02, -5.69263140624e-02, -2.38026446493e-03, 3.70514579235e-02,
100    -4.14590766082e-03, -2.16628228363e-02, 6.16752731068e-03, 1.10174007154e-02,
101    -5.41156825727e-03, -4.64921675118e-03, 3.62722464068e-03, 1.46895510046e-03,
102  });

```

```

-1.96474055582e-03, -2.21167872957e-04, 8.67305851845e-04, -1.02453731060e-04,
-3.05965442382e-04, 1.05391546173e-04, 8.10367832913e-05, -5.25980928268e-05,
-1.29404577940e-05, 1.82426840198e-05, -6.36178153226e-07, -4.55830957626e-06,
1.20288903632e-06, 7.56004762559e-07, -4.28597069315e-07, -5.00336186874e-
52 08, 8.96596631195e-08, -1.21992435948e-08, -1.10438302172e-08, 4.25042231198e-09,
4.38438779994e-10, -5.88109146263e-10, 8.90472379622e-11, 3.26327074133e-11,
-1.43091876516e-11, 1.07561065350e-12, 5.36148222961e-13, -1.66380048943e-13,
2.00071530381e-14, -9.42101913953e-16}});

53   filtros.add(new Filtro("DAUB66", new double[]{8.18635831417e-06, 1.79101615370e-04,
1.82270943516e-03, 1.13959433745e-02, 4.86146665317e-02, 1.48186313180e-01,
3.26718130117e-01, 5.09376172514e-01, 5.11254770583e-01, 2.09582350713e-01,
-2.04202622398e-01, -3.15997410766e-01, -1.92783394369e-02, 2.45420612119e-01,
9.98515586803e-02, -1.71428099051e-01, -1.10844133116e-01, 1.21967856403e-01,
9.47880880506e-02, -9.11469683513e-02, -7.03024850540e-02, 7.01911439409e-02,
4.57345618938e-02, -5.34712513358e-02, -2.52485829774e-02, 3.86870607602e-02,
1.07032658200e-02, -2.57287617547e-02, -2.16775861735e-03, 1.53169541158e-02,
-1.59428878241e-03, -7.95354038705e-03, 2.38906240816e-03, 3.48080095340e-03,
-1.86071821445e-03, -1.20430925760e-03, 1.07438069635e-03, 2.72730584733e-04,
-4.90832900759e-04, 4.39316625176e-06, 1.78043189825e-04, -4.16043851627e-05,
-4.92956442341e-05, 2.42333539881e-05, 9.07080575782e-06, -8.86612136675e-06,
-3.60751610287e-07, 2.28837127614e-06, -4.42692340795e-07, -3.98579129198e-
54 07, 1.82244333257e-07, 3.37797270373e-08, -3.98783819851e-08, 3.67286357683e-09,
5.11121185734e-09, -1.67139267725e-09, -2.49640210524e-10, 2.42683310230e-10,
-3.04957445394e-11, -1.42023685988e-11, 5.50941472076e-12, -3.34348121895e-13,
-2.15248838683e-13, 6.21474024717e-14, -7.19651054536e-15, 3.28937367841e-16}});

55   filtros.add(new Filtro("DAUB68", new double[]{5.77051063273e-06, 1.29947620067e-04,
1.36406139005e-03, 8.81988940388e-03, 3.90488413517e-02, 1.24152482111e-01,
2.87765059233e-01, 4.78478746279e-01, 5.30555099656e-01, 2.90366329507e-01,
-1.28246842174e-01, -3.31525301508e-01, -1.03891915515e-01, 2.16907220187e-01,
1.66601750412e-01, -1.27337358223e-01, -1.60924927177e-01, 7.79918469379e-02,
1.34125960271e-01, -5.44829680641e-02, -1.02947596992e-01, 4.35760946496e-02,
7.31852354367e-02, -3.70128384178e-02, -4.74385596452e-02, 3.07397465739e-02,
2.72283507563e-02, -2.36717379228e-02, -1.31439800166e-02, 1.64093741998e-02,
4.71364926099e-03, -1.00455067083e-02, -6.19474884515e-04, 5.33495076875e-03,
-7.69212797506e-04, -2.39945394353e-03, 8.58995987436e-04, 8.75199906407e-04,
-5.52735576214e-04, -2.32673214023e-04, 2.65077239755e-04, 2.66005001845e-05,
-9.91469777078e-05, 1.35311722724e-05, 2.84495141969e-05, -1.05765749425e-05,
-5.71082651099e-06, 4.16987175854e-06, 4.97971810142e-07, -1.11630653481e-06,
56 1.44819570833e-07, 2.02599066666e-07, -7.52670174041e-08, -1.99034650153e-08,
1.74042333293e-08, -8.66574426136e-10, -2.31650194699e-09, 6.44637821032e-10,
1.30041031860e-10, -9.90477453763e-11, 1.00420873546e-11, 6.08012535400e-12,
-2.10787910891e-12, 9.79945115821e-14, 8.57919405179e-14, -2.31708370390e-14,
2.58733838193e-15, -1.14894475448e-16}}));

57   filtros.add(new Filtro("DAUB70", new double[]{4.06793406114e-06, 9.42146947557e-05,
1.01912268037e-03, 6.80729288431e-03, 3.12362885114e-02, 1.03404455861e-01,
2.51307378994e-01, 4.43592739224e-01, 5.37008427509e-01, 3.60345640518e-01,
-4.38838818739e-02, -3.23822864912e-01, -1.81786976766e-01, 1.66041357490e-01,
2.17299289321e-01, -6.52628713106e-02, -1.91919589298e-01, 1.93095446660e-02,
1.55292480396e-01, -4.75268083411e-03, -1.20585522643e-01, 4.73422917264e-03,
8.99135475707e-02, -9.31855894990e-03, -6.33560374404e-02, 1.32285495850e-02,
4.12546930647e-02, -1.43668397842e-02, -2.41694978016e-02, 1.27664567156e-02,
1.22894360081e-02, -9.57779789923e-03, -5.08599164923e-03, 6.13775458674e-03,
1.42808879407e-03, -3.35764438092e-03, 7.61596943517e-06, 1.54963746970e-03,
-3.34669216425e-04, -5.86481031899e-04, 2.64832881996e-04, 1.70001228366e-04,
-1.36588307226e-04, -2.97699596284e-05, 5.30414312291e-05, -2.43700152682e-06,
-1.57244207727e-05, 4.30804786171e-06, 3.35334586287e-06, -1.89592961769e-06,
58 -3.90393173328e-07, 5.30236861690e-07, -3.70030837820e-08, -9.99039694453e-08,
3.00818865071e-08, 1.08490273378e-08, -7.45811655289e-09, 5.89795131038e-11,
1.03082334548e-09, -2.43354557375e-10, -6.40793825650e-11, 4.00053662725e-11,

```

```

59 -3.12563935710e-12, -2.56706547615e-12, 8.01508853368e-13, -2.59795432889e-14,
-3.39772085679e-14, 8.62403743472e-15, -9.29801252932e-16, 4.01462871233e-17}}));
60 filtros.add(new Filtro("DAUB72", new double[]{2.86792518275e-06, 6.82602867854e-05,
7.60215109966e-04, 5.24029737740e-03, 2.48905656448e-02, 8.56520925952e-02,
2.17756953097e-01, 4.06433697708e-01, 5.32266895260e-01, 4.17875335600e-01,
4.39751975293e-02, -2.94421039589e-01, -2.46807036978e-01, 9.81142041631e-02,
2.46537277608e-01, 7.27851509579e-03, -1.99337205608e-01, -4.58614007463e-02,
1.54106236627e-01, 5.02761800735e-02, -1.18803754310e-01, -3.98808535755e-02,
9.11567822580e-02, 2.50387214495e-02, -6.82090166368e-02, -1.13191003168e-02,
4.85130835478e-02, 1.42497266176e-03, -3.19807206776e-02, 3.98404019871e-03,
1.90635947806e-02, -5.65781324505e-03, -9.99026347328e-03, 5.02298910666e-03,
4.41348483535e-03, -3.48454144540e-03, -1.50307406629e-03, 1.99079377185e-03,
2.77681279571e-04, -9.46340382326e-04, 8.61456575899e-05, 3.69350728496e-04,
-1.15511889584e-04, -1.13189946808e-04, 6.69474119693e-05, 2.37510668366e-05,
-2.73139082465e-05, -1.18347105998e-06, 8.37221819816e-06, -1.58614578243e-06, -
1.87081160285e-06, 8.31142127970e-07, 2.54842352255e-07, -2.45537765843e-07,
2.75324907333e-09, 4.79904346545e-08, -1.15609368881e-08, -5.61278434332e-09,
3.13884169578e-09, 1.09081555371e-10, -4.51254577856e-10, 8.96241820385e-11,
3.03742909811e-11, -1.59971668926e-11, 8.87684628721e-13, 1.07096935711e-12,
-3.02928502697e-13, 5.54226318263e-15, 1.33807138629e-14, -3.20462854340e-15,
3.33997198481e-16, -1.40327417537e-17}}));
61 filtros.add(new Filtro("DAUB74", new double[]{2.02206086249e-06, 4.94234375062e-05,
5.66241837706e-04, 4.02414036825e-03, 1.97622861538e-02, 7.05848259771e-02,
1.87326331862e-01, 3.68440972400e-01, 5.18167040855e-01, 4.62207553661e-01,
1.30878963233e-01, -2.46180429761e-01, -2.94375915262e-01, 1.96715004523e-02,
2.51523254360e-01, 8.18060283872e-02, -1.81962291778e-01, -1.08451713823e-01,
1.29929646959e-01, 1.01780296838e-01, -9.66075406166e-02, -8.23302119065e-02,
7.50476199483e-02, 5.95674108715e-02, -5.92568156326e-02, -3.82538294793e-02,
4.58079441512e-02, 2.09728005925e-02, -3.35235840641e-02, -8.83349389041e-03,
2.26186515445e-02, 1.69047238348e-03, -1.37639819628e-02, 1.51930577883e-03,
7.38775745285e-03, -2.24805318700e-03, -3.39452327640e-03, 1.81687134380e-03,
1.26393425811e-03, -1.11148486531e-03, -3.28078847088e-04, 5.49053277337e-04,
1.53443902319e-05, -2.20894403245e-04, 4.33672612594e-05, 7.05513878206e-05,
-3.09866292761e-05, -1.63916249616e-05, 1.35432771841e-05, 1.84994500311e-06, -
4.30994155659e-06, 4.85473139699e-07, 1.00212139929e-06, -3.49494860344e-07,
-1.50988538867e-07, 1.10903123221e-07, 5.35065751546e-09, -2.25219383672e-08,
4.22448570636e-09, 2.79397446595e-09, -1.29720500146e-09, -1.03141112909e-10,
1.94616489408e-10, -3.20339824412e-11, -1.39841571553e-11, 6.33495544097e-12,
-2.09636319423e-13, -4.42161240987e-13, 1.13805283092e-13, -4.51888960746e-16,
-5.24302569188e-15, 1.18901238750e-15, -1.19928033585e-16, 4.90661506493e-18}}));
62 filtros.add(new Filtro("DAUB76", new double[]{1.42577664167e-06, 3.57625199426e-05,
4.21170266472e-04, 3.08308811925e-03, 1.56372493475e-02, 5.78899436128e-02,
1.60071993564e-01, 3.30775781411e-01, 4.96591175311e-01, 4.93356078517e-01,
2.13050571355e-01, -1.82867667708e-01, -3.21675637808e-01, -6.22665060478e-02,
2.32125963835e-01, 1.49985119618e-01, -1.41795685973e-01, -1.59912565158e-01,
8.56381215561e-02, 1.41414734073e-01, -5.65864586307e-02, -1.14731170710e-01,
4.30958954330e-02, 8.72043982620e-02, -3.66051034028e-02, -6.17662087084e-02,
3.19898775315e-02, 4.00549811051e-02, -2.68914938808e-02, -2.31141340205e-02,
2.09046452556e-02, 1.12904972786e-02, -1.47018820653e-02, -4.13130665603e-03,
9.21478503219e-03, 5.62571574840e-04, -5.07131450921e-03, 7.16982182106e-04,
2.40069778189e-03, -8.44862666553e-04, -9.42461407722e-04, 5.81075975053e-04,
2.81763925038e-04, -3.03102046072e-04, -4.55568269666e-05, 1.26204335016e-04,
-1.15540910383e-05, -4.17514164854e-05, 1.33417614992e-05, 1.03735918404e-05,
-6.45673042846e-06, -1.55084435011e-06, 2.14996026993e-06, -8.48708758607e-08,
-5.18773373887e-07, 1.39637754550e-07, 8.40035104689e-08, -4.88475793745e-08,
-5.42427480028e-09, 1.03470453927e-08, -1.43632948779e-09, -1.34919775398e-09,
5.26113255735e-10, 6.73233649018e-11, -8.27825652253e-11, 1.10169293459e-11,
6.29153731703e-12, -2.48478923756e-12, 2.62649650406e-14, 1.80866123627e-13,
-4.24981781957e-14, -4.56339716212e-16, 2.04509967678e-15, -4.40530704248e-16,
```

```

4.30459683955e-17, -1.71615245108e-18}});

65     filtros.add(new Filtro("SYM8", new double[]{0.032223100604, -0.012603967262,
66         -0.099219543577, 0.297857795606, 0.803738751807, 0.497618667633, -0.029635527646,
67         -0.075765714789}));;
68     filtros.add(new Filtro("SYM16", new double[]{0.001889950333, -0.000302920515,
69         -0.014952258337, 0.003808752014, 0.049137179674, -0.027219029917,
70         -0.051945838108, 0.364441894835, 0.777185751701, 0.481359651258, -0.061273359068,
71         -0.143294238351, 0.007607487325, 0.031695087811, -0.000542132332,
72         -0.003382415951}));;
73     filtros.add(new Filtro("COIF6", new double[]{-0.072732619513, 0.337897662458,
74         0.852572020212, 0.384864846864, -0.072732619513, -0.015655728135}));;
75     filtros.add(new Filtro("COIF12", new double[]{0.016387336464, -0.041464936782,
76         -0.067372554722, 0.386110066823, 0.812723635450, 0.417005184424, -0.076488599079,
77         -0.059434418647, 0.023680171946, 0.005611434819, -0.001823208871,
78         -0.000720549445}));;
79     filtros.add(new Filtro("COIF18", new double[]{-0.003793512864, 0.007782596427,
80         0.023452696142, -0.065771911282, -0.061123390003, 0.405176902410, 0.793777222626,
81         0.428483476378, -0.071799821619, -0.082301927107, 0.034555027573, 0.015880544864,
82         -0.009007976137, -0.002574517689, 0.001117518771, 0.000466216960,
83         -0.000070983303, -0.000034599773}));;
84     filtros.add(new Filtro("COIF24", new double[]{0.000892313669, -0.001629492013,
85         -0.007346166328, 0.016068943965, 0.026682300156, -0.081266699681,
86         -0.056077313317, 0.415308407030, 0.782238930921, 0.434386056491, -0.066627474263,
87         -0.096220442034, 0.039334427123, 0.025082261845, -0.015211731528,
88         -0.005658286687, 0.003751436157, 0.001266561929, -0.000589020756,
89         -0.000259974552, 0.000062339034, 0.000031229876, -0.000003259680,
90         -0.000001784985}));;
91     filtros.add(new Filtro("COIF30", new double[]{-0.000212080840, 0.000358589688,
92         0.002178236358, -0.004159358782, -0.010131117521, 0.023408156788, 0.028168028974,
93         -0.091920010569, -0.052043163181, 0.421566206733, 0.774289603730, 0.437991626216,
94         -0.062035963969, -0.105574208714, 0.041289208754, 0.032683574270,
95         -0.019761778945, -0.009164231163, 0.006764185449, 0.002433373213,
96         -0.001662863702, -0.000638131343, 0.000302259582, 0.000140541150,
97         -0.000041340432, -0.000021315027, 0.000003734655, 0.000002063762,
98         -0.000000167443, -0.000000095177}));;
99     filtros.add(new Filtro("BEYLKIN18", new double[]{0.099305765374353,
100        0.424215360812961, 0.699825214056600, 0.449718251149468, -0.110927598348234,
101        -0.264497231446384, 0.026900308803690, 0.155538731877093, -0.017520746266529,
102        -0.088543630622924, 0.019679866044322, 0.042916387274192, -0.017460408696028,
103        -0.014365807968852, 0.010040411844631, 0.0014842347824723, -0.002736031626258,
104        0.0006404853285212}));;
105    filtros.add(new Filtro("VAIDYANATHAN24", new double[]{-0.000062906118,
106        0.000343631905, -0.000453956620, -0.000944897136, 0.002843834547, 0.000708137504,
107        -0.008839103409, 0.003153847056, 0.019687215010, -0.014853448005,
108        -0.035470398607, 0.038742619293, 0.055892523691, -0.077709750902,
109        -0.083928884366, 0.131971661417, 0.135084227129, -0.194450471766,
110        -0.263494802488, 0.201612161775, 0.635601059872, 0.572797793211, 0.250184129505,
111        0.045799334111}));;
112}

113

114    public static List<Filtro> getFiltros() {
115        return filtros;
116    }

117

118    public static Double[] energias(Wave wave, Filtro filtro, boolean isNivelMaximo) {
119
120        // normalizando
121        Double dados[] = normalizaWave(wave);

```

```

85 // Calculando o nivel maximo que se pode decompor o vetor
86 int nivelMaximo = (int) (Math.log(dados.length) / Math.log(2));
87
88 int nivel = nivelMaximo;
89
90 if (!isNivelMaximo)
91     nivel /= 2; // nivel medio
92
93 // Transformada Wavelet Packet nivel MaxIMO
94 TransformadaWavelet.transformada_wavelet_packet_nivel_k(dados, nivel, filtro);
95
96 // Definindo o numero de sub-bandas
97 int s = 25;
98
99 // Definindo a resolucao
100 double r = (Integer.parseInt(wave.getTaxaAmostragem())) / Math.pow(2, nivel + 1);
101 // System.out.println("Resolucao: "+r);
102
103 // Definindo o vetor de caracteristicas a partir da escala bark
104 int inicio = 0;
105 int fim = 0;
106 Double[] energia = new Double[s];
107 Arrays.fill(energia, 0.0); // inicializando o vetor de objetos
108
109 for (int i = 0; i < s; i++) {
110     switch (i) {
111         case 0:
112             inicio = 0;
113             fim = (int) (100 / r);
114             break;
115         case 1:
116             inicio = (int) (100 / r) + 1;
117             fim = (int) (200 / r);
118             break;
119         case 2:
120             inicio = (int) (200 / r) + 1;
121             fim = (int) (300 / r);
122             break;
123         case 3:
124             inicio = (int) (300 / r) + 1;
125             fim = (int) (400 / r);
126             break;
127         case 4:
128             inicio = (int) (400 / r) + 1;
129             fim = (int) (510 / r);
130             break;
131         case 5:
132             inicio = (int) (510 / r) + 1;
133             fim = (int) (630 / r);
134             break;
135         case 6:
136             inicio = (int) (630 / r) + 1;
137             fim = (int) (770 / r);
138             break;
139         case 7:
140             inicio = (int) (770 / r) + 1;
141             fim = (int) (920 / r);
142             break;
143         case 8:

```

```
144     inicio = (int) (920 / r) + 1;
145     fim = (int) (1080 / r);
146     break;
147 case 9:
148     inicio = (int) (1080 / r) + 1;
149     fim = (int) (1270 / r);
150     break;
151 case 10:
152     inicio = (int) (1270 / r) + 1;
153     fim = (int) (1480 / r);
154     break;
155 case 11:
156     inicio = (int) (1480 / r) + 1;
157     fim = (int) (1720 / r);
158     break;
159 case 12:
160     inicio = (int) (1720 / r) + 1;
161     fim = (int) (2000 / r);
162     break;
163 case 13:
164     inicio = (int) (2000 / r) + 1;
165     fim = (int) (2320 / r);
166     break;
167 case 14:
168     inicio = (int) (2320 / r) + 1;
169     fim = (int) (2700 / r);
170     break;
171 case 15:
172     inicio = (int) (2700 / r) + 1;
173     fim = (int) (3150 / r);
174     break;
175 case 16:
176     inicio = (int) (3150 / r) + 1;
177     fim = (int) (3700 / r);
178     break;
179 case 17:
180     inicio = (int) (3700 / r) + 1;
181     fim = (int) (4400 / r);
182     break;
183 case 18:
184     inicio = (int) (4400 / r) + 1;
185     fim = (int) (5300 / r);
186     break;
187 case 19:
188     inicio = (int) (5300 / r) + 1;
189     fim = (int) (6400 / r);
190     break;
191 case 20:
192     inicio = (int) (6400 / r) + 1;
193     fim = (int) (7700 / r);
194     break;
195 case 21:
196     inicio = (int) (7700 / r) + 1;
197     fim = (int) (9500 / r);
198     break;
199 case 22:
200     inicio = (int) (9500 / r) + 1;
201     fim = (int) (12000 / r);
202     break;
```

```

203     case 23:
204         inicio = (int) (12000 / r) + 1;
205         fim = (int) (15500 / r);
206         break;
207     case 24:
208         inicio = (int) (15500 / r) + 1;
209         fim = (int) (22050 / r);
210         break;
211     }
212     for (int j = inicio; j < fim; j++) {
213         energia[i] += dados[j] * dados[j];
214     }
215 }
216
217 // Achando a maior amplitude em modulo
218 double maior_amplitude = 0.0;
219 for (int i = 0; i < s; i++) {
220     if (energia[i] > maior_amplitude) {
221         maior_amplitude = energia[i];
222     }
223 }
224
225 // Dividindo as amostras pelo modulo da maior delas
226 for (int i = 0; i < s; i++) {
227     energia[i] /= maior_amplitude;
228     // System.out.println("energia["+i+"]="+energia[i]);
229 }
230
231 return energia;
232 }
233
234 private static Double[] normalizaWave(Wave wave) {
235
236     Double[] dados = null;
237
238     try{
239         AbrirWave aw = new AbrirWave(wave);
240         dados = new Double[wave.getTamanhoChunk()];
241
242         for (int i = 0; i < dados.length; i++)
243             dados[i] = wave.getDoubleData()[i];
244
245         // Aumentando o comprimento do vetor e preenchendo com 0 ate que o comprimento
246         // fique sendo uma potencia de 2
247         int tamanhoOriginal = dados.length;
248         int y = 1;
249         while (y < tamanhoOriginal) {
250             y *= 2;
251         }
252         int tamanhoNovo = y;
253         Double[] c = new Double[tamanhoNovo];
254         Arrays.fill(c, 0.0);
255         System.arraycopy(dados, 0, c, 0, tamanhoOriginal);
256         dados=c;
257
258         // Achando a maior amplitude em modulo
259         double maiorAmplitude = Math.abs(Collections.max(Arrays.asList(dados)));
260
261         // Dividindo as amostras pela maior amplitude

```

```

261     for (int i=0; i<dados.length; i++)
262         dados[i]/=maiorAmplitude;
263
264
265         // Achando o valor medio do vetor e subtraindo de cada amostra
266         double valorMedio=0.0;
267         for (Double d: dados)
268             valorMedio+=d;
269         valorMedio = valorMedio/dados.length;
270         for (int i=0; i<dados.length; i++)
271             dados[i]=dados[i]-valorMedio;
272
273     }
274     catch(Exception e){
275         e.printStackTrace();
276     }
277
278     return dados;
279 }
280 }
```

```

1 // classe Wave
2 // encapsula os dados relacionados aos arquivos .wav
3 public class Wave {
4
5     private short[] rowData ;
6     private double[] doubleData ;
7     private FileReader leitorArquivo ;
8     private File arquivo ;
9     private int tamanho ;
10    private String tipoArquivo ;
11    private String formato ;
12    private String identificador ;
13    private int comprimentoChunk ;
14    private String categoriaFormato ;
15    private String numCanais ;
16    private String taxaAmostragem ;
17    private int mediaBits ;
18    private int alinhamento ;
19    private int resolucao ;
20    private String identificacao ;
21    private int tamanhoChunk ;
22    private String path ;
23    private FileInputStream fis ;
24
25    public Wave() {
26    }
27
28    public Wave(String path) {
29        this.path = path ;
30    }
31
32    public String getPath(){
33        return this.path ;
34    }
35 }
```

```
36     public void setPath(String path){  
37         this.path=path;  
38     }  
39  
40     public FileReader getLeitorArquivo () {  
41         return leitorArquivo;  
42     }  
43  
44     public void setLeitorArquivo(FileReader leitorArquivo) {  
45         this.leitorArquivo = leitorArquivo;  
46     }  
47  
48     public File getArquivo() {  
49         return arquivo;  
50     }  
51  
52     public void setArquivo(File arquivo) {  
53         this.arquivo = arquivo;  
54     }  
55  
56     public int getTamanho() {  
57         return tamanho;  
58     }  
59  
60     public void setTamanho(int tamanho) {  
61         this.tamanho = tamanho;  
62     }  
63  
64     public String getTipoArquivo() {  
65         return tipoArquivo;  
66     }  
67  
68     public void setTipoArquivo(String tipoArquivo) {  
69         this.tipoArquivo = tipoArquivo;  
70     }  
71  
72     public String getFormato () {  
73         return formato;  
74     }  
75  
76     public void setFormato(String formato) {  
77         this.formato = formato;  
78     }  
79  
80     public String getIndentificador() {  
81         return indentificador;  
82     }  
83  
84     public void setIndentificador(String indentificador) {  
85         this.indentificador = indentificador;  
86     }  
87  
88     public int getComprimentoChunk () {  
89         return comprimentoChunk ;  
90     }  
91  
92     public void setComprimentoChunk(int comprimentoChunk) {  
93         this.comprimentoChunk = comprimentoChunk ;  
94     }
```

```
95
96     public String getCategoriaFormato() {
97         return categoriaFormato;
98     }
99
100    public void setCategoriaFormato(String categoriaFormato) {
101        this.categoriaFormato = categoriaFormato;
102    }
103
104    public String getNumCanais() {
105        return numCanais;
106    }
107
108    public void setNumCanais(String numCanais) {
109        this.numCanais = numCanais;
110    }
111
112    public String getTaxaAmostragem() {
113        return taxaAmostragem;
114    }
115
116    public void setTaxaAmostragem(String taxaAmostragem) {
117        this.taxaAmostragem = taxaAmostragem;
118    }
119
120    public int getMediaBits() {
121        return mediaBits;
122    }
123
124    public void setMediaBits(int mediaBits) {
125        this.mediaBits = mediaBits;
126    }
127
128    public int getAlinhamento() {
129        return alinhamento;
130    }
131
132    public void setAlinhamento(int alinhamento) {
133        this.alinhamento = alinhamento;
134    }
135
136    public int getResolucao() {
137        return resolucao;
138    }
139
140    public void setResolucao(int resolucao) {
141        this.resolucao = resolucao;
142    }
143
144    public String getIdentificacao() {
145        return identificacao;
146    }
147
148    public void setIdentificacao(String identificacao) {
149        this.identificacao = identificacao;
150    }
151
152    public int getTamanhoChunk() {
153        return tamanhoChunk;
```

```

154 }
155
156 public void setTamanhoChunk(int comprimento) {
157     this.tamanhoChunk = comprimento;
158 }
159
160 public short[] getRowData() {
161     return rowData;
162 }
163
164 public void setRowData(short[] rowData) {
165     this.rowData = rowData;
166 }
167
168 public double[] getDoubleData() {
169     return doubleData;
170 }
171
172 public void setDoubleData(double[] doubleData) {
173     this.doubleData = doubleData;
174 }
175
176 /**
177 * @return the fis
178 */
179 public FileInputStream getFis() {
180     return fis;
181 }
182
183 /**
184 * @param fis the fis to set
185 */
186 public void setFis(FileInputStream fis) {
187     this.fis = fis;
188 }
189 }
```

```

1 // classe Filtro
2 // encapsula os dados relacionados aos filtros wavelet
3 public class Filtro {
4
5     private String nome;
6     private double[] coeficientes;
7
8     public Filtro(String nome, double[] coeficientes) {
9         this.nome = nome;
10        this.coeficientes = coeficientes;
11    }
12
13    public double[] getCoeficientes() {
14        return coeficientes;
15    }
16
17    public void setCoeficientes(double[] coeficientes) {
18        this.coeficientes = coeficientes;
19    }
```

```

20
21     public String getName() {
22         return nome;
23     }
24
25     public void setName(String nome) {
26         this.nome = nome;
27     }
28 }
```

```

1 // classe TransformadaWavelet
2 // executa a transformada Wavelet no vetor de dados submetido, utilizando o filtro
   especificado
3 public abstract class TransformadaWavelet {
4
5     public static void transformada_wavelet_nivel_k(Double[] f, int inicio, int n, int nivel,
6           char ordem, Filtro filtro) {
7
8         double[] sf = filtro.getCoeficientes();
9         int csf = sf.length;
10        Double[] wf = new Double[csf];
11        for (int i = 0; i < csf; i++) {
12            wf[i] = sf[csf - i - 1];
13            if (i % 2 != 0) {
14                wf[i] *= -1;
15            }
16        }
17        int cwf = csf;
18        int j = 0;
19        Double[] t = new Double[n];
20        if (ordem == 'n') // n de normal para wavelet
21        {
22            for (int i = 0; i < n; i += 2) // trend
23            {
24                t[j] = 0.0;
25                for (int k = 0; k < csf; k++) {
26                    t[j] += f[inicio + (i + k) % n] * sf[k];
27                }
28                j++;
29            }
30            for (int i = 0; i < n; i += 2) // fluctuation
31            {
32                t[j] = 0.0;
33                for (int k = 0; k < cwf; k++) {
34                    t[j] += f[inicio + (i + k) % n] * wf[k];
35                    // System.out.println(inicio+(i+k)%n);
36                    // try{System.in.read();} catch(Exception e){}
37                }
38                j++;
39            }
40        } else // i de invertido para wavelet packet
41        {
42            for (int i = 0; i < n; i += 2) // fluctuation
43            {
44                t[j] = 0.0;
```

```

45     for (int k = 0; k < cwf; k++) {
46         t[j] += f[inicio + (i + k) % n] * wf[k];
47     }
48     j++;
49 }
50 for (int i = 0; i < n; i += 2) // trend
51 {
52     t[j] = 0.0;
53     for (int k = 0; k < csf; k++) {
54         t[j] += f[inicio + (i + k) % n] * sf[k];
55     }
56     j++;
57 }
58 }
59 for (int i = 0; i < n; i++) {
60     f[inicio + i] = t[i];
61 }
62 nivel--;
63 n /= 2;
64
65 if (nivel > 0) {
66     transformada_wavelet_nivel_k(f, inicio, n, nivel, ordem, filtro);
67 }
68
69
70 // return f;
71 }
72
73 public static void transformada_wavelet_packet_nivel_k(Double[] wave, int nivel, Filtro
    filtro) {
74     int inicio = 0;
75     int comprimento = wave.length;
76     for (int i = 1; i <= nivel; i++) // por exemplo, para nivel 5, vou chamar 5 vezes a
        funcao de transformada, cada vez em n?el 1.
77     {
78         inicio = 0;
79         comprimento = (int) (wave.length / Math.pow(2, i - 1));
80         for (int j = 0; j < Math.pow(2, i - 1); j++) {
81             if (j % 2 == 0) {
82                 transformada_wavelet_nivel_k(wave, inicio, comprimento, 1, 'n', filtro);
83                 // n de ordem normal: primeiro passa-baixa e depois passa-alta
84             } else {
85                 transformada_wavelet_nivel_k(wave, inicio, comprimento, 1, 'i', filtro);
86                 // i de invertido: primeiro passa-alta e depois passa-baixa
87             }
88             inicio += comprimento;
89             // System.out.println("inicio: "+inicio);
90         }
91     }
92     // return wave.getDoubleData();
93 }

```

```

1 // classe Serialization
2 // serializa os dados processados em disco economizando tempo em futuras inclusões de

```



```

57         c = (Double []) oi.readObject();
58         oi.close();
59     } catch (FileNotFoundException e) {
60     } catch (Exception e) {
61         System.out.println("Erro ao restaurar: " + e.getMessage());
62         //e.printStackTrace();
63     }
64     return c;
65 }
66 }
```

```

1 // classe NeuralNetwork
2 // executa as classificacoes utilizando Support Vector Machines
3 public class NeuralNetwork implements Serializable {
4
5     private Double [] a;
6     private Double [][] b;
7     private Double [[[ w;
8     private Double [][] fis ;
9     private int number_of_input_neurons ;
10    private int number_of_hidden_neurons ;
11    private int number_of_output_neurons ;
12
13    public NeuralNetwork (int n_i_n , int n_h_n , int n_o_n ) {
14        number_of_input_neurons = n_i_n ;
15        number_of_hidden_neurons = n_h_n ;
16        number_of_output_neurons = n_o_n ;
17
18        a = new Double [number_of_hidden_neurons ];
19        b = new Double [number_of_hidden_neurons ][];
20        for (int i = 0; i < number_of_hidden_neurons ; i++) {
21            b [i] = new Double [number_of_input_neurons ];
22        }
23        w = new Double [number_of_output_neurons ][];
24        for (int i = 0; i < number_of_output_neurons ; i++) {
25            w [i] = new Double [number_of_hidden_neurons ];
26        }
27        for (int i = 0; i < number_of_output_neurons ; i++) {
28            for (int j = 0; j < number_of_hidden_neurons ; j++) {
29                w [i][j] = 0.0;
30            }
31        }
32        fis = new Double [number_of_hidden_neurons ][];
33        for (int i = 0; i < number_of_hidden_neurons ; i++) {
34            fis [i] = new Double [number_of_hidden_neurons ];
35        }
36    }
37
38    public void pass (Double [] input_signal , Double [] output_signal ) {
39        for (int i = 0; i < number_of_output_neurons ; i++) {
40            output_signal [i] = 0.0;
41            for (int j = 0; j < number_of_hidden_neurons ; j++) {
42                output_signal [i] += w [i][j] * svm (input_signal , b [j] ,
43                                            number_of_input_neurons , a [j] );
44            }
45        }
46    }
47 }
```

```

45     }
46
47     public void train(Double[] input_signal, Double[] desired_output_signal) {
48     //non-supervised training
49     // centers
50         int k = 0;
51         for (int i = 0; i < number_of_hidden_neurons; i++) {
52             for (int j = 0; j < number_of_input_neurons; j++) {
53                 b[i][j] = input_signal[j + k];
54             }
55             k += number_of_input_neurons;
56         }
57     // variances
58     double maior = 0;
59     for (int i = 0; i < number_of_hidden_neurons; i++) {
60         for (int j = i; j < number_of_hidden_neurons; j++) {
61             if (dist(b[i], b[j], number_of_input_neurons) > maior) {
62                 maior = dist(b[i], b[j], number_of_input_neurons);
63             }
64         }
65     }
66
67     for (int i = 0; i < number_of_hidden_neurons; i++) {
68         a[i] = maior;
69     }
70 // supervised training
71 // weights
72
73     Double[] outs = new Double[number_of_hidden_neurons];
74     double m;
75     int lcpivo;
76     int p;
77
78     for (int c = 0; c < number_of_output_neurons; c++) {
79         //System.out.println ("\nNEURON " + c);
80         p = 0;
81         for (int i = 0; i < number_of_hidden_neurons; i++) {
82             for (int j = 0; j < number_of_hidden_neurons; j++) {
83                 fis[i][j] = svm( Arrays.copyOfRange(input_signal, p, input_signal.length),
84                                   b[j], number_of_input_neurons, a[j]);
85             }
86             p += number_of_input_neurons;
87         }
88
89         p = 0;
90         for (int u = 0; u < number_of_hidden_neurons; u++) {
91             outs[u] = desired_output_signal[p + c];
92             p += number_of_output_neurons;
93         }
94
95         maior = fis[0][0];
96         for (int i = 0; i < number_of_hidden_neurons; i++) {
97             for (int j = 0; j < number_of_hidden_neurons; j++) {
98                 if (fis[i][j] > maior) {
99                     maior = fis[i][j];
100                }
101            for (int j = 0; j < number_of_hidden_neurons; j++) {
102                fis[i][j] /= maior;

```

```

103         }
104         outs[i] /= maior;
105     }
106
107     // escalonando o sistema
108     lcpivo = 0;
109     do {
110         for (int kk = lcpivo; kk < number_of_hidden_neurons - 1; kk++) {
111             m = (-fis[kk + 1][lcpivo] / fis[lcpivo][lcpivo]);
112             for (int j = lcpivo; j < number_of_hidden_neurons; j++) {
113                 fis[kk + 1][j] += fis[lcpivo][j] * m;
114             }
115             outs[kk + 1] += outs[lcpivo] * m;
116         }
117         lcpivo++;
118     } while (lcpivo < number_of_hidden_neurons - 1);
119
120     // solucao do sistema escalonado
121     System.arraycopy(outs, 0, w[c], 0, number_of_hidden_neurons);
122
123     // System.out.println("number_of_hidden_neurons: " + number_of_hidden_neurons);
124     w[c][number_of_hidden_neurons - 1] = outs[number_of_hidden_neurons - 1] /
125         fis[number_of_hidden_neurons - 1][number_of_hidden_neurons - 1];
126     for (int i = (number_of_hidden_neurons - 2); i >= 0; i--) {
127         for (int j = i; j < number_of_hidden_neurons - 1; j++) {
128             // System.out.println("w[" + c + "][" + i + "] = fis[" + i + "][" + (j +
129             // I) + "] * w[" + c + "][" + (j + I) + "]");
130             w[c][i] -= fis[i][j + 1] * w[c][j + 1];
131         }
132         w[c][i] /= fis[i][i];
133     }
134 }
135
136 public double svm(Double[] input_signal, Double[] mean, int number_of_input_neurons,
137                     double variance) // kernel gaussiano
138 {
139     if (variance == 0) {
140         return (Math.exp(-(Math.pow(dist(input_signal, mean, number_of_input_neurons), 2)
141                         / (2 * variance + 0.000000000001))));
142     }
143     return (Math.exp(-(Math.pow(dist(input_signal, mean, number_of_input_neurons), 2) /
144                         (2 * variance))));
145 }
146
147 public double dist(Double[] x, Double[] y, int length) {
148     double d = 0;
149     for (int i = 0; i < length; i++) {
150         d += Math.pow((x[i] - y[i]), 2);
151     }
152     return (Math.sqrt(d));
153 }

```



```

54     } else if (((int) wave.getRowData()[20]) == 0) {
55         wave.setCategoriaFormato("outro");
56     }
57
58     if (((int) wave.getRowData()[22]) == 1) {
59         wave.setNumCanais("Mono");
60
61     } else if (((int) wave.getRowData()[22]) == 2) {
62         wave.setNumCanais("Estereo");
63
64     }
65     wave.setTaxaAmostragem(Long.toString(char4ParaLong(vChar4((char)
66             wave.getRowData()[24], (char) wave.getRowData()[25], (char)
67             wave.getRowData()[26], (char) wave.getRowData()[27]))));
68     wave.setMediaBits((int) wave.getRowData()[28]);
69     wave.setAlinhamento((int) wave.getRowData()[32]);
70     wave.setResolucao((int) wave.getRowData()[34]);
71
72     while (achaData) {
73         //System.out.println("wave.getRowData()["+data+"]="+ (char) wave.getRowData()[data]);
74         if (wave.getRowData()[data] == 'd') {
75             achaData = false;
76         } else {
77             data++;
78         }
79     }
80     wave.setIndentificacao((char) wave.getRowData()[data] + " " + (char)
81             wave.getRowData[++data] + " " + (char) wave.getRowData[++data] + " " + (char)
82             wave.getRowData[++data]);
83 /* System.out.println("data:"+(data+1)+"=(wave.getRowData()[data+1])); */
84 System.out.println("data:"+(data+2)+"=(wave.getRowData()[data+2]));
85 System.out.println("data:"+(data+3)+"=(wave.getRowData()[data+3]));
86 System.out.println("data:"+(data+4)+"=(wave.getRowData()[data+4]));
87 System.out.println("40 a 43====");
88     wave.setTamanhoChunk((int) char4ParaLong(vChar4((char) wave.getRowData()[++data],
89             (char) wave.getRowData()[++data], (char) wave.getRowData()[++data], (char)
90             wave.getRowData()[++data]))/2);
91
92     /* System.out.println("CABEcALHO WAVE");
93     System.out.println("");
94     System.out.println("Aquivo tipo : " + wave.getTipoArquivo());
95     System.out.println("Tamanho : " + wave.getTamanho());
96     System.out.println("Formato : " + wave.getFormato());
97     System.out.println("Identificador : " + wave.getIdentificador());
98     System.out.println("Comprimento Chunk : " + wave.getComprimentoChunk());
99     System.out.println("Formato : " + wave.getCategoriaFormato());
100    System.out.println("Numero de Canais : " + wave.getNumCanais());
101    System.out.println("Taxa de Amostragem : " + wave.getTaxaAmostragem());
102    System.out.println("Media de bits/s : " + wave.getMediaBits());
103    System.out.println("Alinhamento de Bloco : " + wave.getAlinhamento());
104    System.out.println("Resolucao : " + wave.getResolucao()+" bits");
105    System.out.println("Identificacao : " + wave.getIdentificacao());
106    System.out.println("Comprimento Chunk : " + wave.getTamanhoChunk());
107    System.out.println */

```

```

107     wave.setDoubleData(new double[wave.getTamanhoChunk()]);
108
109     for (j = 0; j < wave.getTamanhoChunk(); j++) {
110         wave.getDoubleData()[j] = char2ParaLong(vChar2((char) wave.getRowData()[++data],
111             (char) wave.getRowData()[++data]));
112         // if (j>wave.getTamanhoChunk()*0.49 && j<wave.getTamanhoChunk()*0.50001)
113         // System.out.println("(" + j + ") " + (int) wave.getRowData()[data - 1] + " :
114             " + (int) wave.getRowData()[data] + " = " +
115             char2ParaLong(vChar2((char)wave.getRowData()[data - 1],
116             (char)wave.getRowData()[data])));
117     }
118     /*
119     int i = 0;
120     for (short c : wave.getRowData()) {
121         if (i < 100) {
122             System.out.println(" (" + i + ")" + (char) c + "|" + c);
123             i++;
124         }
125     }
126     // retorna um vetor com 4 char
127     public char[] vChar4(char a, char b, char c, char d) {
128         char retorno[] = {a, b, c, d};
129         return retorno;
130     }
131
132     // retorna um vetor de com 2 char
133     public char[] vChar2(char a, char b) {
134         char retorno[] = {a, b};
135         return retorno;
136     }
137
138     public long char4ParaLong(char[] bytes) {
139         char[] apoio = {(char) 0, (char) 0, (char) 0, (char) 0};
140         String binario = "";
141         String etapaBinario = "";
142         int comprimento = 0;
143         for (int i = 0; i < bytes.length; i++) {
144             apoio[i] = bytes[bytes.length - i - 1];
145             etapaBinario = Integer.toBinaryString(bytes[bytes.length - i - 1]);
146             comprimento = etapaBinario.length();
147             for (int j = 0; j < 8 - comprimento; j++) {
148                 etapaBinario = 0 + etapaBinario;
149             }
150             binario += etapaBinario;
151         }
152         Long retorno = Long.parseLong(binario, 2);
153         return (retorno);
154     }
155
156     public Long char2ParaLong(char[] bytes) {
157
158         char[] apoio = {(char) 0, (char) 0};
159         String binario = "";
160         String binarioInversa = "";
161         String etapaBinario = "";

```

```

162
163     int comprimento = 0;
164     Long retorno;
165
166     for (int i = 0; i < bytes.length; i++) {
167         apoio[i] = bytes[bytes.length - i - 1];
168         etapaBinario = Integer.toBinaryString(bytes[bytes.length - i - 1]);
169         comprimento = etapaBinario.length();
170
171         for (int j = 0; j < 8 - comprimento; j++) {
172             etapaBinario = 0 + etapaBinario;
173         }
174         binario += etapaBinario;
175     }
176     //se o primeiro numero for 1 troca todos os numeros e adiciona o sinal negativo
177     if (binario.charAt(0) == '1') {
178         for (int j = 0; j < binario.length() - 1; j++) {
179             if (binario.charAt(j) == '0') {
180                 binarioInversa += '1';
181
182             } else {
183                 binarioInversa += '0';
184             }
185         }
186         binarioInversa += binario.charAt(binario.length() - 1);
187         binarioInversa = '-' + binarioInversa;
188         //se o ultimo numero for 0 subtrai 2
189
190
191         if (binarioInversa.charAt(binarioInversa.length() - 1) == '0') {
192             retorno = (Long.parseLong(binarioInversa, 2) - 2);
193
194         } else {
195             retorno = Long.parseLong(binarioInversa, 2);
196         }
197     } else {
198         binarioInversa = binario;
199         retorno = Long.parseLong(binarioInversa, 2);
200     }
201     return (retorno);
202 }
203 }
```

Apêndice III - Publicações durante o mestrado.

Durante o curso de mestrado do autor, os seguintes artigos foram publicados:

- PUIA, V. M.; VIEIRA, L. S.; GUIDO, R. C.; BARBON, S.; ESCOLA, J. P. L.; FERREIRA, A. A.; VINHOTE, R. D. Reconhecimento de locutores usando Wavelets. In: CONGRESSO DE INICIAÇÃO CIENTÍFICA DA UFSCAR, 15., 2007, São Carlos. *Anais...* São Carlos: UFSCar, 2007.
- PUIA, V.M.; VIEIRA, L. S.; GUIDO, R. C.; BARBON, S.; ESCOLA, J. P. L. Construção de um sistema biométrico baseado em processamento de voz humana. In: SIMPÓSIO DE INICIAÇÃO CIENTÍFICA E TECNOLÓGICA, 9., 2007, São Paulo *Anais...* São Paulo: FAPESP, 2007.
- FANTINATO, P. C.; GUIDO, R. C.; CHEN, S. H.; SANTOS, B. L. S.; VIEIRA, L. S.; BARBON JUNIOR, S.; RODRIGUES, L. C.; SANCHEZ, F. L.; ESCOLA, J. P. L.; SOUZA, L. M.; MACIEL, C. D.; SCALASSARA, P. R.; PEREIRA, J. C. A fractal-based approach for speech segmentation. In: IEEE INTERNATIONAL SYMPOSIUM ON MULTIMEDIA (ISM2008), 10., 2008, Berkeley. *Proceedings...* Berkeley: IEEE, 2008. p. 551-555. v. 1.
- GUIDO, R. C.; BARBON JÚNIOR, S.; VIEIRA, L. S.; RODRIGUES, L. C.; FANTINATO, P. C.; ESCOLA, J. P. L.; SOUZA, L. M.; ALMEIDA, L. O. B.; SLAETS, J. F. W. Autenticação biométrica por comando de voz com implementação em hardware dedicado. In: WORKSHOP NO AMBITO DO PROJECTO -AMBIENTES PARA CO-PROJETO DE HARDWARE/SOFTWARE EM PLATAFORMAS FPGAS COM APLICAÇÃO EM ROBÓTICA MÓVEL, 2., 2008, São Carlos, *Anais...* São Carlos, 2008. CD-ROM.
- GUIDO, R.C.; BARBON JÚNIOR, S.; VIEIRA, L.S.; FANTINATO, P.; SANCHEZ, FL.; ESCOLA, J.P.; BOLOGNINI, E.; SOUZA, L.; ZULATO, P.; RIBEIRO, J., LACERDA, M. Speech compression based on the discrete Shapelet transform. In: CNMAC – CONGRESSO NACIONAL DE MATEMÁTICA APLICADA E COMPUTACIONAL. 31., 2008. Recife. *Anais...* Recife-PE: CNMAC, 2008. CD ROM.
- GUIDO, R.C.; CHEN, S.H.; BARBON, S.; SOUZA, L.M.; VIEIRA, L.S.; RODRIGUES, L.C.; ESCOLA, J.P.L.; ZULATO, P.; LACERDA, M.A.; RIBEIRO, J. On the determination of Epsilon during discriminative GMM training. In: IEEE INTERNATIONAL SYMPOSIUM ON MULTIMEDIA. 2010. Taichung. *Anais...* New Jersey: IEEE Press, 2010. p. 362-364.
- ESCOLA, J.P.L.; BARBON JÚNIOR, S.; GUIDO, R.C. Extração de características do ruído emitido pela caneta ao assinar. In: CONGRESSO DE MATEMÁTICA APLICADA E COMPUTACIONAL. 2011. Uberlândia. *Anais...* Uberlândia, 2011. CD ROM.

- COTES, L.V.; TAVARES, M.R.; SOLGON, R.; BARBON JÚNIOR, S.; ESCOLA, J.P.L. Transformada discreta wavelet aplicada a sinais de áudio. In: SIMPÓSIO DE INICIAÇÃO CIENTÍFICA E TECNOLÓGICA, 14., 2012, São Paulo. *Anais...* São Paulo: FATEC, 2012. CD ROM.
- ESCOLA, J.P.L.; BARBON JÚNIOR, S. Biometria baseada no ruído caligráfico, wavelets e support vector machine. In: SIMPÓSIO DE TECNOLOGIA DA INFORMAÇÃO. 2012. *Anais...* São José do Rio Preto, 2012. CD ROM.
- GUIDO, R.C.; BARBON JUNIOR, S.; SOLGON, R.; SILVA PAULO, K.C.; RODRIGUES, L.C.; DA SILVA, I.N.; ESCOLA, J.P. Introducing the discriminative paraconsistent machine (DPM). *Information Sciences*, v. 221, p. 389-402, 2013.